Ein und Ausgabe: Farbmetrisches Drucker-Reflektiv-System FRS12_95a für relativen CIELAB-Buntton $h^* = lab^*h^* = h_{ab}/360 = 0.451$ $u^*_e = g00b$

Daten für jede Farbe:
*lab*ch** und *lab*icu**
Benttonte:
$u^*_e = g00b$ $u^*_d = I23c$
Kontrastreduzierungsfaktor:
$c_R = 1.0$
Dreiecks-Helligkeit t^*

Daten für Maximalfarbe (Ma):
$LAB^*LAB^*_{Ma}$: 51 −49 16
$LAB^*LCH^*_{Ma}$: 51 52 162
$lab^*rgb^*_{Ma}$: 0.0 1.0 0.0
$lab^*olv^*_{Ma}$: 0.0 1.0 0.23
Dreiecks-Helligkeit t^*

FRS12_95a: adaptierte CIELAB-Daten

	L^*	$L^*=L^*_e$	a^*_e	b^*_e	$C^*_{ab,e}$	$h^*_{ab,e}$	u^*_e
O_{Ma}	38.06	60.0	44.0	74.4	36		
Y_{Ma}	86.77	−5.17	109.32	109.44	93		
L_{Ma}	47.13	−62.67	48.24	79.09	142		
C_{Ma}	55.66	−29.14	−31.99	43.27	228		
V_{Ma}	17.15	50.3	−59.04	77.57	310		
M_{Ma}	40.37	78.64	−33.5	85.48	337		
N_{Ma}	11.58	0.0	0.0	0.0	0		
W_{Ma}	95.02	0.0	0.0	0.0	0		
R_{Ma}	39.92	58.74	27.99	65.07	25		
J_{Ma}	81.26	−2.89	71.56	71.62	92		
G_{Ma}	52.23	−42.42	13.6	44.55	162		
B_{Ma}	30.57	1.41	−46.47	46.49	272		
r00j	38.47	63.32	30.17	70.15	25		m81o
r25j	42.12	54.56	49.45	73.64	42		o10y
r50j	53.64	39.15	64.89	75.79	59		o40y
r75j	67.01	21.26	82.83	85.52	76		o69y
j00g	86.18	−4.38	108.53	108.62	92		o98y
j25g	69.73	−29.89	83.06	88.28	110		y34l
j50g	57.03	−48.31	63.49	79.78	127		y69l
j75g	47.73	−60.33	42.64	73.88	145		l03c
g00b	50.59	−49.08	15.74	51.54	162		l23c
g25b	52.97	−39.7	−6.72	40.27	190		l55c
g50b	54.85	−32.33	−24.35	40.48	217		l87c
g75b	49.92	−17.29	−36.02	39.96	244		c20v
b00r	40.91	1.28	−42.35	42.37	272		c53v
b25r	26.81	30.38	−52.26	60.45	300		c87v
b50r	32.52	69.06	−42.14	80.9	329		v68m
b75r	39.48	71.47	−3.69	71.57	357		m34o

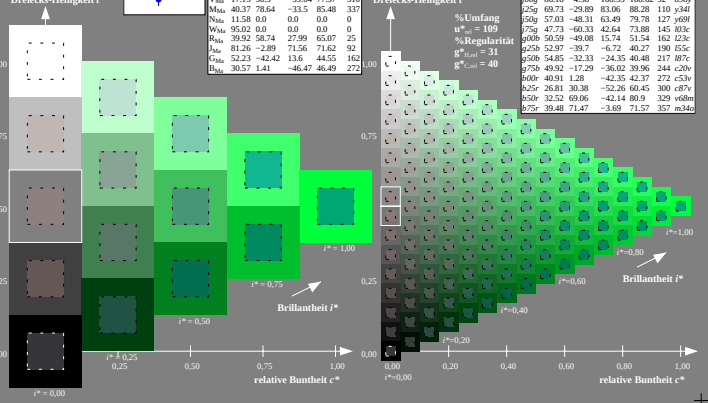

Ein und Ausgabe: Farbmetrisches Drucker-Reflektiv-System FRS12_95a für relativen CIELAB-Buntton $h^* = lab^*h^* = h_{ab}/360 = 0.527$ $u^*_e = g25b$

Daten für jede Farbe:
*lab*ch** und *lab*icu**
Benttonte:
$u^*_e = g25b$ $u^*_d = I55c$
Kontrastreduzierungsfaktor:
$c_R = 1.0$
Dreiecks-Helligkeit t^*

Daten für Maximalfarbe (Ma):
$LAB^*LAB^*_{Ma}$: 53 −40 −7
$LAB^*LCH^*_{Ma}$: 53 40 189
$lab^*rgb^*_{Ma}$: 0.0 1.0 5
$lab^*olv^*_{Ma}$: 0.0 1.0 0.55
Dreiecks-Helligkeit t^*

FRS12_95a: adaptierte CIELAB-Daten

	L^*	$L^*=L^*_e$	a^*_e	b^*_e	$C^*_{ab,e}$	$h^*_{ab,e}$	u^*_e
O_{Ma}	38.06	60.0	44.0	74.4	36		
Y_{Ma}	86.77	−5.17	109.32	109.44	93		
L_{Ma}	47.13	−62.67	48.24	79.09	142		
C_{Ma}	55.66	−29.14	−31.99	43.27	228		
V_{Ma}	17.15	50.3	−59.04	77.57	310		
M_{Ma}	40.37	78.64	−33.5	85.48	337		
N_{Ma}	11.58	0.0	0.0	0.0	0		
W_{Ma}	95.02	0.0	0.0	0.0	0		
R_{Ma}	39.92	58.74	27.99	65.07	25		
J_{Ma}	81.26	−2.89	71.56	71.62	92		
G_{Ma}	52.23	−42.42	13.6	44.55	162		
B_{Ma}	30.57	1.41	−46.47	46.49	272		
r00j	38.47	63.32	30.17	70.15	25		m81o
r25j	42.12	54.56	49.45	73.64	42		o10y
r50j	53.64	39.15	64.89	75.79	59		o40y
r75j	67.01	21.26	82.83	85.52	76		o69y
j00g	86.18	−4.38	108.53	108.62	92		o98y
j25g	69.73	−29.89	83.06	88.28	110		y34l
j50g	57.03	−48.31	63.49	79.78	127		y69l
j75g	47.73	−60.33	42.64	73.88	145		l03c
g00b	50.59	−49.08	15.74	51.54	162		l23c
g25b	52.97	−39.7	−6.72	40.27	190		l55c
g50b	54.85	−32.33	−24.35	40.48	217		l87c
g75b	49.92	−17.29	−36.02	39.96	244		c20v
b00r	40.91	1.28	−42.35	42.37	272		c53v
b25r	26.81	30.38	−52.26	60.45	300		c87v
b50r	32.52	69.06	−42.14	80.9	329		v68m
b75r	39.48	71.47	−3.69	71.57	357		m34o

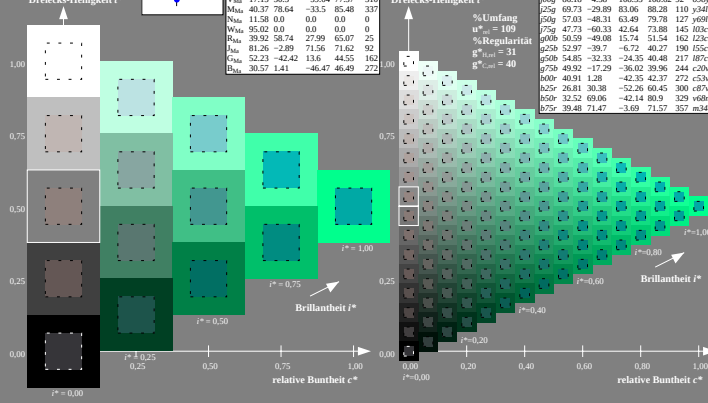

Ein und Ausgabe: Farbmetrisches Drucker-Reflektiv-System FRS12_95a für relativen CIELAB-Buntton $h^* = lab^*h^* = h_{ab}/360 = 0.603$

Daten für jede Farbe:
*lab*ch** und *lab*icu**
Benttonte:
$u^*_e = g50b$ $u^*_d = I87c$
Kontrastreduzierungsfaktor:
$c_R = 1.0$
Dreiecks-Helligkeit t^*

Daten für Maximalfarbe (Ma):
$LAB^*LAB^*_{Ma}$: 55 −32 −24
$LAB^*LCH^*_{Ma}$: 55 40 216
$lab^*rgb^*_{Ma}$: 0.0 1.0 1.0
$lab^*olv^*_{Ma}$: 0.0 1.0 0.87
Dreiecks-Helligkeit t^*

FRS12_95a: adaptierte CIEL

	L^*	$L^*=L^*_e$	a^*_e	b^*_e
O_{Ma}	38.06	60.0	44.0	74.4
Y_{Ma}	86.77	−5.17	109.32	109.44
L_{Ma}	47.13	−62.67	48.24	79.09
C_{Ma}	55.66	−29.14	−31.99	43.27
V_{Ma}	17.15	50.3	−59.04	77.57
M_{Ma}	40.37	78.64	−33.5	85.48
N_{Ma}	11.58	0.0	0.0	0.0
W_{Ma}	95.02	0.0	0.0	0.0
R_{Ma}	39.92	58.74	27.99	65.07
J_{Ma}	81.26	−2.89	71.56	71.62
G_{Ma}	52.23	−42.42	13.6	44.55
B_{Ma}	30.57	1.41	−46.47	46.49
r00j	38.47	63.32	30.17	70.15
r25j	42.12	54.56	49.45	73.64
r50j	53.64	39.15	64.89	
r75j	67.01	21.26	82.83	
j00g	86.18	−4.38	108.53	
j25g	69.73	−29.89	83.06	
j50g	57.03	−48.31	63.49	
j75g	47.73	−60.33	42.64	
g00b	50.59	−49.08	15.74	
g25b	52.97	−39.7	−6.72	
g50b	54.85	−32.33	−24.35	
g75b	49.92	−17.29	−36.02	
b00r	40.91	1.28	−42.35	
b25r	26.81	30.38	−52.26	
b50r	32.52	69.06	−42.14	
b75r	39.48	71.47	−3.69	

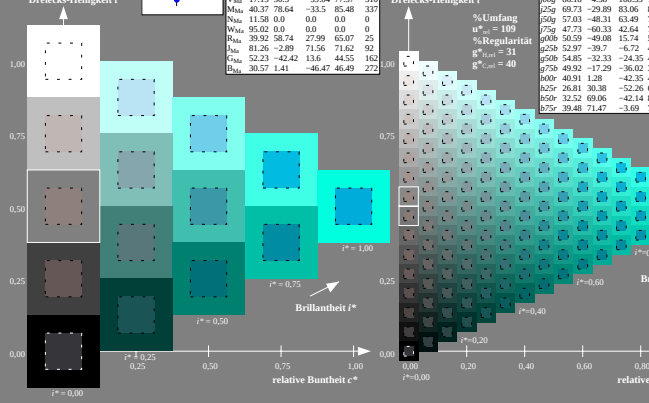

Ein und Ausgabe: Farbmetrisches Drucker-Reflektiv-System FRS12_95a für relativen CIELAB-Buntton $h^* = lab^*h^* = h_{ab}/360 = 0.679$ $u^*_e = g75b$

Daten für jede Farbe:
*lab*ch** und *lab*icu**
Benttonte:
$u^*_e = g75b$ $u^*_d = c20v$
Kontrastreduzierungsfaktor:
$c_R = 1.0$
Dreiecks-Helligkeit t^*

Daten für Maximalfarbe (Ma):
$LAB^*LAB^*_{Ma}$: 50 −17 −36
$LAB^*LCH^*_{Ma}$: 50 40 244
$lab^*rgb^*_{Ma}$: 0.0 0.5 1.0
$lab^*olv^*_{Ma}$: 0.0 0.8 1.0
Dreiecks-Helligkeit t^*

FRS12_95a: adaptierte CIELAB-Daten

	L^*	$L^*=L^*_e$	a^*_e	b^*_e	$C^*_{ab,e}$	$h^*_{ab,e}$	u^*_e
O_{Ma}	38.06	60.0	44.0	74.4	36		
Y_{Ma}	86.77	−5.17	109.32	109.44	93		
L_{Ma}	47.13	−62.67	48.24	79.09	142		
C_{Ma}	55.66	−29.14	−31.99	43.27	228		
V_{Ma}	17.15	50.3	−59.04	77.57	310		
M_{Ma}	40.37	78.64	−33.5	85.48	337		
N_{Ma}	11.58	0.0	0.0	0.0	0		
W_{Ma}	95.02	0.0	0.0	0.0	0		
R_{Ma}	39.92	58.74	27.99	65.07	25		
J_{Ma}	81.26	−2.89	71.56	71.62	92		
G_{Ma}	52.23	−42.42	13.6	44.55	162		
B_{Ma}	30.57	1.41	−46.47	46.49	272		
r00j	38.47	63.32	30.17	70.15	25		m81o
r25j	42.12	54.56	49.45	73.64	42		o10y
r50j	53.64	39.15	64.89	75.79	59		o40y
r75j	67.01	21.26	82.83	85.52	76		o69y
j00g	86.18	−4.38	108.53	108.62	92		o98y
j25g	69.73	−29.89	83.06	88.28	110		y34l
j50g	57.03	−48.31	63.49	79.78	127		y69l
j75g	47.73	−60.33	42.64	73.88	145		l03c
g00b	50.59	−49.08	15.74	51.54	162		l23c
g25b	52.97	−39.7	−6.72	40.27	190		l55c
g50b	54.85	−32.33	−24.35	40.48	217		l87c
g75b	49.92	−17.29	−36.02	39.96	244		c20v
b00r	40.91	1.28	−42.35	42.37	272		c53v
b25r	26.81	30.38	−52.26	60.45	300		c87v
b50r	32.52	69.06	−42.14	80.9	329		v68m
b75r	39.48	71.47	−3.69	71.57	357		m34o

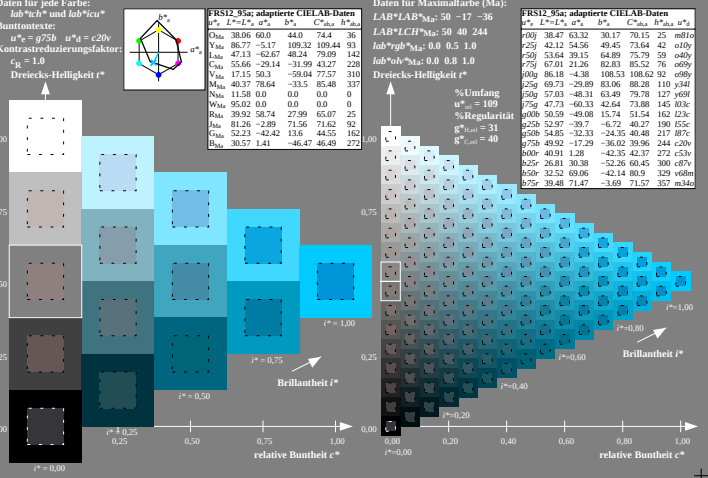

Ein und Ausgabe: Farbmetrisches Drucker-Reflektiv-System FRS12_95a für relativen CIELAB-Buntton $h^* = lab^*h^* = h_{ab}/360 = 0.755$ $u^*_e = b00r$

Daten für jede Farbe:
*lab*ch** und *lab*icu**
Benttonte:
$u^*_e = b00r$ $u^*_d = c53v$
Kontrastreduzierungsfaktor:
$c_R = 1.0$
Dreiecks-Helligkeit t^*

Daten für Maximalfarbe (Ma):
$LAB^*LAB^*_{Ma}$: 41 1 −42
$LAB^*LCH^*_{Ma}$: 41 42 271
$lab^*rgb^*_{Ma}$: 0.0 0.0 1.0
$lab^*olv^*_{Ma}$: 0.0 0.47 1.0
Dreiecks-Helligkeit t^*

FRS12_95a: adaptierte CIELAB-Daten

	L^*	$L^*=L^*_e$	a^*_e	b^*_e	$C^*_{ab,e}$	$h^*_{ab,e}$	u^*_e
O_{Ma}	38.06	60.0	44.0	74.4	36		
Y_{Ma}	86.77	−5.17	109.32	109.44	93		
L_{Ma}	47.13	−62.67	48.24	79.09	142		
C_{Ma}	55.66	−29.14	−31.99	43.27	228		
V_{Ma}	17.15	50.3	−59.04	77.57	310		
M_{Ma}	40.37	78.64	−33.5	85.48	337		
N_{Ma}	11.58	0.0	0.0	0.0	0		
W_{Ma}	95.02	0.0	0.0	0.0	0		
R_{Ma}	39.92	58.74	27.99	65.07	25		
J_{Ma}	81.26	−2.89	71.56	71.62	92		
G_{Ma}	52.23	−42.42	13.6	44.55	162		
B_{Ma}	30.57	1.41	−46.47	46.49	272		
r00j	38.47	63.32	30.17	70.15	25		m81o
r25j	42.12	54.56	49.45	73.64	42		o10y
r50j	53.64	39.15	64.89	75.79	59		o40y
r75j	67.01	21.26	82.83	85.52	76		o69y
j00g	86.18	−4.38	108.53	108.62	92		o98y
j25g	69.73	−29.89	83.06	88.28	110		y34l
j50g	57.03	−48.31	63.49	79.78	127		y69l
j75g	47.73	−60.33	42.64	73.88	145		l03c
g00b	50.59	−49.08	15.74	51.54	162		l23c
g25b	52.97	−39.7	−6.72	40.27	190		l55c
g50b	54.85	−32.33	−24.35	40.48	217		l87c
g75b	49.92	−17.29	−36.02	39.96	244		c20v
b00r	40.91	1.28	−42.35	42.37	272		c53v
b25r	26.81	30.38	−52.26	60.45	300		c87v
b50r	32.52	69.06	−42.14	80.9	329		v68m
b75r	39.48	71.47	−3.69	71.57	357		m34o

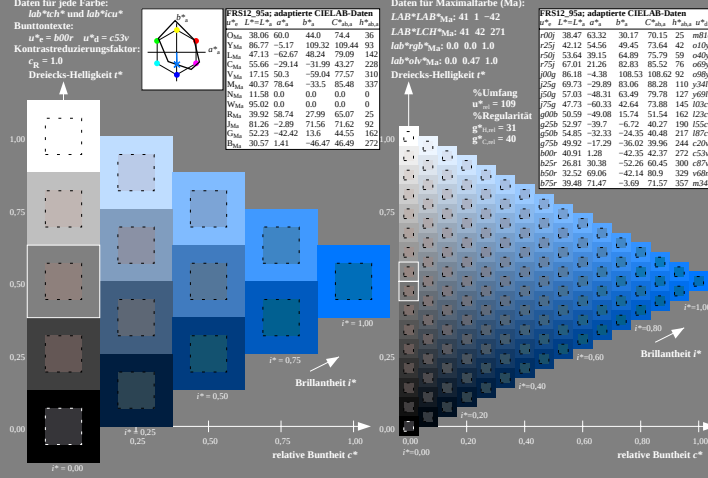

Ein und Ausgabe: Farbmetrisches Drucker-Reflektiv-System FRS12_95a für relativen CIELAB-Buntton $h^* = lab^*h^* = h_{ab}/360 = 0.834$

Daten für jede Farbe:
*lab*ch** und *lab*icu**
Benttonte:
$u^*_e = b25r$ $u^*_d = c87v$
Kontrastreduzierungsfaktor:
$c_R = 1.0$
Dreiecks-Helligkeit t^*

Daten für Maximalfarbe (Ma):
$LAB^*LAB^*_{Ma}$: 27 30 −52
$LAB^*LCH^*_{Ma}$: 27 60 300
$lab^*rgb^*_{Ma}$: 0.5 0.0 1.0
$lab^*olv^*_{Ma}$: 0.0 0.12 1.0
Dreiecks-Helligkeit t^*

FRS12_95a: adaptierte CIEL

	L^*	$L^*=L^*_e$	a^*_e	b^*_e
O_{Ma}	38.06	60.0	44.0	74.4
Y_{Ma}	86.77	−5.17	109.32	109.44
L_{Ma}	47.13	−62.67	48.24	79.09
C_{Ma}	55.66	−29.14	−31.99	43.27
V_{Ma}	17.15	50.3	−59.04	77.57
M_{Ma}	40.37	78.64	−33.5	85.48
N_{Ma}	11.58	0.0	0.0	0.0
W_{Ma}	95.02	0.0	0.0	0.0
R_{Ma}	39.92	58.74	27.99	65.07
J_{Ma}	81.26	−2.89	71.56	71.62
G_{Ma}	52.23	−42.42	13.6	44.55
B_{Ma}	30.57	1.41	−46.47	46.49
r00j	38.47	63.32	30.17	
r25j	42.12	54.56	49.45	
r50j	53.64	39.15	64.89	
r75j	67.01	21.26	82.83	
j00g	86.18	−4.38	108.53	
j25g	69.73	−29.89	83.06	
j50g	57.03	−48.31	63.49	
j75g	47.73	−60.33	42.64	
g00b	50.59	−49.08	15.74	
g25b	52.97	−39.7	−6.72	
g50b	54.85	−32.33	−24.35	
g75b	49.92	−17.29	−36.02	
b00r	40.91	1.28	−42.35	
b25r	26.81	30.38	−52.26	
b50r	32.52	69.06	−42.14	
b75r	39.48	71.47	−3.69	

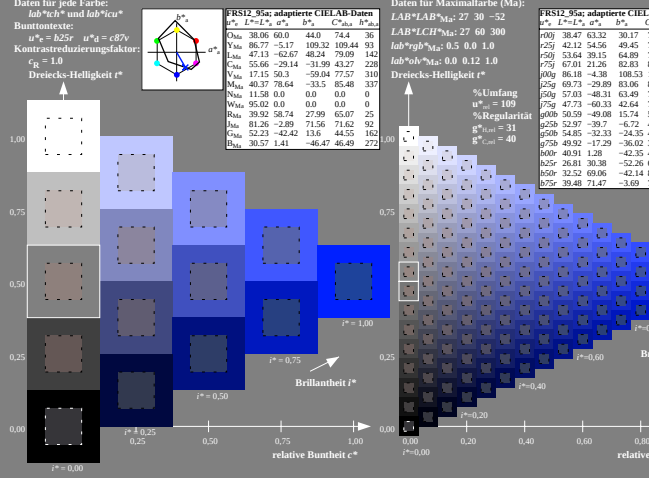

Ein und Ausgabe: Farbmetrisches Drucker-Reflektiv-System FRS12_95a für relativen CIELAB-Buntton $h^* = lab^*h^* = h_{ab}/360 = 0.913$ $u^*_e = b50r$

Daten für jede Farbe:
*lab*ch** und *lab*icu**
Benttonte:
$u^*_e = b50r$ $u^*_d = v68m$
Kontrastreduzierungsfaktor:
$c_R = 1.0$
Dreiecks-Helligkeit t^*

Daten für Maximalfarbe (Ma):
$LAB^*LAB^*_{Ma}$: 33 69 −42
$LAB^*LCH^*_{Ma}$: 33 81 328
$lab^*rgb^*_{Ma}$: 1.0 0.0 1.0
$lab^*olv^*_{Ma}$: 0.69 0.0 1.0
Dreiecks-Helligkeit t^*

FRS12_95a: adaptierte CIELAB-Daten

	L^*	$L^*=L^*_e$	a^*_e	b^*_e	$C^*_{ab,e}$	$h^*_{ab,e}$	u^*_e
O_{Ma}	38.06	60.0	44.0	74.4	36		
Y_{Ma}	86.77	−5.17	109.32	109.44	93		
L_{Ma}	47.13	−62.67	48.24	79.09	142		
C_{Ma}	55.66	−29.14	−31.99	43.27	228		
V_{Ma}	17.15	50.3	−59.04	77.57	310		
M_{Ma}	40.37	78.64	−33.5	85.48	337		
N_{Ma}	11.58	0.0	0.0	0.0	0		
W_{Ma}	95.02	0.0	0.0	0.0	0		
R_{Ma}	39.92	58.74	27.99	65.07	25		
J_{Ma}	81.26	−2.89	71.56	71.62	92		
G_{Ma}	52.23	−42.42	13.6	44.55	162		
B_{Ma}	30.57	1.41	−46.47	46.49	272		
r00j	38.47	63.32	30.17	70.15	25		m81o
r25j	42.12	54.56	49.45	73.64	42		o10y
r50j	53.64	39.15	64.89	75.79	59		o40y
r75j	67.01	21.26	82.83	85.52	76		o69y
j00g	86.18	−4.38	108.53	108.62	92		o98y
j25g	69.73	−29.89	83.06	88.28	110		y34l
j50g	57.03	−48.31	63.49	79.78	127		y69l
j75g	47.73	−60.33	42.64	73.88	145		l03c
g00b	50.59	−49.08	15.74	51.54	162		l23c
g25b	52.97	−39.7	−6.72	40.27	190		l55c
g50b	54.85	−32.33	−24.35	40.48	217		l87c
g75b	49.92	−17.29	−36.02	39.96	244		c20v
b00r	40.91	1.28	−42.35	42.37	272		c53v
b25r	26.81	30.38	−52.26	60.45	300		c87v
b50r	32.52	69.06	−42.14	80.9	329		v68m
b75r	39.48	71.47	−3.69	71.57	357		m34o

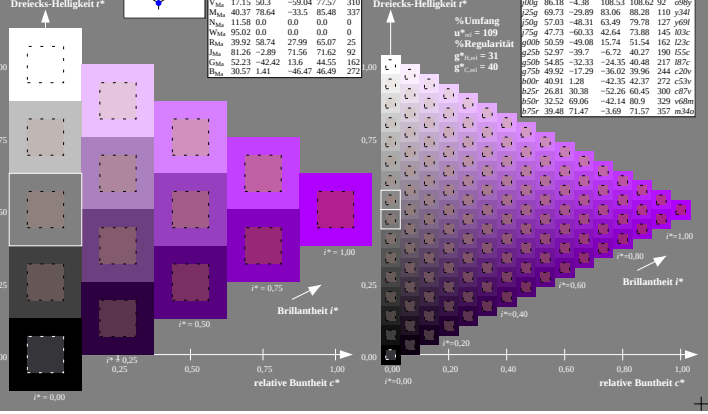

Ein und Ausgabe: Farbmetrisches Drucker-Reflektiv-System FRS12_95a für relativen CIELAB-Buntton $h^* = lab^*h^* = h_{ab}/360 = 0.992$ $u^*_e = b75r$

Daten für jede Farbe:
*lab*ch** und *lab*icu**
Benttonte:
$u^*_e = b75r$ $u^*_d = m34o$
Kontrastreduzierungsfaktor:
$c_R = 1.0$
Dreiecks-Helligkeit t^*

Daten für Maximalfarbe (Ma):
$LAB^*LAB^*_{Ma}$: 39 71 −4
$LAB^*LCH^*_{Ma}$: 39 72 357
$lab^*rgb^*_{Ma}$: 1.0 0.0 0.5
$lab^*olv^*_{Ma}$: 1.0 0.0 0.66
Dreiecks-Helligkeit t^*

FRS12_95a: adaptierte CIELAB-Daten

	L^*	$L^*=L^*_e$	a^*_e	b^*_e	$C^*_{ab,e}$	$h^*_{ab,e}$	u^*_e
O_{Ma}	38.06	60.0	44.0	74.4	36		
Y_{Ma}	86.77	−5.17	109.32	109.44	93		
L_{Ma}	47.13	−62.67	48.24	79.09	142		
C_{Ma}	55.66	−29.14	−31.99	43.27	228		
V_{Ma}	17.15	50.3	−59.04	77.57	310		
M_{Ma}	40.37	78.64	−33.5	85.48	337		
N_{Ma}	11.58	0.0	0.0	0.0	0		
W_{Ma}	95.02	0.0	0.0	0.0	0		
R_{Ma}	39.92	58.74	27.99	65.07	25		
J_{Ma}	81.26	−2.89	71.56	71.62	92		
G_{Ma}	52.23	−42.42	13.6	44.55	162		
B_{Ma}	30.57	1.41	−46.47	46.49	272		
r00j	38.47	63.32	30.17	70.15	25		m81o
r25j	42.12	54.56	49.45	73.64	42		o10y
r50j	53.64	39.15	64.89	75.79	59		o40y
r75j	67.01	21.26	82.83	85.52	76		o69y
j00g	86.18	−4.38	108.53	108.62	92		o98y
j25g	69.73	−29.89	83.06	88.28	110		y34l
j50g	57.03	−48.31	63.49	79.78	127		y69l
j75g	47.73	−60.33	42.64	73.88	145		l03c
g00b	50.59	−49.08	15.74	51.54	162		l23c
g25b	52.97	−39.7	−6.72	40.27	190		l55c
g50b	54.85	−32.33	−24.35	40.48	217		l87c
g75b	49.92	−17.29	−36.02	39.96	244		c20v
b00r	40.91	1.28	−42.35	42.37	272		c53v
b25r	26.81	30.38	−52.26	60.45	300		c87v
b50r	32.52	69.06	−42.14	80.9	329		v68m
b75r	39.48	71.47	−3.69	71.57	357		m34o

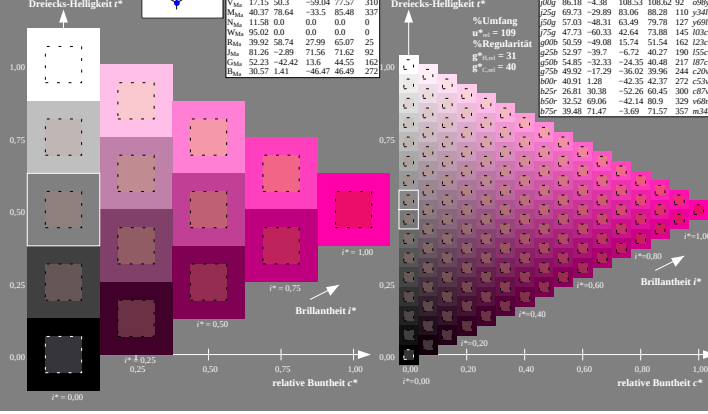

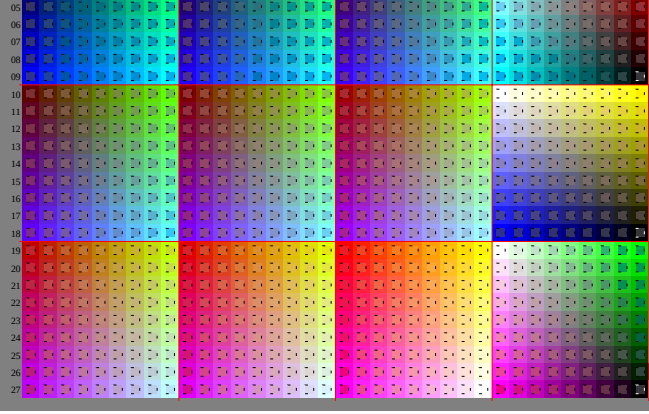

Ein und Ausgabe: Farbmetrisches Drucker-Reflektiv-System FRS12_95a für relativen CIELAB-Buntton $h^* = lab^*h^* = h_{ab}/360 = 0.451$ $u^*_e = g00b$

Daten für jede Farbe:
*lab*tch** und *lab*icu**
Buntton texte:
$u^*_e = g00b$ $u^*_d = I23c$
Kontrastreduzierungsfaktor:
$c_R = 1.0$
Dreiecks-Helligkeit i^*

Daten für Maximalfarbe (Ma):
$LAB^*LAB^*_{Ma}$: 51 −49 16
$LAB^*LCH^*_{Ma}$: 51 52 162
$lab^*rgb^*_{Ma}$: 0.0 1.0 0.0
$lab^*olv^*_{Ma}$: 0.0 1.0 0.23
Dreiecks-Helligkeit i^*

%Umfang $u^*_{uni} = 109$
%Regularität $g^*_{H,uni} = 31$
$g^*_{C,uni} = 40$

FRS12_95a: adaptierte CIELAB-Daten

	$L^*=L^*_a$	a^*_a	b^*_a	$C^*_{ab,a}$	$h^*_{ab,a}$	
O_{Ma}	38.06	60.0	44.0	74.4	36	
Y_{Ma}	86.77	−5.17	109.32	109.44	93	
L_{Ma}	47.13	−62.67	48.24	79.09	142	
C_{Ma}	55.66	−29.14	−31.99	43.27	228	
V_{Ma}	17.15	50.3	−59.04	77.57	310	
M_{Ma}	40.37	78.64	−33.5	85.48	337	
N_{Ma}	11.58	0.0	0.0	0.0	0	
W_{Ma}	95.02	0.0	0.0	0.0	0	
R_{Ma}	39.92	58.74	27.99	65.07	25	
J_{Ma}	81.26	−2.89	71.56	71.62	92	
G_{Ma}	52.23	−42.42	13.6	44.55	162	
B_{Ma}	30.57	1.41	−46.47	46.49	272	

	$L^*=L^*_a$	a^*_a	b^*_a	$C^*_{ab,a}$	$h^*_{ab,a}$	u^*_d
r00j	38.47	63.32	30.17	70.15	25	m81o
r25j	42.12	54.56	49.45	73.64	42	o10y
r50j	53.64	39.15	64.89	75.79	59	o40y
r75j	67.01	21.26	82.83	85.52	76	o69y
j00g	86.18	−4.38	108.53	108.62	92	o98y
j25g	69.73	−29.89	83.06	88.28	110	y34l
j50g	57.03	−48.31	63.49	79.78	127	y69l
j75g	47.73	−60.33	42.64	73.88	145	l03c
g00b	50.59	−49.08	15.74	51.54	162	l23c
g25b	52.97	−39.7	−6.72	40.27	190	l55c
g50b	54.85	−32.33	−24.35	40.48	217	l87c
g75b	49.92	−17.29	−36.02	39.96	244	c20v
b00r	40.91	1.28	−42.35	42.37	272	c53v
b25r	26.81	30.38	−52.26	60.45	300	c87v
b50r	32.52	69.06	−42.14	80.9	329	v68m
b75r	39.48	71.47	−3.69	71.57	357	m34o

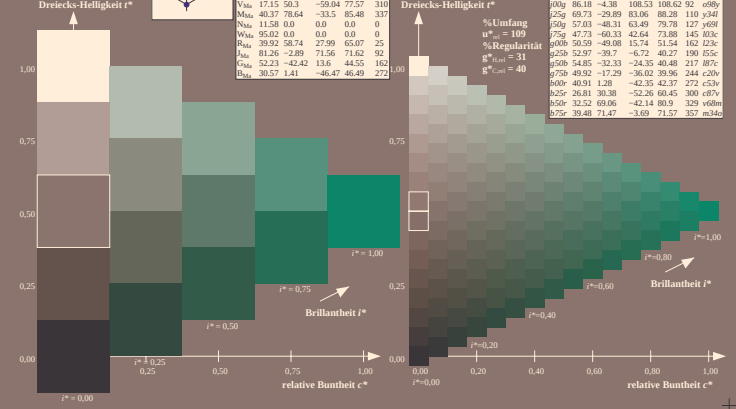

Ein und Ausgabe: Farbmetrisches Drucker-Reflektiv-System FRS12_95a für relativen CIELAB-Buntton $h^* = lab^*h^* = h_{ab}/360 = 0.527$ $u^*_e = g25b$

Daten für jede Farbe:
*lab*tch** und *lab*icu**
Buntton texte:
$u^*_e = g25b$ $u^*_d = I55c$
Kontrastreduzierungsfaktor:
$c_R = 1.0$
Dreiecks-Helligkeit i^*

Daten für Maximalfarbe (Ma):
$LAB^*LAB^*_{Ma}$: 53 −40 −7
$LAB^*LCH^*_{Ma}$: 53 40 189
$lab^*rgb^*_{Ma}$: 0.0 1.0 0.5
$lab^*olv^*_{Ma}$: 0.0 1.0 0.55
Dreiecks-Helligkeit i^*

%Umfang $u^*_{uni} = 109$
%Regularität $g^*_{H,uni} = 31$
$g^*_{C,uni} = 40$

FRS12_95a: adaptierte CIELAB-Daten

	$L^*=L^*_a$	a^*_a	b^*_a	$C^*_{ab,a}$	$h^*_{ab,a}$	
O_{Ma}	38.06	60.0	44.0	74.4	36	
Y_{Ma}	86.77	−5.17	109.32	109.44	93	
L_{Ma}	47.13	−62.67	48.24	79.09	142	
C_{Ma}	55.66	−29.14	−31.99	43.27	228	
V_{Ma}	17.15	50.3	−59.04	77.57	310	
M_{Ma}	40.37	78.64	−33.5	85.48	337	
N_{Ma}	11.58	0.0	0.0	0.0	0	
W_{Ma}	95.02	0.0	0.0	0.0	0	
R_{Ma}	39.92	58.74	27.99	65.07	25	
J_{Ma}	81.26	−2.89	71.56	71.62	92	
G_{Ma}	52.23	−42.42	13.6	44.55	162	
B_{Ma}	30.57	1.41	−46.47	46.49	272	

	$L^*=L^*_a$	a^*_a	b^*_a	$C^*_{ab,a}$	$h^*_{ab,a}$	u^*_d
r00j	38.47	63.32	30.17	70.15	25	m81o
r25j	42.12	54.56	49.45	73.64	42	o10y
r50j	53.64	39.15	64.89	75.79	59	o40y
r75j	67.01	21.26	82.83	85.52	76	o69y
j00g	86.18	−4.38	108.53	108.62	92	o98y
j25g	69.73	−29.89	83.06	88.28	110	y34l
j50g	57.03	−48.31	63.49	79.78	127	y69l
j75g	47.73	−60.33	42.64	73.88	145	l03c
g00b	50.59	−49.08	15.74	51.54	162	l23c
g25b	52.97	−39.7	−6.72	40.27	190	l55c
g50b	54.85	−32.33	−24.35	40.48	217	l87c
g75b	49.92	−17.29	−36.02	39.96	244	c20v
b00r	40.91	1.28	−42.35	42.37	272	c53v
b25r	26.81	30.38	−52.26	60.45	300	c87v
b50r	32.52	69.06	−42.14	80.9	329	v68m
b75r	39.48	71.47	−3.69	71.57	357	m34o

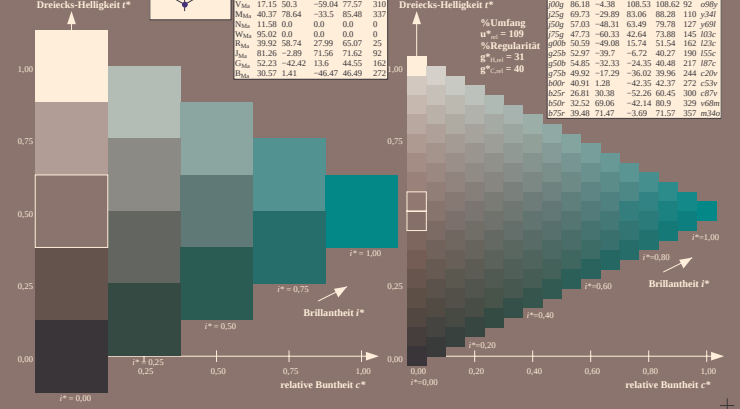

Ein und Ausgabe: Farbmetrisches Drucker-Reflektiv-System FRS12_95a für relativen CIELAB-Buntton $h^* = lab^*h^* = h_{ab}/360 = 0.603$

Daten für jede Farbe:
*lab*tch** und *lab*icu**
Buntton texte:
$u^*_e = g50b$ $u^*_d = I87c$
Kontrastreduzierungsfaktor:
$c_R = 1.0$
Dreiecks-Helligkeit i^*

Daten für Maximalfarbe (Ma):
$LAB^*LAB^*_{Ma}$: 55 −32 −24
$LAB^*LCH^*_{Ma}$: 55 40 216
$lab^*rgb^*_{Ma}$: 0.0 1.0 1.0
$lab^*olv^*_{Ma}$: 0.0 1.0 0.87
Dreiecks-Helligkeit i^*

%Umfang $u^*_{uni} = 109$
%Regularität $g^*_{H,uni} = 31$
$g^*_{C,uni} = 40$

FRS12_95a: adaptierte CIELAB-Daten

	$L^*=L^*_a$	a^*_a	b^*_a	$C^*_{ab,a}$	$h^*_{ab,a}$	
O_{Ma}	38.06	60.0	44.0	74.4	36	
Y_{Ma}	86.77	−5.17	109.32	109.44	93	
L_{Ma}	47.13	−62.67	48.24	79.09	142	
C_{Ma}	55.66	−29.14	−31.99	43.27	228	
V_{Ma}	17.15	50.3	−59.04	77.57	310	
M_{Ma}	40.37	78.64	−33.5	85.48	337	
N_{Ma}	11.58	0.0	0.0	0.0	0	
W_{Ma}	95.02	0.0	0.0	0.0	0	
R_{Ma}	39.92	58.74	27.99	65.07	25	
J_{Ma}	81.26	−2.89	71.56	71.62	92	
G_{Ma}	52.23	−42.42	13.6	44.55	162	
B_{Ma}	30.57	1.41	−46.47	46.49	272	

	$L^*=L^*_a$	a^*_a	b^*_a	$C^*_{ab,a}$	$h^*_{ab,a}$	u^*_d
r00j	38.47	63.32	30.17	70.15	25	m81o
r25j	42.12	54.56	49.45	73.64	42	o10y
r50j	53.64	39.15	64.89	75.79	59	o40y
r75j	67.01	21.26	82.83	85.52	76	o69y
j00g	86.18	−4.38	108.53	108.62	92	o98y
j25g	69.73	−29.89	83.06	88.28	110	y34l
j50g	57.03	−48.31	63.49	79.78	127	y69l
j75g	47.73	−60.33	42.64	73.88	145	l03c
g00b	50.59	−49.08	15.74	51.54	162	l23c
g25b	52.97	−39.7	−6.72	40.27	190	l55c
g50b	54.85	−32.33	−24.35	40.48	217	l87c
g75b	49.92	−17.29	−36.02	39.96	244	c20v
b00r	40.91	1.28	−42.35	42.37	272	c53v
b25r	26.81	30.38	−52.26	60.45	300	c87v
b50r	32.52	69.06	−42.14	80.9	329	v68m
b75r	39.48	71.47	−3.69	71.57	357	m34o

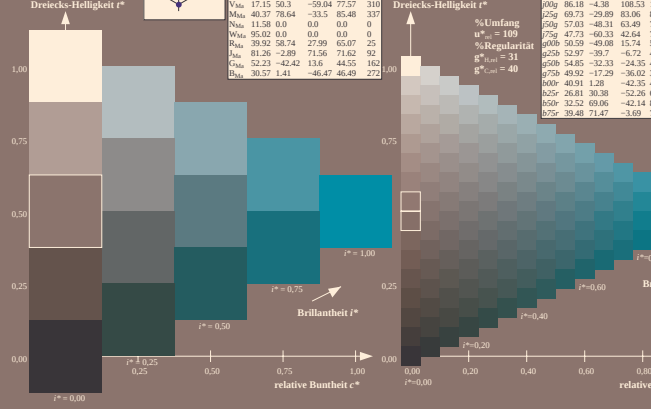

Ein und Ausgabe: Farbmetrisches Drucker-Reflektiv-System FRS12_95a für relativen CIELAB-Buntton $h^* = lab^*h^* = h_{ab}/360 = 0.679$ $u^*_e = g75b$

Daten für jede Farbe:
*lab*tch** und *lab*icu**
Buntton texte:
$u^*_e = g75b$ $u^*_d = c20v$
Kontrastreduzierungsfaktor:
$c_R = 1.0$
Dreiecks-Helligkeit i^*

Daten für Maximalfarbe (Ma):
$LAB^*LAB^*_{Ma}$: 50 −17 −36
$LAB^*LCH^*_{Ma}$: 50 40 244
$lab^*rgb^*_{Ma}$: 0.0 0.5 1.0
$lab^*olv^*_{Ma}$: 0.0 0.8 1.0
Dreiecks-Helligkeit i^*

%Umfang $u^*_{uni} = 109$
%Regularität $g^*_{H,uni} = 31$
$g^*_{C,uni} = 40$

FRS12_95a: adaptierte CIELAB-Daten

	$L^*=L^*_a$	a^*_a	b^*_a	$C^*_{ab,a}$	$h^*_{ab,a}$	
O_{Ma}	38.06	60.0	44.0	74.4	36	
Y_{Ma}	86.77	−5.17	109.32	109.44	93	
L_{Ma}	47.13	−62.67	48.24	79.09	142	
C_{Ma}	55.66	−29.14	−31.99	43.27	228	
V_{Ma}	17.15	50.3	−59.04	77.57	310	
M_{Ma}	40.37	78.64	−33.5	85.48	337	
N_{Ma}	11.58	0.0	0.0	0.0	0	
W_{Ma}	95.02	0.0	0.0	0.0	0	
R_{Ma}	39.92	58.74	27.99	65.07	25	
J_{Ma}	81.26	−2.89	71.56	71.62	92	
G_{Ma}	52.23	−42.42	13.6	44.55	162	
B_{Ma}	30.57	1.41	−46.47	46.49	272	

	$L^*=L^*_a$	a^*_a	b^*_a	$C^*_{ab,a}$	$h^*_{ab,a}$	u^*_d
r00j	38.47	63.32	30.17	70.15	25	m81o
r25j	42.12	54.56	49.45	73.64	42	o10y
r50j	53.64	39.15	64.89	75.79	59	o40y
r75j	67.01	21.26	82.83	85.52	76	o69y
j00g	86.18	−4.38	108.53	108.62	92	o98y
j25g	69.73	−29.89	83.06	88.28	110	y34l
j50g	57.03	−48.31	63.49	79.78	127	y69l
j75g	47.73	−60.33	42.64	73.88	145	l03c
g00b	50.59	−49.08	15.74	51.54	162	l23c
g25b	52.97	−39.7	−6.72	40.27	190	l55c
g50b	54.85	−32.33	−24.35	40.48	217	l87c
g75b	49.92	−17.29	−36.02	39.96	244	c20v
b00r	40.91	1.28	−42.35	42.37	272	c53v
b25r	26.81	30.38	−52.26	60.45	300	c87v
b50r	32.52	69.06	−42.14	80.9	329	v68m
b75r	39.48	71.47	−3.69	71.57	357	m34o

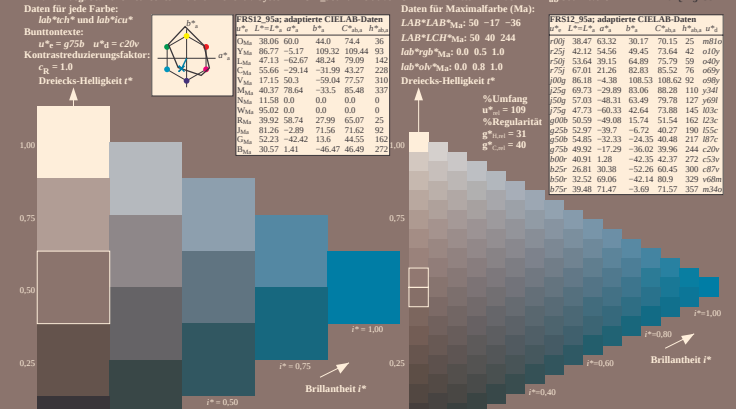

Ein und Ausgabe: Farbmetrisches Drucker-Reflektiv-System FRS12_95a für relativen CIELAB-Buntton $h^* = lab^*h^* = h_{ab}/360 = 0.755$ $u^*_e = b00r$

Daten für jede Farbe:
*lab*tch** und *lab*icu**
Buntton texte:
$u^*_e = b00r$ $u^*_d = c53v$
Kontrastreduzierungsfaktor:
$c_R = 1.0$
Dreiecks-Helligkeit i^*

Daten für Maximalfarbe (Ma):
$LAB^*LAB^*_{Ma}$: 41 1 −42
$LAB^*LCH^*_{Ma}$: 41 42 271
$lab^*rgb^*_{Ma}$: 0.0 0.0 1.0
$lab^*olv^*_{Ma}$: 0.0 0.47 1.0
Dreiecks-Helligkeit i^*

%Umfang $u^*_{uni} = 109$
%Regularität $g^*_{H,uni} = 31$
$g^*_{C,uni} = 40$

FRS12_95a: adaptierte CIELAB-Daten

	$L^*=L^*_a$	a^*_a	b^*_a	$C^*_{ab,a}$	$h^*_{ab,a}$	
O_{Ma}	38.06	60.0	44.0	74.4	36	
Y_{Ma}	86.77	−5.17	109.32	109.44	93	
L_{Ma}	47.13	−62.67	48.24	79.09	142	
C_{Ma}	55.66	−29.14	−31.99	43.27	228	
V_{Ma}	17.15	50.3	−59.04	77.57	310	
M_{Ma}	40.37	78.64	−33.5	85.48	337	
N_{Ma}	11.58	0.0	0.0	0.0	0	
W_{Ma}	95.02	0.0	0.0	0.0	0	
R_{Ma}	39.92	58.74	27.99	65.07	25	
J_{Ma}	81.26	−2.89	71.56	71.62	92	
G_{Ma}	52.23	−42.42	13.6	44.55	162	
B_{Ma}	30.57	1.41	−46.47	46.49	272	

	$L^*=L^*_a$	a^*_a	b^*_a	$C^*_{ab,a}$	$h^*_{ab,a}$	u^*_d
r00j	38.47	63.32	30.17	70.15	25	m81o
r25j	42.12	54.56	49.45	73.64	42	o10y
r50j	53.64	39.15	64.89	75.79	59	o40y
r75j	67.01	21.26	82.83	85.52	76	o69y
j00g	86.18	−4.38	108.53	108.62	92	o98y
j25g	69.73	−29.89	83.06	88.28	110	y34l
j50g	57.03	−48.31	63.49	79.78	127	y69l
j75g	47.73	−60.33	42.64	73.88	145	l03c
g00b	50.59	−49.08	15.74	51.54	162	l23c
g25b	52.97	−39.7	−6.72	40.27	190	l55c
g50b	54.85	−32.33	−24.35	40.48	217	l87c
g75b	49.92	−17.29	−36.02	39.96	244	c20v
b00r	40.91	1.28	−42.35	42.37	272	c53v
b25r	26.81	30.38	−52.26	60.45	300	c87v
b50r	32.52	69.06	−42.14	80.9	329	v68m
b75r	39.48	71.47	−3.69	71.57	357	m34o

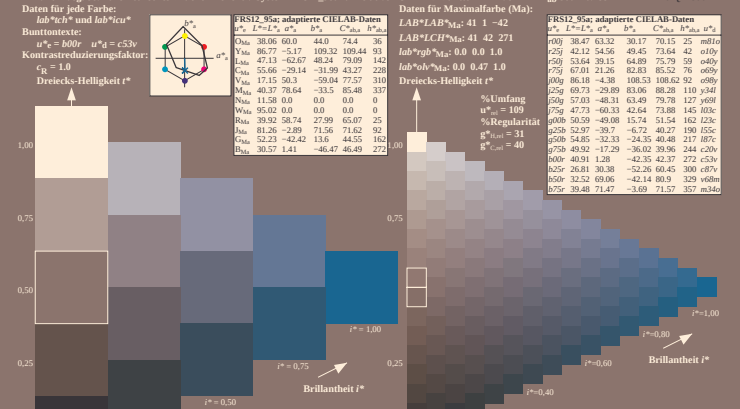

Ein und Ausgabe: Farbmetrisches Drucker-Reflektiv-System FRS12_95a für relativen CIELAB-Buntton $h^* = lab^*h^* = h_{ab}/360 = 0.834$

Daten für jede Farbe:
*lab*tch** und *lab*icu**
Buntton texte:
$u^*_e = b25r$ $u^*_d = c87v$
Kontrastreduzierungsfaktor:
$c_R = 1.0$
Dreiecks-Helligkeit i^*

Daten für Maximalfarbe (Ma):
$LAB^*LAB^*_{Ma}$: 27 30 −52
$LAB^*LCH^*_{Ma}$: 27 60 300
$lab^*rgb^*_{Ma}$: 0.5 0.0 1.0
$lab^*olv^*_{Ma}$: 0.0 0.12 1.0
Dreiecks-Helligkeit i^*

%Umfang $u^*_{uni} = 109$
%Regularität $g^*_{H,uni} = 31$
$g^*_{C,uni} = 40$

FRS12_95a: adaptierte CIELAB-Daten

	$L^*=L^*_a$	a^*_a	b^*_a	$C^*_{ab,a}$	$h^*_{ab,a}$	
O_{Ma}	38.06	60.0	44.0	74.4	36	
Y_{Ma}	86.77	−5.17	109.32	109.44	93	
L_{Ma}	47.13	−62.67	48.24	79.09	142	
C_{Ma}	55.66	−29.14	−31.99	43.27	228	
V_{Ma}	17.15	50.3	−59.04	77.57	310	
M_{Ma}	40.37	78.64	−33.5	85.48	337	
N_{Ma}	11.58	0.0	0.0	0.0	0	
W_{Ma}	95.02	0.0	0.0	0.0	0	
R_{Ma}	39.92	58.74	27.99	65.07	25	
J_{Ma}	81.26	−2.89	71.56	71.62	92	
G_{Ma}	52.23	−42.42	13.6	44.55	162	
B_{Ma}	30.57	1.41	−46.47	46.49	272	

	$L^*=L^*_a$	a^*_a	b^*_a	$C^*_{ab,a}$	$h^*_{ab,a}$	u^*_d
r00j	38.47	63.32	30.17	70.15	25	m81o
r25j	42.12	54.56	49.45	73.64	42	o10y
r50j	53.64	39.15	64.89	75.79	59	o40y
r75j	67.01	21.26	82.83	85.52	76	o69y
j00g	86.18	−4.38	108.53	108.62	92	o98y
j25g	69.73	−29.89	83.06	88.28	110	y34l
j50g	57.03	−48.31	63.49	79.78	127	y69l
j75g	47.73	−60.33	42.64	73.88	145	l03c
g00b	50.59	−49.08	15.74	51.54	162	l23c
g25b	52.97	−39.7	−6.72	40.27	190	l55c
g50b	54.85	−32.33	−24.35	40.48	217	l87c
g75b	49.92	−17.29	−36.02	39.96	244	c20v
b00r	40.91	1.28	−42.35	42.37	272	c53v
b25r	26.81	30.38	−52.26	60.45	300	c87v
b50r	32.52	69.06	−42.14	80.9	329	v68m
b75r	39.48	71.47	−3.69	71.57	357	m34o

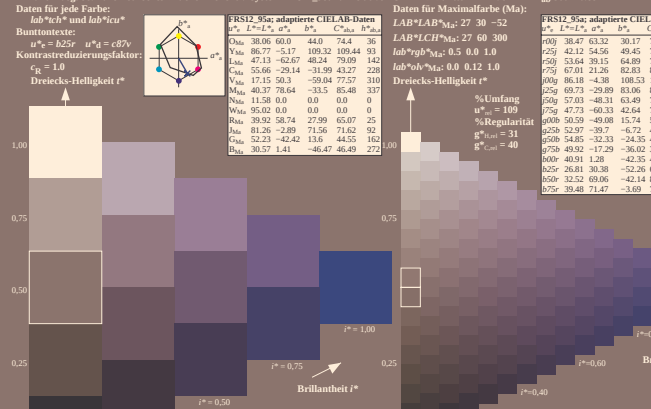

Ein und Ausgabe: Farbmetrisches Drucker-Reflektiv-System FRS12_95a für relativen CIELAB-Buntton $h^* = lab^*h^* = h_{ab}/360 = 0.913$ $u^*_e = b50r$

Daten für jede Farbe:
*lab*tch** und *lab*icu**
Buntton texte:
$u^*_e = b50r$ $u^*_d = v68m$
Kontrastreduzierungsfaktor:
$c_R = 1.0$
Dreiecks-Helligkeit i^*

Daten für Maximalfarbe (Ma):
$LAB^*LAB^*_{Ma}$: 33 69 −42
$LAB^*LCH^*_{Ma}$: 33 81 328
$lab^*rgb^*_{Ma}$: 1.0 0.0 1.0
$lab^*olv^*_{Ma}$: 0.69 0.0 1.0
Dreiecks-Helligkeit i^*

%Umfang $u^*_{uni} = 109$
%Regularität $g^*_{H,uni} = 31$
$g^*_{C,uni} = 40$

FRS12_95a: adaptierte CIELAB-Daten

	$L^*=L^*_a$	a^*_a	b^*_a	$C^*_{ab,a}$	$h^*_{ab,a}$	
O_{Ma}	38.06	60.0	44.0	74.4	36	
Y_{Ma}	86.77	−5.17	109.32	109.44	93	
L_{Ma}	47.13	−62.67	48.24	79.09	142	
C_{Ma}	55.66	−29.14	−31.99	43.27	228	
V_{Ma}	17.15	50.3	−59.04	77.57	310	
M_{Ma}	40.37	78.64	−33.5	85.48	337	
N_{Ma}	11.58	0.0	0.0	0.0	0	
W_{Ma}	95.02	0.0	0.0	0.0	0	
R_{Ma}	39.92	58.74	27.99	65.07	25	
J_{Ma}	81.26	−2.89	71.56	71.62	92	
G_{Ma}	52.23	−42.42	13.6	44.55	162	
B_{Ma}	30.57	1.41	−46.47	46.49	272	

	$L^*=L^*_a$	a^*_a	b^*_a	$C^*_{ab,a}$	$h^*_{ab,a}$	u^*_d
r00j	38.47	63.32	30.17	70.15	25	m81o
r25j	42.12	54.56	49.45	73.64	42	o10y
r50j	53.64	39.15	64.89	75.79	59	o40y
r75j	67.01	21.26	82.83	85.52	76	o69y
j00g	86.18	−4.38	108.53	108.62	92	o98y
j25g	69.73	−29.89	83.06	88.28	110	y34l
j50g	57.03	−48.31	63.49	79.78	127	y69l
j75g	47.73	−60.33	42.64	73.88	145	l03c
g00b	50.59	−49.08	15.74	51.54	162	l23c
g25b	52.97	−39.7	−6.72	40.27	190	l55c
g50b	54.85	−32.33	−24.35	40.48	217	l87c
g75b	49.92	−17.29	−36.02	39.96	244	c20v
b00r	40.91	1.28	−42.35	42.37	272	c53v
b25r	26.81	30.38	−52.26	60.45	300	c87v
b50r	32.52	69.06	−42.14	80.9	329	v68m
b75r	39.48	71.47	−3.69	71.57	357	m34o

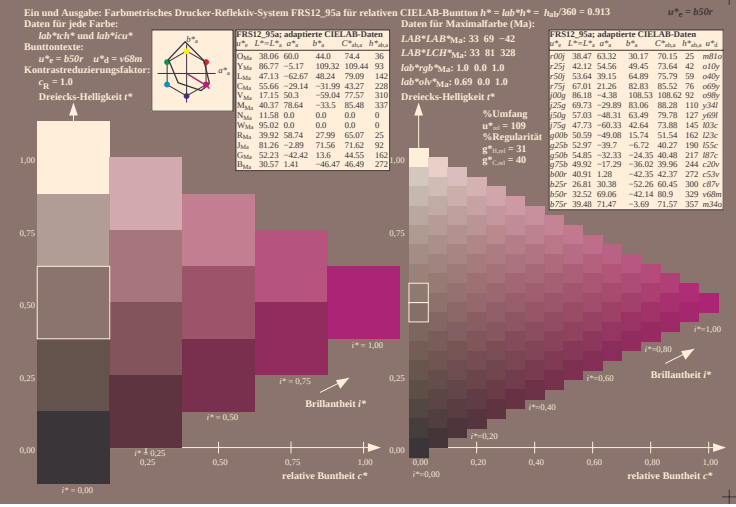

Ein und Ausgabe: Farbmetrisches Drucker-Reflektiv-System FRS12_95a für relativen CIELAB-Buntton $h^* = lab^*h^* = h_{ab}/360 = 0.992$ $u^*_e = b75r$

Daten für jede Farbe:
*lab*tch** und *lab*icu**
Buntton texte:
$u^*_e = b75r$ $u^*_d = m34o$
Kontrastreduzierungsfaktor:
$c_R = 1.0$
Dreiecks-Helligkeit i^*

Daten für Maximalfarbe (Ma):
$LAB^*LAB^*_{Ma}$: 39 71 −4
$LAB^*LCH^*_{Ma}$: 39 72 357
$lab^*rgb^*_{Ma}$: 1.0 0.0 0.5
$lab^*olv^*_{Ma}$: 1.0 0.0 0.66
Dreiecks-Helligkeit i^*

%Umfang $u^*_{uni} = 109$
%Regularität $g^*_{H,uni} = 31$
$g^*_{C,uni} = 40$

FRS12_95a: adaptierte CIELAB-Daten

	$L^*=L^*_a$	a^*_a	b^*_a	$C^*_{ab,a}$	$h^*_{ab,a}$	
O_{Ma}	38.06	60.0	44.0	74.4	36	
Y_{Ma}	86.77	−5.17	109.32	109.44	93	
L_{Ma}	47.13	−62.67	48.24	79.09	142	
C_{Ma}	55.66	−29.14	−31.99	43.27	228	
V_{Ma}	17.15	50.3	−59.04	77.57	310	
M_{Ma}	40.37	78.64	−33.5	85.48	337	
N_{Ma}	11.58	0.0	0.0	0.0	0	
W_{Ma}	95.02	0.0	0.0	0.0	0	
R_{Ma}	39.92	58.74	27.99	65.07	25	
J_{Ma}	81.26	−2.89	71.56	71.62	92	
G_{Ma}	52.23	−42.42	13.6	44.55	162	
B_{Ma}	30.57	1.41	−46.47	46.49	272	

	$L^*=L^*_a$	a^*_a	b^*_a	$C^*_{ab,a}$	$h^*_{ab,a}$	u^*_d
r00j	38.47	63.32	30.17	70.15	25	m81o
r25j	42.12	54.56	49.45	73.64	42	o10y
r50j	53.64	39.15	64.89	75.79	59	o40y
r75j	67.01	21.26	82.83	85.52	76	o69y
j00g	86.18	−4.38	108.53	108.62	92	o98y
j25g	69.73	−29.89	83.06	88.28	110	y34l
j50g	57.03	−48.31	63.49	79.78	127	y69l
j75g	47.73	−60.33	42.64	73.88	145	l03c
g00b	50.59	−49.08	15.74	51.54	162	l23c
g25b	52.97	−39.7	−6.72	40.27	190	l55c
g50b	54.85	−32.33	−24.35	40.48	217	l87c
g75b	49.92	−17.29	−36.02	39.96	244	c20v
b00r	40.91	1.28	−42.35	42.37	272	c53v
b25r	26.81	30.38	−52.26	60.45	300	c87v
b50r	32.52	69.06	−42.14	80.9	329	v68m
b75r	39.48	71.47	−3.69	71.57	357	m34o

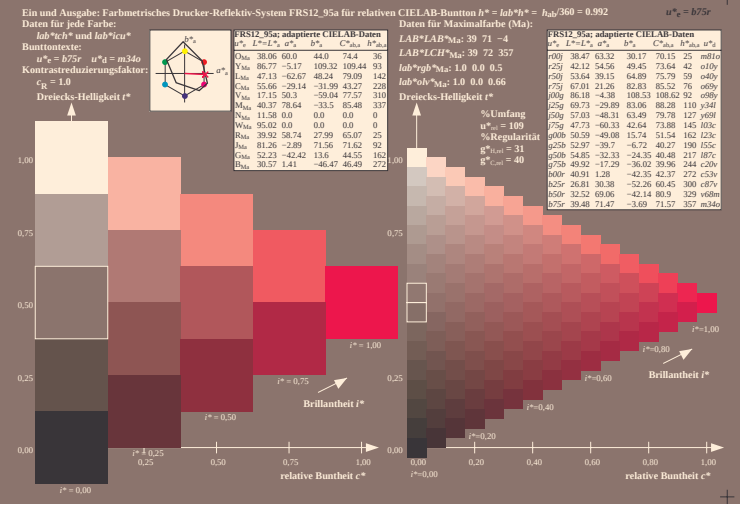

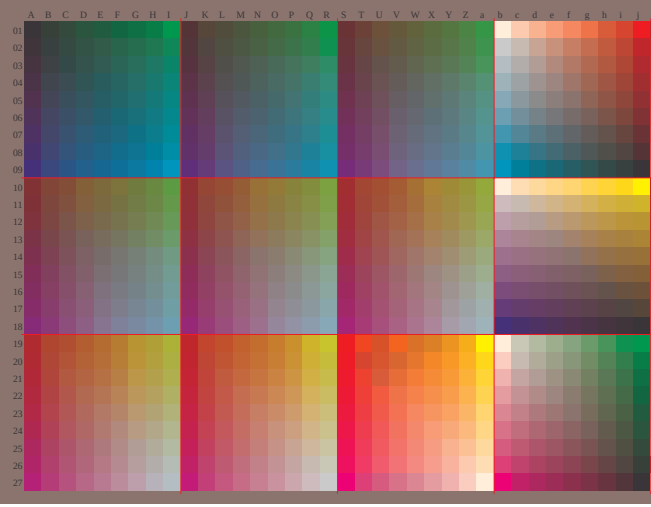

Ein und Ausgabe: Farbmetrisches Drucker-Reflektiv-System FRS12_95a für relativen CIELAB-Buntton $h^* = lab^*h^* = h_{ab}/360 = 0.451$ $u^*_e = g00b$

Daten für jede Farbe:
*lab*tch** und *lab*icu**
Benttontexte:
$u^*_e = g00b$ $u^*_d = I23c$
Kontrastreduzierungsfaktor:
$c_R = 1.0$
Dreiecks-Helligkeit t^*

Daten für Maximalfarbe (Ma):
$LAB^*LAB^*_{Ma}$: 51 −49 16
$LAB^*LCH^*_{Ma}$: 51 52 162
$lab^*rgb^*_{Ma}$: 0.0 1.0 0.0
$lab^*olv^*_{Ma}$: 0.0 1.0 0.23
Dreiecks-Helligkeit t^*

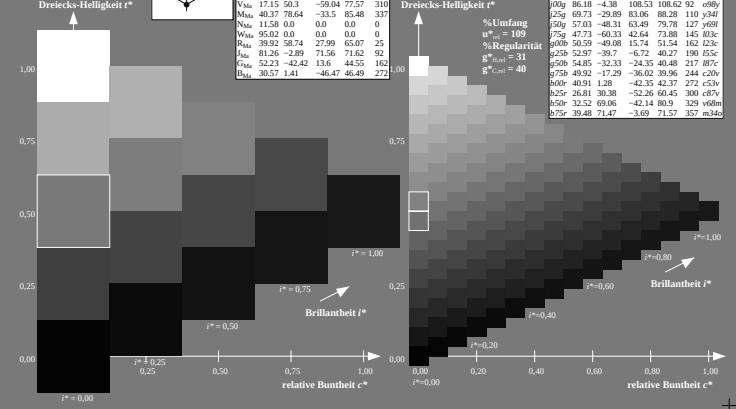

FRS12_95a: adaptierte CIELAB-Daten

a^*_e	$L^*=L^*_e$	a^*_e	b^*_e	$C^*_{ab,e}$	$h^*_{ab,e}$
O_{Ma}	38.06	60.0	44.0	74.4	36
Y_{Ma}	86.77	−5.17	109.32	109.44	93
L_{Ma}	47.13	−62.67	48.24	79.09	142
C_{Ma}	55.66	−29.14	−31.99	43.27	228
V_{Ma}	17.15	50.3	−59.04	77.57	310
M_{Ma}	40.37	78.64	−33.5	85.48	337
N_{Ma}	11.58	0.0	0.0	0.0	0
W_{Ma}	95.02	0.0	0.0	0.0	0
R_{Ma}	39.92	58.74	27.99	65.07	25
J_{Ma}	81.26	−2.89	71.56	71.62	92
G_{Ma}	52.23	−42.42	13.6	44.55	162
B_{Ma}	30.57	1.41	−46.47	46.49	272

a^*_e	$L^*=L^*_e$	a^*_e	b^*_e	$C^*_{ab,e}$	$h^*_{ab,e}$	u^*_d
r00j	38.47	63.32	30.17	70.15	25	m81o
r25j	42.12	54.56	49.45	73.64	42	o10y
r50j	53.64	39.15	64.89	75.79	59	o40y
r75j	67.01	21.26	82.83	85.52	76	o69y
j00g	86.18	−4.38	108.53	108.62	92	o98y
j25g	69.73	−29.89	83.06	88.28	110	y34l
j50g	57.03	−48.31	63.49	79.78	127	y69l
j75g	47.73	−60.33	42.64	73.88	145	l03c
g00b	50.59	−49.08	15.74	51.54	162	I23c
g25b	52.97	−39.7	−6.72	40.27	190	I55c
g50b	54.85	−32.33	−24.35	40.48	217	I87c
g75b	49.92	−17.29	−36.02	39.96	244	c20v
b00r	40.91	1.28	−42.35	42.37	272	c53v
b25r	26.81	30.38	−52.26	60.45	300	c87v
b50r	32.52	69.06	−42.14	80.9	329	v68m
b75r	39.48	71.47	−3.69	71.57	357	m34o

Ein und Ausgabe: Farbmetrisches Drucker-Reflektiv-System FRS12_95a für relativen CIELAB-Buntton $h^* = lab^*h^* = h_{ab}/360 = 0.527$ $u^*_e = g25b$

Daten für jede Farbe:
*lab*tch** und *lab*icu**
Benttontexte:
$u^*_e = g25b$ $u^*_d = I55c$
Kontrastreduzierungsfaktor:
$c_R = 1.0$
Dreiecks-Helligkeit t^*

Daten für Maximalfarbe (Ma):
$LAB^*LAB^*_{Ma}$: 53 −40 −7
$LAB^*LCH^*_{Ma}$: 53 40 189
$lab^*rgb^*_{Ma}$: 0.0 1.0 0.5
$lab^*olv^*_{Ma}$: 0.0 1.0 0.55
Dreiecks-Helligkeit t^*

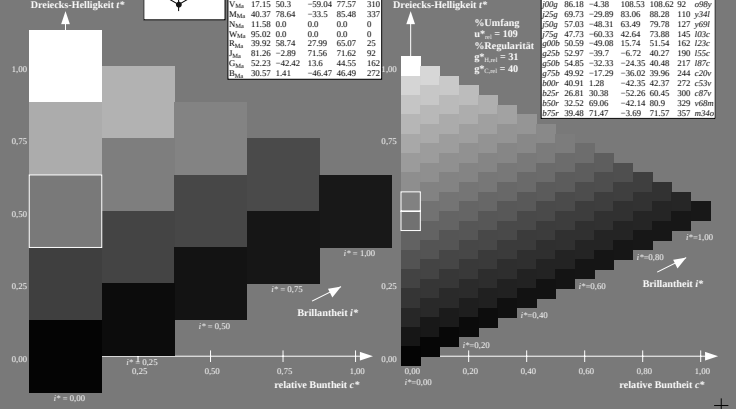

FRS12_95a: adaptierte CIELAB-Daten

a^*_e	$L^*=L^*_e$	a^*_e	b^*_e	$C^*_{ab,e}$	$h^*_{ab,e}$
O_{Ma}	38.06	60.0	44.0	74.4	36
Y_{Ma}	86.77	−5.17	109.32	109.44	93
L_{Ma}	47.13	−62.67	48.24	79.09	142
C_{Ma}	55.66	−29.14	−31.99	43.27	228
V_{Ma}	17.15	50.3	−59.04	77.57	310
M_{Ma}	40.37	78.64	−33.5	85.48	337
N_{Ma}	11.58	0.0	0.0	0.0	0
W_{Ma}	95.02	0.0	0.0	0.0	0
R_{Ma}	39.92	58.74	27.99	65.07	25
J_{Ma}	81.26	−2.89	71.56	71.62	92
G_{Ma}	52.23	−42.42	13.6	44.55	162
B_{Ma}	30.57	1.41	−46.47	46.49	272

a^*_e	$L^*=L^*_e$	a^*_e	b^*_e	$C^*_{ab,e}$	$h^*_{ab,e}$	u^*_d
r00j	38.47	63.32	30.17	70.15	25	m81o
r25j	42.12	54.56	49.45	73.64	42	o10y
r50j	53.64	39.15	64.89	75.79	59	o40y
r75j	67.01	21.26	82.83	85.52	76	o69y
j00g	86.18	−4.38	108.53	108.62	92	o98y
j25g	69.73	−29.89	83.06	88.28	110	y34l
j50g	57.03	−48.31	63.49	79.78	127	y69l
j75g	47.73	−60.33	42.64	73.88	145	l03c
g00b	50.59	−49.08	15.74	51.54	162	I23c
g25b	52.97	−39.7	−6.72	40.27	190	I55c
g50b	54.85	−32.33	−24.35	40.48	217	I87c
g75b	49.92	−17.29	−36.02	39.96	244	c20v
b00r	40.91	1.28	−42.35	42.37	272	c53v
b25r	26.81	30.38	−52.26	60.45	300	c87v
b50r	32.52	69.06	−42.14	80.9	329	v68m
b75r	39.48	71.47	−3.69	71.57	357	m34o

Ein und Ausgabe: Farbmetrisches Drucker-Reflektiv-System FRS12_95a für relativen CIELAB-Buntton $h^* = lab^*h^* = h_{ab}/360 = 0.603$

Daten für jede Farbe:
*lab*tch** und *lab*icu**
Benttontexte:
$u^*_e = g50b$ $u^*_d = I87c$
Kontrastreduzierungsfaktor:
$c_R = 1.0$
Dreiecks-Helligkeit t^*

Daten für Maximalfarbe (Ma):
$LAB^*LAB^*_{Ma}$: 55 −32 −24
$LAB^*LCH^*_{Ma}$: 55 40 216
$lab^*rgb^*_{Ma}$: 0.0 1.0 1.0
$lab^*olv^*_{Ma}$: 0.0 1.0 0.87
Dreiecks-Helligkeit t^*

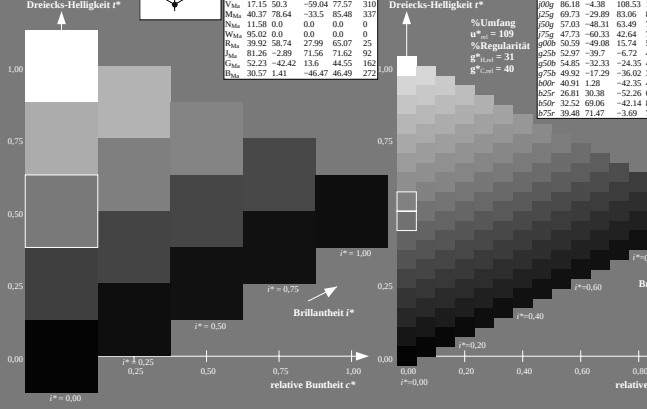

FRS12_95a: adaptierte CIELAB-Daten

a^*_e	$L^*=L^*_e$	a^*_e	b^*_e	$C^*_{ab,e}$	$h^*_{ab,e}$
O_{Ma}	38.06	60.0	44.0	74.4	36
Y_{Ma}	86.77	−5.17	109.32	109.44	93
L_{Ma}	47.13	−62.67	48.24	79.09	142
C_{Ma}	55.66	−29.14	−31.99	43.27	228
V_{Ma}	17.15	50.3	−59.04	77.57	310
M_{Ma}	40.37	78.64	−33.5	85.48	337
N_{Ma}	11.58	0.0	0.0	0.0	0
W_{Ma}	95.02	0.0	0.0	0.0	0
R_{Ma}	39.92	58.74	27.99	65.07	25
J_{Ma}	81.26	−2.89	71.56	71.62	92
G_{Ma}	52.23	−42.42	13.6	44.55	162
B_{Ma}	30.57	1.41	−46.47	46.49	272

a^*_e	$L^*=L^*_e$	a^*_e	b^*_e	$C^*_{ab,e}$	$h^*_{ab,e}$	u^*_d
r00j	38.47	63.32	30.17	70.15	25	m81o
r25j	42.12	54.56	49.45	73.64	42	o10y
r50j	53.64	39.15	64.89	75.79	59	o40y
r75j	67.01	21.26	82.83	85.52	76	o69y
j00g	86.18	−4.38	108.53	108.62	92	o98y
j25g	69.73	−29.89	83.06	88.28	110	y34l
j50g	57.03	−48.31	63.49	79.78	127	y69l
j75g	47.73	−60.33	42.64	73.88	145	l03c
g00b	50.59	−49.08	15.74	51.54	162	I23c
g25b	52.97	−39.7	−6.72	40.27	190	I55c
g50b	54.85	−32.33	−24.35	40.48	217	I87c
g75b	49.92	−17.29	−36.02	39.96	244	c20v
b00r	40.91	1.28	−42.35	42.37	272	c53v
b25r	26.81	30.38	−52.26	60.45	300	c87v
b50r	32.52	69.06	−42.14	80.9	329	v68m
b75r	39.48	71.47	−3.69	71.57	357	m34o

Ein und Ausgabe: Farbmetrisches Drucker-Reflektiv-System FRS12_95a für relativen CIELAB-Buntton $h^* = lab^*h^* = h_{ab}/360 = 0.679$ $u^*_e = g75b$

Daten für jede Farbe:
*lab*tch** und *lab*icu**
Benttontexte:
$u^*_e = g75b$ $u^*_d = c20v$
Kontrastreduzierungsfaktor:
$c_R = 1.0$
Dreiecks-Helligkeit t^*

Daten für Maximalfarbe (Ma):
$LAB^*LAB^*_{Ma}$: 50 −17 −36
$LAB^*LCH^*_{Ma}$: 50 40 244
$lab^*rgb^*_{Ma}$: 0.0 0.5 1.0
$lab^*olv^*_{Ma}$: 0.0 0.8 1.0
Dreiecks-Helligkeit t^*

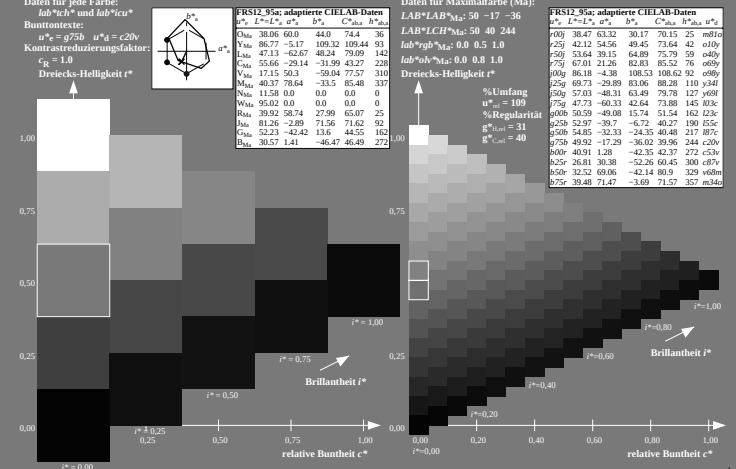

FRS12_95a: adaptierte CIELAB-Daten

a^*_e	$L^*=L^*_e$	a^*_e	b^*_e	$C^*_{ab,e}$	$h^*_{ab,e}$
O_{Ma}	38.06	60.0	44.0	74.4	36
Y_{Ma}	86.77	−5.17	109.32	109.44	93
L_{Ma}	47.13	−62.67	48.24	79.09	142
C_{Ma}	55.66	−29.14	−31.99	43.27	228
V_{Ma}	17.15	50.3	−59.04	77.57	310
M_{Ma}	40.37	78.64	−33.5	85.48	337
N_{Ma}	11.58	0.0	0.0	0.0	0
W_{Ma}	95.02	0.0	0.0	0.0	0
R_{Ma}	39.92	58.74	27.99	65.07	25
J_{Ma}	81.26	−2.89	71.56	71.62	92
G_{Ma}	52.23	−42.42	13.6	44.55	162
B_{Ma}	30.57	1.41	−46.47	46.49	272

a^*_e	$L^*=L^*_e$	a^*_e	b^*_e	$C^*_{ab,e}$	$h^*_{ab,e}$	u^*_d
r00j	38.47	63.32	30.17	70.15	25	m81o
r25j	42.12	54.56	49.45	73.64	42	o10y
r50j	53.64	39.15	64.89	75.79	59	o40y
r75j	67.01	21.26	82.83	85.52	76	o69y
j00g	86.18	−4.38	108.53	108.62	92	o98y
j25g	69.73	−29.89	83.06	88.28	110	y34l
j50g	57.03	−48.31	63.49	79.78	127	y69l
j75g	47.73	−60.33	42.64	73.88	145	l03c
g00b	50.59	−49.08	15.74	51.54	162	I23c
g25b	52.97	−39.7	−6.72	40.27	190	I55c
g50b	54.85	−32.33	−24.35	40.48	217	I87c
g75b	49.92	−17.29	−36.02	39.96	244	c20v
b00r	40.91	1.28	−42.35	42.37	272	c53v
b25r	26.81	30.38	−52.26	60.45	300	c87v
b50r	32.52	69.06	−42.14	80.9	329	v68m
b75r	39.48	71.47	−3.69	71.57	357	m34o

Ein und Ausgabe: Farbmetrisches Drucker-Reflektiv-System FRS12_95a für relativen CIELAB-Buntton $h^* = lab^*h^* = h_{ab}/360 = 0.755$ $u^*_e = b00r$

Daten für jede Farbe:
*lab*tch** und *lab*icu**
Benttontexte:
$u^*_e = b00r$ $u^*_d = c53v$
Kontrastreduzierungsfaktor:
$c_R = 1.0$
Dreiecks-Helligkeit t^*

Daten für Maximalfarbe (Ma):
$LAB^*LAB^*_{Ma}$: 41 1 −42
$LAB^*LCH^*_{Ma}$: 41 42 271
$lab^*rgb^*_{Ma}$: 0.0 0.0 1.0
$lab^*olv^*_{Ma}$: 0.0 0.47 1.0
Dreiecks-Helligkeit t^*

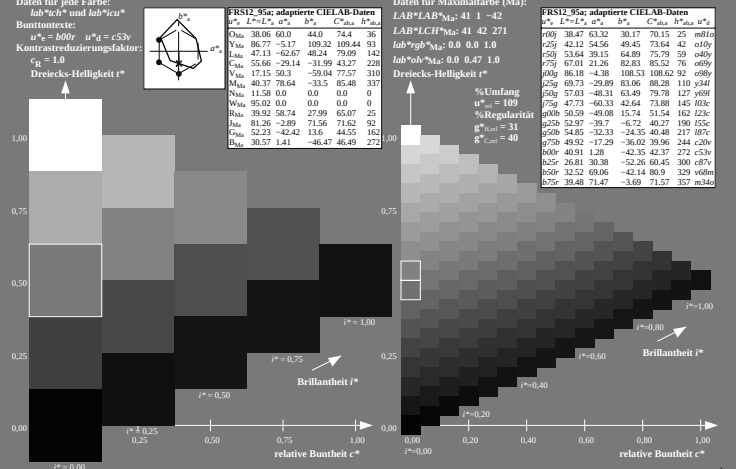

FRS12_95a: adaptierte CIELAB-Daten

a^*_e	$L^*=L^*_e$	a^*_e	b^*_e	$C^*_{ab,e}$	$h^*_{ab,e}$
O_{Ma}	38.06	60.0	44.0	74.4	36
Y_{Ma}	86.77	−5.17	109.32	109.44	93
L_{Ma}	47.13	−62.67	48.24	79.09	142
C_{Ma}	55.66	−29.14	−31.99	43.27	228
V_{Ma}	17.15	50.3	−59.04	77.57	310
M_{Ma}	40.37	78.64	−33.5	85.48	337
N_{Ma}	11.58	0.0	0.0	0.0	0
W_{Ma}	95.02	0.0	0.0	0.0	0
R_{Ma}	39.92	58.74	27.99	65.07	25
J_{Ma}	81.26	−2.89	71.56	71.62	92
G_{Ma}	52.23	−42.42	13.6	44.55	162
B_{Ma}	30.57	1.41	−46.47	46.49	272

a^*_e	$L^*=L^*_e$	a^*_e	b^*_e	$C^*_{ab,e}$	$h^*_{ab,e}$	u^*_d
r00j	38.47	63.32	30.17	70.15	25	m81o
r25j	42.12	54.56	49.45	73.64	42	o10y
r50j	53.64	39.15	64.89	75.79	59	o40y
r75j	67.01	21.26	82.83	85.52	76	o69y
j00g	86.18	−4.38	108.53	108.62	92	o98y
j25g	69.73	−29.89	83.06	88.28	110	y34l
j50g	57.03	−48.31	63.49	79.78	127	y69l
j75g	47.73	−60.33	42.64	73.88	145	l03c
g00b	50.59	−49.08	15.74	51.54	162	I23c
g25b	52.97	−39.7	−6.72	40.27	190	I55c
g50b	54.85	−32.33	−24.35	40.48	217	I87c
g75b	49.92	−17.29	−36.02	39.96	244	c20v
b00r	40.91	1.28	−42.35	42.37	272	c53v
b25r	26.81	30.38	−52.26	60.45	300	c87v
b50r	32.52	69.06	−42.14	80.9	329	v68m
b75r	39.48	71.47	−3.69	71.57	357	m34o

Ein und Ausgabe: Farbmetrisches Drucker-Reflektiv-System FRS12_95a für relativen CIELAB-Buntton $h^* = lab^*h^* = h_{ab}/360 = 0.834$

Daten für jede Farbe:
*lab*tch** und *lab*icu**
Benttontexte:
$u^*_e = b25r$ $u^*_d = c87v$
Kontrastreduzierungsfaktor:
$c_R = 1.0$
Dreiecks-Helligkeit t^*

Daten für Maximalfarbe (Ma):
$LAB^*LAB^*_{Ma}$: 27 30 −52
$LAB^*LCH^*_{Ma}$: 27 60 300
$lab^*rgb^*_{Ma}$: 0.5 0.0 1.0
$lab^*olv^*_{Ma}$: 0.0 0.12 1.0
Dreiecks-Helligkeit t^*

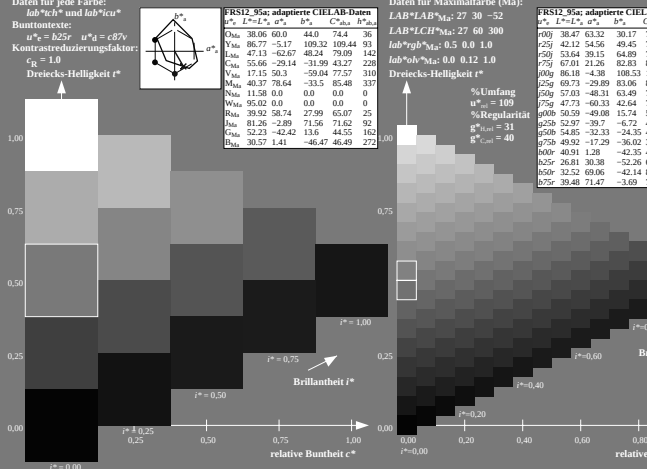

FRS12_95a: adaptierte CIELAB-Daten

a^*_e	$L^*=L^*_e$	a^*_e	b^*_e	$C^*_{ab,e}$	$h^*_{ab,e}$
O_{Ma}	38.06	60.0	44.0	74.4	36
Y_{Ma}	86.77	−5.17	109.32	109.44	93
L_{Ma}	47.13	−62.67	48.24	79.09	142
C_{Ma}	55.66	−29.14	−31.99	43.27	228
V_{Ma}	17.15	50.3	−59.04	77.57	310
M_{Ma}	40.37	78.64	−33.5	85.48	337
N_{Ma}	11.58	0.0	0.0	0.0	0
W_{Ma}	95.02	0.0	0.0	0.0	0
R_{Ma}	39.92	58.74	27.99	65.07	25
J_{Ma}	81.26	−2.89	71.56	71.62	92
G_{Ma}	52.23	−42.42	13.6	44.55	162
B_{Ma}	30.57	1.41	−46.47	46.49	272

a^*_e	$L^*=L^*_e$	a^*_e	b^*_e	$C^*_{ab,e}$	$h^*_{ab,e}$	u^*_d
r00j	38.47	63.32	30.17	70.15	25	m81o
r25j	42.12	54.56	49.45	73.64	42	o10y
r50j	53.64	39.15	64.89	75.79	59	o40y
r75j	67.01	21.26	82.83	85.52	76	o69y
j00g	86.18	−4.38	108.53	108.62	92	o98y
j25g	69.73	−29.89	83.06	88.28	110	y34l
j50g	57.03	−48.31	63.49	79.78	127	y69l
j75g	47.73	−60.33	42.64	73.88	145	l03c
g00b	50.59	−49.08	15.74	51.54	162	I23c
g25b	52.97	−39.7	−6.72	40.27	190	I55c
g50b	54.85	−32.33	−24.35	40.48	217	I87c
g75b	49.92	−17.29	−36.02	39.96	244	c20v
b00r	40.91	1.28	−42.35	42.37	272	c53v
b25r	26.81	30.38	−52.26	60.45	300	c87v
b50r	32.52	69.06	−42.14	80.9	329	v68m
b75r	39.48	71.47	−3.69	71.57	357	m34o

Ein und Ausgabe: Farbmetrisches Drucker-Reflektiv-System FRS12_95a für relativen CIELAB-Buntton $h^* = lab^*h^* = h_{ab}/360 = 0.913$ $u^*_e = b50r$

Daten für jede Farbe:
*lab*tch** und *lab*icu**
Benttontexte:
$u^*_e = b50r$ $u^*_d = v68m$
Kontrastreduzierungsfaktor:
$c_R = 1.0$
Dreiecks-Helligkeit t^*

Daten für Maximalfarbe (Ma):
$LAB^*LAB^*_{Ma}$: 33 69 −42
$LAB^*LCH^*_{Ma}$: 33 81 328
$lab^*rgb^*_{Ma}$: 1.0 0.0 1.0
$lab^*olv^*_{Ma}$: 0.69 0.0 1.0
Dreiecks-Helligkeit t^*

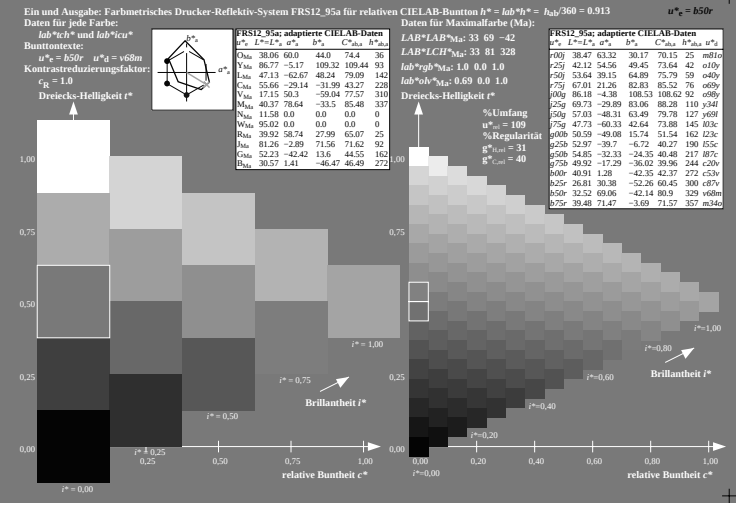

FRS12_95a: adaptierte CIELAB-Daten

a^*_e	$L^*=L^*_e$	a^*_e	b^*_e	$C^*_{ab,e}$	$h^*_{ab,e}$
O_{Ma}	38.06	60.0	44.0	74.4	36
Y_{Ma}	86.77	−5.17	109.32	109.44	93
L_{Ma}	47.13	−62.67	48.24	79.09	142
C_{Ma}	55.66	−29.14	−31.99	43.27	228
V_{Ma}	17.15	50.3	−59.04	77.57	310
M_{Ma}	40.37	78.64	−33.5	85.48	337
N_{Ma}	11.58	0.0	0.0	0.0	0
W_{Ma}	95.02	0.0	0.0	0.0	0
R_{Ma}	39.92	58.74	27.99	65.07	25
J_{Ma}	81.26	−2.89	71.56	71.62	92
G_{Ma}	52.23	−42.42	13.6	44.55	162
B_{Ma}	30.57	1.41	−46.47	46.49	272

a^*_e	$L^*=L^*_e$	a^*_e	b^*_e	$C^*_{ab,e}$	$h^*_{ab,e}$	u^*_d
r00j	38.47	63.32	30.17	70.15	25	m81o
r25j	42.12	54.56	49.45	73.64	42	o10y
r50j	53.64	39.15	64.89	75.79	59	o40y
r75j	67.01	21.26	82.83	85.52	76	o69y
j00g	86.18	−4.38	108.53	108.62	92	o98y
j25g	69.73	−29.89	83.06	88.28	110	y34l
j50g	57.03	−48.31	63.49	79.78	127	y69l
j75g	47.73	−60.33	42.64	73.88	145	l03c
g00b	50.59	−49.08	15.74	51.54	162	I23c
g25b	52.97	−39.7	−6.72	40.27	190	I55c
g50b	54.85	−32.33	−24.35	40.48	217	I87c
g75b	49.92	−17.29	−36.02	39.96	244	c20v
b00r	40.91	1.28	−42.35	42.37	272	c53v
b25r	26.81	30.38	−52.26	60.45	300	c87v
b50r	32.52	69.06	−42.14	80.9	329	v68m
b75r	39.48	71.47	−3.69	71.57	357	m34o

Ein und Ausgabe: Farbmetrisches Drucker-Reflektiv-System FRS12_95a für relativen CIELAB-Buntton $h^* = lab^*h^* = h_{ab}/360 = 0.992$ $u^*_e = b75r$

Daten für jede Farbe:
*lab*tch** und *lab*icu**
Benttontexte:
$u^*_e = b75r$ $u^*_d = m34o$
Kontrastreduzierungsfaktor:
$c_R = 1.0$
Dreiecks-Helligkeit t^*

Daten für Maximalfarbe (Ma):
$LAB^*LAB^*_{Ma}$: 39 71 −4
$LAB^*LCH^*_{Ma}$: 39 72 357
$lab^*rgb^*_{Ma}$: 1.0 0.0 0.5
$lab^*olv^*_{Ma}$: 1.0 0.0 0.66
Dreiecks-Helligkeit t^*

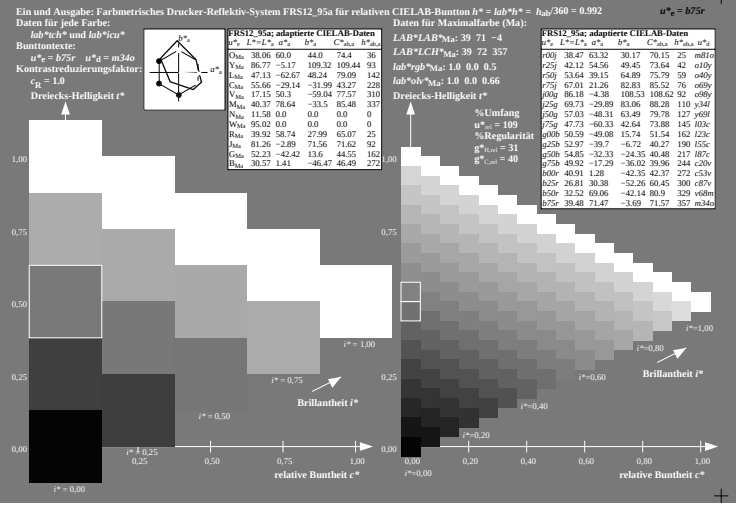

FRS12_95a: adaptierte CIELAB-Daten

a^*_e	$L^*=L^*_e$	a^*_e	b^*_e	$C^*_{ab,e}$	$h^*_{ab,e}$
O_{Ma}	38.06	60.0	44.0	74.4	36
Y_{Ma}	86.77	−5.17	109.32	109.44	93
L_{Ma}	47.13	−62.67	48.24	79.09	142
C_{Ma}	55.66	−29.14	−31.99	43.27	228
V_{Ma}	17.15	50.3	−59.04	77.57	310
M_{Ma}	40.37	78.64	−33.5	85.48	337
N_{Ma}	11.58	0.0	0.0	0.0	0
W_{Ma}	95.02	0.0	0.0	0.0	0
R_{Ma}	39.92	58.74	27.99	65.07	25
J_{Ma}	81.26	−2.89	71.56	71.62	92
G_{Ma}	52.23	−42.42	13.6	44.55	162
B_{Ma}	30.57	1.41	−46.47	46.49	272

a^*_e	$L^*=L^*_e$	a^*_e	b^*_e	$C^*_{ab,e}$	$h^*_{ab,e}$	u^*_d
r00j	38.47	63.32	30.17	70.15	25	m81o
r25j	42.12	54.56	49.45	73.64	42	o10y
r50j	53.64	39.15	64.89	75.79	59	o40y
r75j	67.01	21.26	82.83	85.52	76	o69y
j00g	86.18	−4.38	108.53	108.62	92	o98y
j25g	69.73	−29.89	83.06	88.28	110	y34l
j50g	57.03	−48.31	63.49	79.78	127	y69l
j75g	47.73	−60.33	42.64	73.88	145	l03c
g00b	50.59	−49.08	15.74	51.54	162	I23c
g25b	52.97	−39.7	−6.72	40.27	190	I55c
g50b	54.85	−32.33	−24.35	40.48	217	I87c
g75b	49.92	−17.29	−36.02	39.96	244	c20v
b00r	40.91	1.28	−42.35	42.37	272	c53v
b25r	26.81	30.38	−52.26	60.45	300	c87v
b50r	32.52	69.06	−42.14	80.9	329	v68m
b75r	39.48	71.47	−3.69	71.57	357	m34o

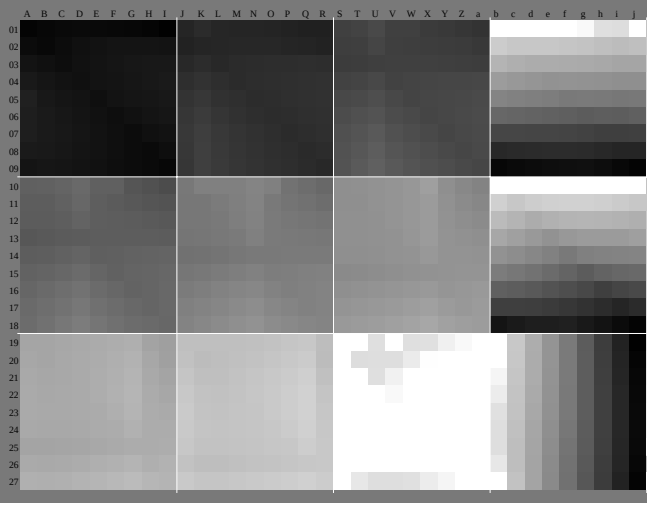

Ein und Ausgabe: Farbmetrisches Drucker-Reflektiv-System FRS12_95a für relativen CIELAB-Buntton $h^* = lab^*h^* = h_{ab}/360 = 0.451$ $u^*_e = g00b$

Daten für jede Farbe:
lab^*tch^* und lab^*icu^*
Benttontexte:
$u^*_e = g00b$ $u^*_d = I23c$
Kontrastreduzierungsfaktor:
$c_R = 1.0$
Dreiecks-Helligkeit i^*

Daten für Maximalfarbe (Ma):
$LAB^*LAB^*_{Ma}$: 51 −49 16
$LAB^*LCH^*_{Ma}$: 51 52 162
$lab^*rgb^*_{Ma}$: 0.0 1.0 0.0
$lab^*olv^*_{Ma}$: 0.0 1.0 0.23
Dreiecks-Helligkeit i^*

FRS12_95a; adaptierte CIELAB-Daten

	L^*_e	$L^*=L^*_a$	a^*_a	b^*_a	$C^*_{ab,a}$	$h^*_{ab,a}$
O_{Ma}	38.06	60.0	44.0	74.4	36	
Y_{Ma}	86.77	−5.17	109.32	109.44	93	
L_{Ma}	47.13	−62.67	48.24	79.09	142	
C_{Ma}	55.66	−29.14	−31.99	43.27	228	
V_{Ma}	17.15	50.3	−59.04	77.57	310	
M_{Ma}	40.37	78.64	−33.5	85.48	337	
N_{Ma}	11.58	0.0	0.0	0.0	0	
W_{Ma}	95.02	0.0	0.0	0.0	0	
R_{Ma}	39.92	58.74	27.99	65.07	25	
J_{Ma}	81.26	−2.89	71.56	71.62	92	
G_{Ma}	52.23	−42.42	13.6	44.55	162	
B_{Ma}	30.57	1.41	−46.47	46.49	272	

	L^*_e	$L^*=L^*_a$	a^*_a	b^*_a	$C^*_{ab,a}$	$h^*_{ab,a}$	u^*_d
r00j	38.47	63.32	30.17	70.15	25	m81o	
r25j	42.12	54.56	49.45	73.64	42	o10y	
r50j	53.64	39.15	64.89	75.79	59	o40y	
r75j	67.01	21.26	82.83	85.52	76	o69y	
j00g	86.18	−4.38	108.53	108.62	92	o98y	
j25g	69.73	−29.89	83.06	88.28	110	y34l	
j50g	57.03	−48.31	63.49	79.78	127	y69l	
j75g	47.73	−60.33	42.64	73.88	145	l03c	
g00b	50.59	−49.08	15.74	51.54	162	l23c	
g25b	52.97	−39.7	−6.72	40.27	190	l55c	
g50b	54.85	−32.33	−24.35	40.48	217	l87c	
g75b	49.92	−17.29	−36.02	39.96	244	c20v	
b00r	40.91	1.28	−42.35	42.37	272	c53v	
b25r	26.81	30.38	−52.26	60.45	300	c87v	
b50r	32.52	69.06	−42.14	80.9	329	v68m	
b75r	39.48	71.47	−3.69	71.57	357	m34o	

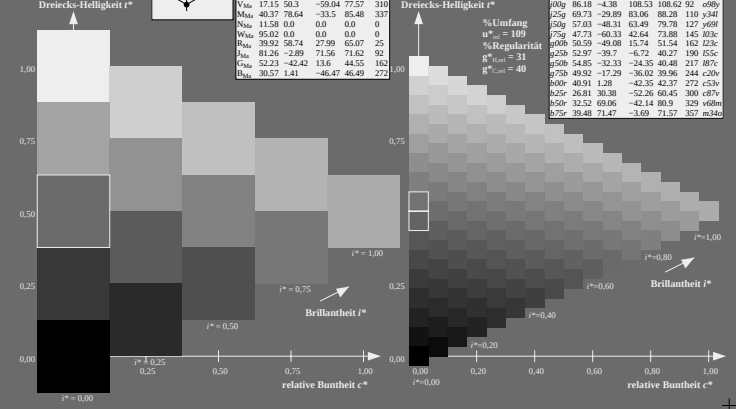

Ein und Ausgabe: Farbmetrisches Drucker-Reflektiv-System FRS12_95a für relativen CIELAB-Buntton $h^* = lab^*h^* = h_{ab}/360 = 0.527$ $u^*_e = g25b$

Daten für jede Farbe:
lab^*tch^* und lab^*icu^*
Benttontexte:
$u^*_e = g25b$ $u^*_d = I55c$
Kontrastreduzierungsfaktor:
$c_R = 1.0$
Dreiecks-Helligkeit i^*

Daten für Maximalfarbe (Ma):
$LAB^*LAB^*_{Ma}$: 53 −40 −7
$LAB^*LCH^*_{Ma}$: 53 40 189
$lab^*rgb^*_{Ma}$: 0.0 1.0 0.5
$lab^*olv^*_{Ma}$: 0.0 1.0 0.55
Dreiecks-Helligkeit i^*

FRS12_95a; adaptierte CIELAB-Daten

	L^*_e	$L^*=L^*_a$	a^*_a	b^*_a	$C^*_{ab,a}$	$h^*_{ab,a}$
O_{Ma}	38.06	60.0	44.0	74.4	36	
Y_{Ma}	86.77	−5.17	109.32	109.44	93	
L_{Ma}	47.13	−62.67	48.24	79.09	142	
C_{Ma}	55.66	−29.14	−31.99	43.27	228	
V_{Ma}	17.15	50.3	−59.04	77.57	310	
M_{Ma}	40.37	78.64	−33.5	85.48	337	
N_{Ma}	11.58	0.0	0.0	0.0	0	
W_{Ma}	95.02	0.0	0.0	0.0	0	
R_{Ma}	39.92	58.74	27.99	65.07	25	
J_{Ma}	81.26	−2.89	71.56	71.62	92	
G_{Ma}	52.23	−42.42	13.6	44.55	162	
B_{Ma}	30.57	1.41	−46.47	46.49	272	

	L^*_e	$L^*=L^*_a$	a^*_a	b^*_a	$C^*_{ab,a}$	$h^*_{ab,a}$	u^*_d
r00j	38.47	63.32	30.17	70.15	25	m81o	
r25j	42.12	54.56	49.45	73.64	42	o10y	
r50j	53.64	39.15	64.89	75.79	59	o40y	
r75j	67.01	21.26	82.83	85.52	76	o69y	
j00g	86.18	−4.38	108.53	108.62	92	o98y	
j25g	69.73	−29.89	83.06	88.28	110	y34l	
j50g	57.03	−48.31	63.49	79.78	127	y69l	
j75g	47.73	−60.33	42.64	73.88	145	l03c	
g00b	50.59	−49.08	15.74	51.54	162	l23c	
g25b	52.97	−39.7	−6.72	40.27	190	l55c	
g50b	54.85	−32.33	−24.35	40.48	217	l87c	
g75b	49.92	−17.29	−36.02	39.96	244	c20v	
b00r	40.91	1.28	−42.35	42.37	272	c53v	
b25r	26.81	30.38	−52.26	60.45	300	c87v	
b50r	32.52	69.06	−42.14	80.9	329	v68m	
b75r	39.48	71.47	−3.69	71.57	357	m34o	

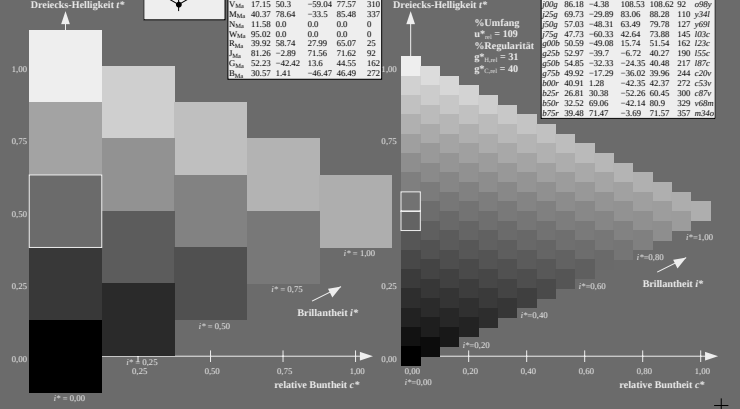

Ein und Ausgabe: Farbmetrisches Drucker-Reflektiv-System FRS12_95a für relativen CIELAB-Buntton $h^* = lab^*h^* = h_{ab}/360 = 0.603$

Daten für jede Farbe:
lab^*tch^* und lab^*icu^*
Benttontexte:
$u^*_e = g50b$ $u^*_d = I87c$
Kontrastreduzierungsfaktor:
$c_R = 1.0$
Dreiecks-Helligkeit i^*

Daten für Maximalfarbe (Ma):
$LAB^*LAB^*_{Ma}$: 55 −32 −24
$LAB^*LCH^*_{Ma}$: 55 40 216
$lab^*rgb^*_{Ma}$: 0.0 1.0 1.0
$lab^*olv^*_{Ma}$: 0.0 1.0 0.87
Dreiecks-Helligkeit i^*

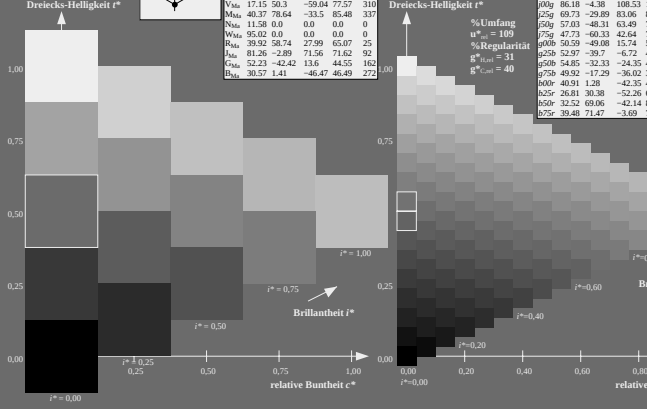

Ein und Ausgabe: Farbmetrisches Drucker-Reflektiv-System FRS12_95a für relativen CIELAB-Buntton $h^* = lab^*h^* = h_{ab}/360 = 0.679$ $u^*_e = g75b$

Daten für jede Farbe:
lab^*tch^* und lab^*icu^*
Benttontexte:
$u^*_e = g75b$ $u^*_d = c20v$
Kontrastreduzierungsfaktor:
$c_R = 1.0$
Dreiecks-Helligkeit i^*

Daten für Maximalfarbe (Ma):
$LAB^*LAB^*_{Ma}$: 50 −17 −36
$LAB^*LCH^*_{Ma}$: 50 40 244
$lab^*rgb^*_{Ma}$: 0.0 0.5 1.0
$lab^*olv^*_{Ma}$: 0.0 0.8 1.0
Dreiecks-Helligkeit i^*

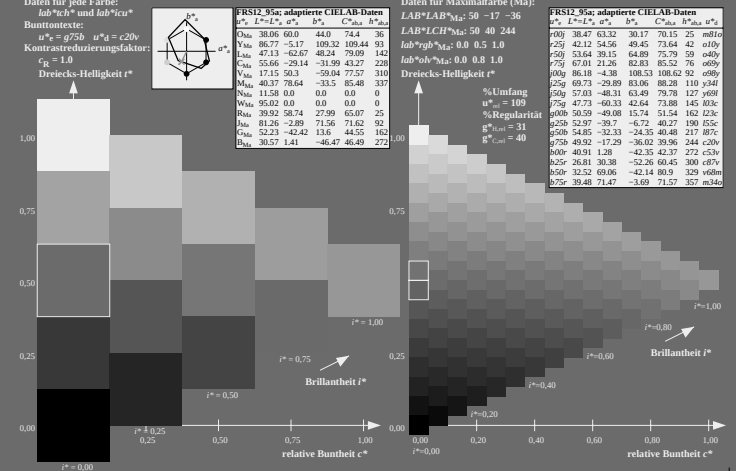

Ein und Ausgabe: Farbmetrisches Drucker-Reflektiv-System FRS12_95a für relativen CIELAB-Buntton $h^* = lab^*h^* = h_{ab}/360 = 0.755$ $u^*_e = b00r$

Daten für jede Farbe:
lab^*tch^* und lab^*icu^*
Benttontexte:
$u^*_e = b00r$ $u^*_d = c53v$
Kontrastreduzierungsfaktor:
$c_R = 1.0$
Dreiecks-Helligkeit i^*

Daten für Maximalfarbe (Ma):
$LAB^*LAB^*_{Ma}$: 41 1 −42
$LAB^*LCH^*_{Ma}$: 41 42 271
$lab^*rgb^*_{Ma}$: 0.0 0.0 1.0
$lab^*olv^*_{Ma}$: 0.0 0.47 1.0
Dreiecks-Helligkeit i^*

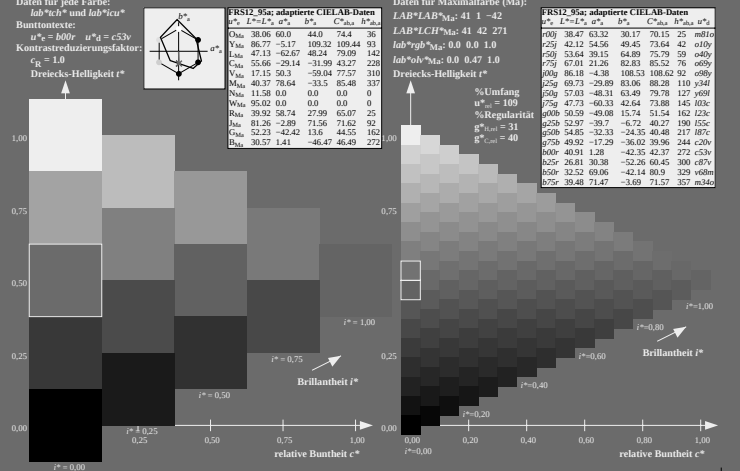

Ein und Ausgabe: Farbmetrisches Drucker-Reflektiv-System FRS12_95a für relativen CIELAB-Buntton $h^* = lab^*h^* = h_{ab}/360 = 0.834$

Daten für jede Farbe:
lab^*tch^* und lab^*icu^*
Benttontexte:
$u^*_e = b25r$ $u^*_d = c87v$
Kontrastreduzierungsfaktor:
$c_R = 1.0$
Dreiecks-Helligkeit i^*

Daten für Maximalfarbe (Ma):
$LAB^*LAB^*_{Ma}$: 27 30 −52
$LAB^*LCH^*_{Ma}$: 27 60 300
$lab^*rgb^*_{Ma}$: 0.5 0.0 1.0
$lab^*olv^*_{Ma}$: 0.0 0.12 1.0
Dreiecks-Helligkeit i^*

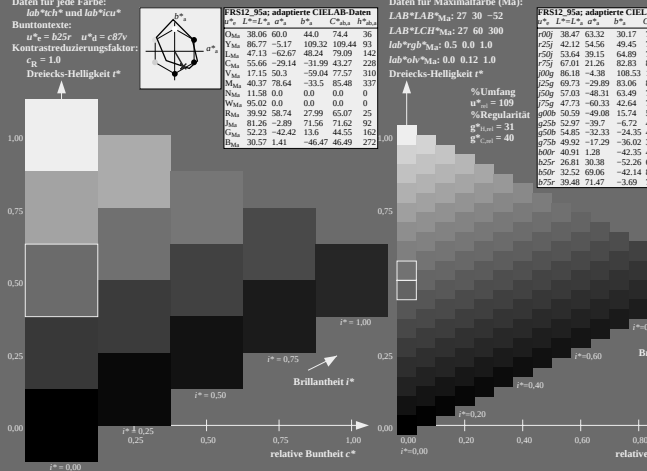

Ein und Ausgabe: Farbmetrisches Drucker-Reflektiv-System FRS12_95a für relativen CIELAB-Buntton $h^* = lab^*h^* = h_{ab}/360 = 0.913$ $u^*_e = b50r$

Daten für jede Farbe:
lab^*tch^* und lab^*icu^*
Benttontexte:
$u^*_e = b50r$ $u^*_d = v68m$
Kontrastreduzierungsfaktor:
$c_R = 1.0$
Dreiecks-Helligkeit i^*

Daten für Maximalfarbe (Ma):
$LAB^*LAB^*_{Ma}$: 33 69 −42
$LAB^*LCH^*_{Ma}$: 33 81 328
$lab^*rgb^*_{Ma}$: 1.0 0.0 1.0
$lab^*olv^*_{Ma}$: 0.69 0.0 1.0
Dreiecks-Helligkeit i^*

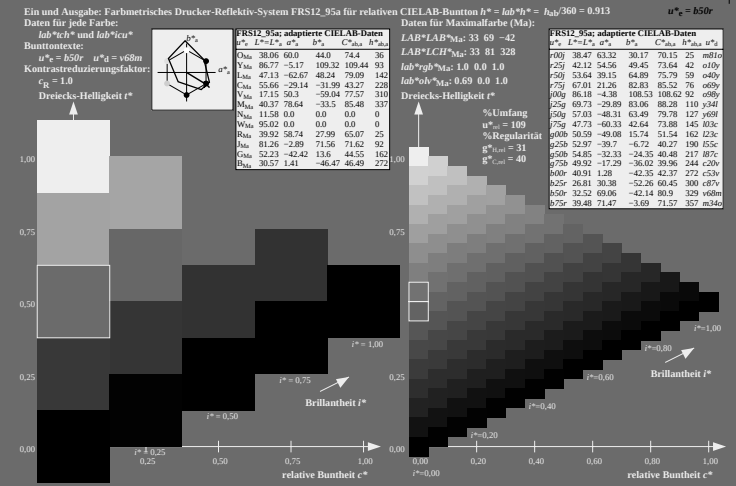

Ein und Ausgabe: Farbmetrisches Drucker-Reflektiv-System FRS12_95a für relativen CIELAB-Buntton $h^* = lab^*h^* = h_{ab}/360 = 0.992$ $u^*_e = b75r$

Daten für jede Farbe:
lab^*tch^* und lab^*icu^*
Benttontexte:
$u^*_e = b75r$ $u^*_d = m34o$
Kontrastreduzierungsfaktor:
$c_R = 1.0$
Dreiecks-Helligkeit i^*

Daten für Maximalfarbe (Ma):
$LAB^*LAB^*_{Ma}$: 39 71 −4
$LAB^*LCH^*_{Ma}$: 39 72 357
$lab^*rgb^*_{Ma}$: 1.0 0.0 0.5
$lab^*olv^*_{Ma}$: 1.0 0.0 0.66
Dreiecks-Helligkeit i^*

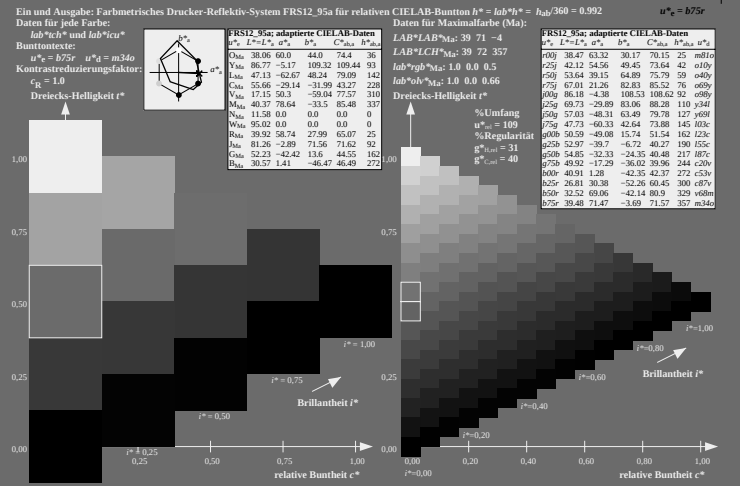

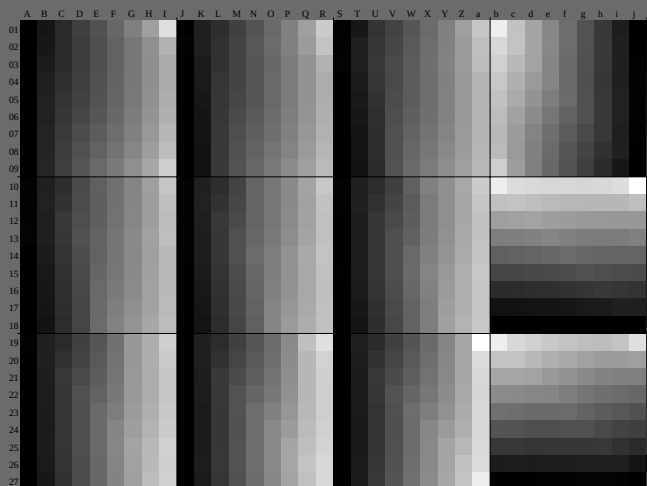

Ein und Ausgabe: Farbmetrisches Drucker-Reflektiv-System FRS12_95a für relativen CIELAB-Buntton $h^* = lab^*h^* = h_{ab}/360 = 0.451$ $u^*_e = g00b$

Daten für jede Farbe:
*lab*tch** und *lab*icu**
Benttontexte:
$\mu^*_e = g00b$ $u^*_d = I23c$
Kontrastreduzierungsfaktor:
$c_R = 1.0$
Dreiecks-Helligkeit i^*

Daten für Maximalfarbe (Ma):
$LAB^*LAB^*_{Ma}$: 51 −49 16
$LAB^*LCH^*_{Ma}$: 51 52 162
$lab^*rgb^*_{Ma}$: 0.0 1.0 0.0
$lab^*olv^*_{Ma}$: 0.0 1.0 0.23
Dreiecks-Helligkeit i^*

%Umfang $u^*_{uni} = 109$
%Regularität $g^*_{H,rel} = 31$
$g^*_{C,rel} = 40$

FRS12_95a; adaptierte CIELAB-Daten

μ^*_e	$L^*=L^*_e$	a^*_e	b^*_e	$C^*_{ab,e}$	$h^*_{ab,e}$
O_{Ma}	38.06	60.0	44.0	74.4	36
Y_{Ma}	86.77	−5.17	109.32	109.44	93
L_{Ma}	47.13	−62.67	48.24	79.09	142
C_{Ma}	55.66	−29.14	−31.99	43.27	228
V_{Ma}	17.15	50.3	−59.04	77.57	310
M_{Ma}	40.37	78.64	−33.5	85.48	337
N_{Ma}	11.58	0.0	0.0	0.0	0
W_{Ma}	95.02	0.0	0.0	0.0	0
R_{Ma}	39.92	58.74	27.99	65.07	25
J_{Ma}	81.26	−2.89	71.56	71.62	92
G_{Ma}	52.23	−42.42	13.6	44.55	162
B_{Ma}	30.57	1.41	−46.47	46.49	272

μ^*_e	$L^*=L^*_e$	a^*_e	b^*_e	$C^*_{ab,e}$	$h^*_{ab,e}$	u^*_d
r00j	38.47	63.32	30.17	70.15	25	m81o
r25j	42.12	54.56	49.45	73.64	42	o10y
r50j	53.64	39.15	64.89	75.79	59	o40y
r75j	67.01	21.26	82.83	85.52	76	o69y
j00g	86.18	−4.38	108.53	108.62	92	o98y
j25g	69.73	−29.89	83.06	88.28	110	y34l
j50g	57.03	−48.31	63.49	79.78	127	y69l
j75g	47.73	−60.33	42.64	73.88	145	l03c
g00b	50.59	−49.08	15.74	51.54	162	l23c
g25b	52.97	−39.7	−6.72	40.27	190	l55c
g50b	54.85	−32.33	−24.35	40.48	217	l87c
g75b	49.92	−17.29	−36.02	39.96	244	c20v
b00r	40.91	1.28	−42.35	42.37	272	c53v
b25r	26.81	30.38	−52.26	60.45	300	c87v
b50r	32.52	69.06	−42.14	80.9	329	v68m
b75r	39.48	71.47	−3.69	71.57	357	m34o

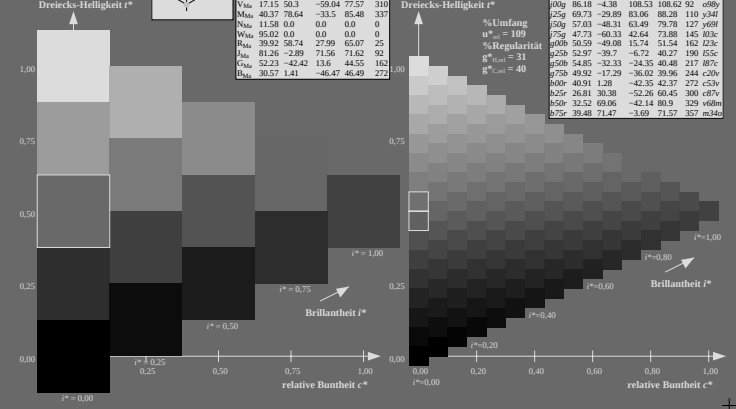

Ein und Ausgabe: Farbmetrisches Drucker-Reflektiv-System FRS12_95a für relativen CIELAB-Buntton $h^* = lab^*h^* = h_{ab}/360 = 0.527$ $u^*_e = g25b$

Daten für jede Farbe:
*lab*tch** und *lab*icu**
Benttontexte:
$\mu^*_e = g25b$ $u^*_d = I55c$
Kontrastreduzierungsfaktor:
$c_R = 1.0$
Dreiecks-Helligkeit i^*

Daten für Maximalfarbe (Ma):
$LAB^*LAB^*_{Ma}$: 53 −40 −7
$LAB^*LCH^*_{Ma}$: 53 40 189
$lab^*rgb^*_{Ma}$: 0.0 1.0 0.5
$lab^*olv^*_{Ma}$: 0.0 1.0 0.55
Dreiecks-Helligkeit i^*

%Umfang $u^*_{uni} = 109$
%Regularität $g^*_{H,rel} = 31$
$g^*_{C,rel} = 40$

FRS12_95a; adaptierte CIELAB-Daten

μ^*_e	$L^*=L^*_e$	a^*_e	b^*_e	$C^*_{ab,e}$	$h^*_{ab,e}$
O_{Ma}	38.06	60.0	44.0	74.4	36
Y_{Ma}	86.77	−5.17	109.32	109.44	93
L_{Ma}	47.13	−62.67	48.24	79.09	142
C_{Ma}	55.66	−29.14	−31.99	43.27	228
V_{Ma}	17.15	50.3	−59.04	77.57	310
M_{Ma}	40.37	78.64	−33.5	85.48	337
N_{Ma}	11.58	0.0	0.0	0.0	0
W_{Ma}	95.02	0.0	0.0	0.0	0
R_{Ma}	39.92	58.74	27.99	65.07	25
J_{Ma}	81.26	−2.89	71.56	71.62	92
G_{Ma}	52.23	−42.42	13.6	44.55	162
B_{Ma}	30.57	1.41	−46.47	46.49	272

μ^*_e	$L^*=L^*_e$	a^*_e	b^*_e	$C^*_{ab,e}$	$h^*_{ab,e}$	u^*_d
r00j	38.47	63.32	30.17	70.15	25	m81o
r25j	42.12	54.56	49.45	73.64	42	o10y
r50j	53.64	39.15	64.89	75.79	59	o40y
r75j	67.01	21.26	82.83	85.52	76	o69y
j00g	86.18	−4.38	108.53	108.62	92	o98y
j25g	69.73	−29.89	83.06	88.28	110	y34l
j50g	57.03	−48.31	63.49	79.78	127	y69l
j75g	47.73	−60.33	42.64	73.88	145	l03c
g00b	50.59	−49.08	15.74	51.54	162	l23c
g25b	52.97	−39.7	−6.72	40.27	190	l55c
g50b	54.85	−32.33	−24.35	40.48	217	l87c
g75b	49.92	−17.29	−36.02	39.96	244	c20v
b00r	40.91	1.28	−42.35	42.37	272	c53v
b25r	26.81	30.38	−52.26	60.45	300	c87v
b50r	32.52	69.06	−42.14	80.9	329	v68m
b75r	39.48	71.47	−3.69	71.57	357	m34o

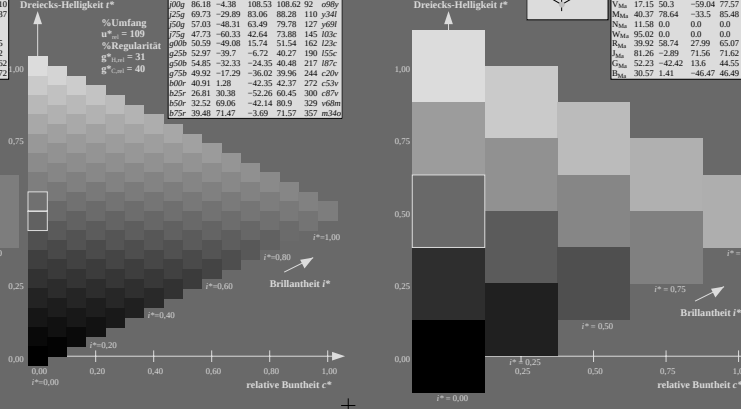

Ein und Ausgabe: Farbmetrisches Drucker-Reflektiv-System FRS12_95a für relativen CIELAB-Buntton $h^* = lab^*h^* = h_{ab}/360 = 0.603$

Daten für jede Farbe:
*lab*tch** und *lab*icu**
Benttontexte:
$\mu^*_e = g50b$ $u^*_d = I87c$
Kontrastreduzierungsfaktor:
$c_R = 1.0$
Dreiecks-Helligkeit i^*

Daten für Maximalfarbe (Ma):
$LAB^*LAB^*_{Ma}$: 55 −32 −24
$LAB^*LCH^*_{Ma}$: 55 40 216
$lab^*rgb^*_{Ma}$: 0.0 1.0 1.0
$lab^*olv^*_{Ma}$: 0.0 1.0 0.87
Dreiecks-Helligkeit i^*

%Umfang $u^*_{uni} = 109$
%Regularität $g^*_{H,rel} = 31$
$g^*_{C,rel} = 40$

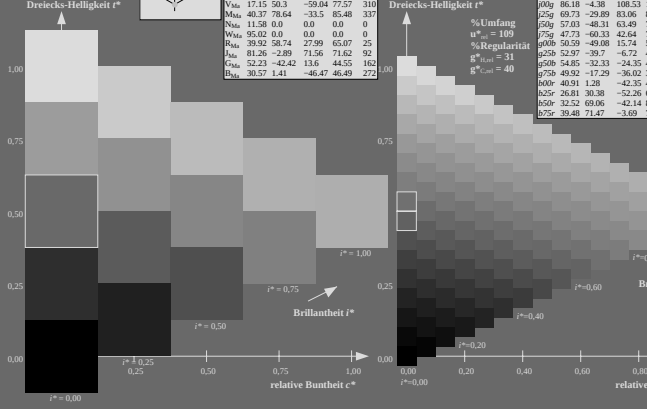

Ein und Ausgabe: Farbmetrisches Drucker-Reflektiv-System FRS12_95a für relativen CIELAB-Buntton $h^* = lab^*h^* = h_{ab}/360 = 0.679$ $u^*_e = g75b$

Daten für jede Farbe:
*lab*tch** und *lab*icu**
Benttontexte:
$\mu^*_e = g75b$ $u^*_d = c20v$
Kontrastreduzierungsfaktor:
$c_R = 1.0$
Dreiecks-Helligkeit i^*

Daten für Maximalfarbe (Ma):
$LAB^*LAB^*_{Ma}$: 50 −17 −36
$LAB^*LCH^*_{Ma}$: 50 40 244
$lab^*rgb^*_{Ma}$: 0.0 0.5 1.0
$lab^*olv^*_{Ma}$: 0.0 0.8 1.0
Dreiecks-Helligkeit i^*

%Umfang $u^*_{uni} = 109$
%Regularität $g^*_{H,rel} = 31$
$g^*_{C,rel} = 40$

FRS12_95a; adaptierte CIELAB-Daten

μ^*_e	$L^*=L^*_e$	a^*_e	b^*_e	$C^*_{ab,e}$	$h^*_{ab,e}$
O_{Ma}	38.06	60.0	44.0	74.4	36
Y_{Ma}	86.77	−5.17	109.32	109.44	93
L_{Ma}	47.13	−62.67	48.24	79.09	142
C_{Ma}	55.66	−29.14	−31.99	43.27	228
V_{Ma}	17.15	50.3	−59.04	77.57	310
M_{Ma}	40.37	78.64	−33.5	85.48	337
N_{Ma}	11.58	0.0	0.0	0.0	0
W_{Ma}	95.02	0.0	0.0	0.0	0
R_{Ma}	39.92	58.74	27.99	65.07	25
J_{Ma}	81.26	−2.89	71.56	71.62	92
G_{Ma}	52.23	−42.42	13.6	44.55	162
B_{Ma}	30.57	1.41	−46.47	46.49	272

μ^*_e	$L^*=L^*_e$	a^*_e	b^*_e	$C^*_{ab,e}$	$h^*_{ab,e}$	u^*_d
r00j	38.47	63.32	30.17	70.15	25	m81o
r25j	42.12	54.56	49.45	73.64	42	o10y
r50j	53.64	39.15	64.89	75.79	59	o40y
r75j	67.01	21.26	82.83	85.52	76	o69y
j00g	86.18	−4.38	108.53	108.62	92	o98y
j25g	69.73	−29.89	83.06	88.28	110	y34l
j50g	57.03	−48.31	63.49	79.78	127	y69l
j75g	47.73	−60.33	42.64	73.88	145	l03c
g00b	50.59	−49.08	15.74	51.54	162	l23c
g25b	52.97	−39.7	−6.72	40.27	190	l55c
g50b	54.85	−32.33	−24.35	40.48	217	l87c
g75b	49.92	−17.29	−36.02	39.96	244	c20v
b00r	40.91	1.28	−42.35	42.37	272	c53v
b25r	26.81	30.38	−52.26	60.45	300	c87v
b50r	32.52	69.06	−42.14	80.9	329	v68m
b75r	39.48	71.47	−3.69	71.57	357	m34o

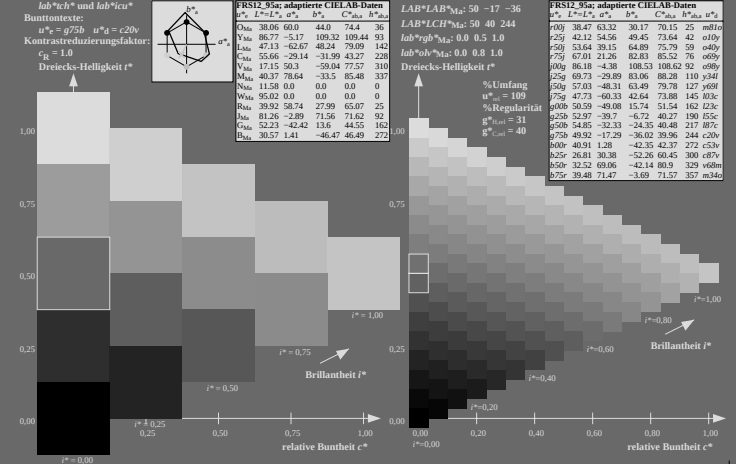

Ein und Ausgabe: Farbmetrisches Drucker-Reflektiv-System FRS12_95a für relativen CIELAB-Buntton $h^* = lab^*h^* = h_{ab}/360 = 0.755$ $u^*_e = b00r$

Daten für jede Farbe:
*lab*tch** und *lab*icu**
Benttontexte:
$\mu^*_e = b00r$ $u^*_d = c53v$
Kontrastreduzierungsfaktor:
$c_R = 1.0$
Dreiecks-Helligkeit i^*

Daten für Maximalfarbe (Ma):
$LAB^*LAB^*_{Ma}$: 41 1 −42
$LAB^*LCH^*_{Ma}$: 41 42 271
$lab^*rgb^*_{Ma}$: 0.0 0.0 1.0
$lab^*olv^*_{Ma}$: 0.0 0.47 1.0
Dreiecks-Helligkeit i^*

%Umfang $u^*_{uni} = 109$
%Regularität $g^*_{H,rel} = 31$
$g^*_{C,rel} = 40$

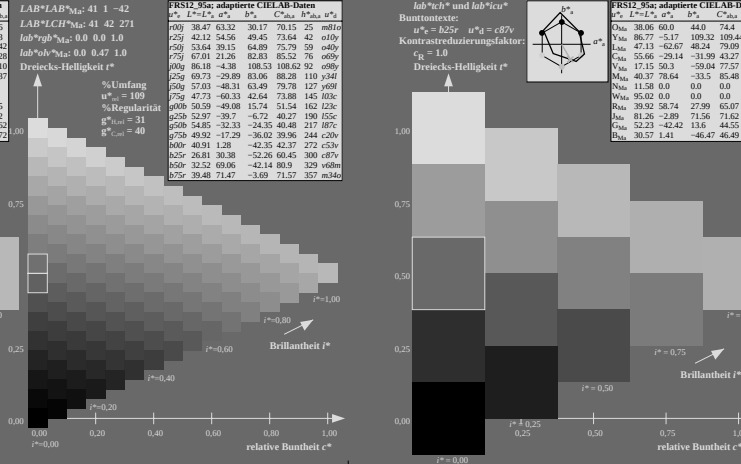

Ein und Ausgabe: Farbmetrisches Drucker-Reflektiv-System FRS12_95a für relativen CIELAB-Buntton $h^* = lab^*h^* = h_{ab}/360 = 0.834$

Daten für jede Farbe:
*lab*tch** und *lab*icu**
Benttontexte:
$\mu^*_e = b25r$ $u^*_d = c87v$
Kontrastreduzierungsfaktor:
$c_R = 1.0$
Dreiecks-Helligkeit i^*

Daten für Maximalfarbe (Ma):
$LAB^*LAB^*_{Ma}$: 27 30 −52
$LAB^*LCH^*_{Ma}$: 27 60 300
$lab^*rgb^*_{Ma}$: 0.5 0.0 1.0
$lab^*olv^*_{Ma}$: 0.0 0.12 1.0
Dreiecks-Helligkeit i^*

%Umfang $u^*_{uni} = 109$
%Regularität $g^*_{H,rel} = 31$
$g^*_{C,rel} = 40$

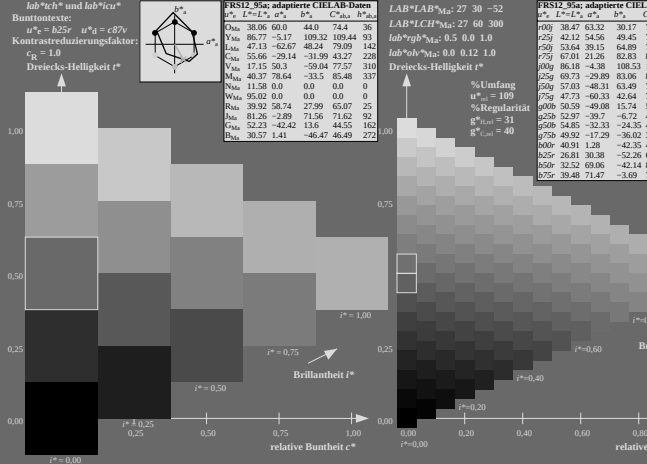

Ein und Ausgabe: Farbmetrisches Drucker-Reflektiv-System FRS12_95a für relativen CIELAB-Buntton $h^* = lab^*h^* = h_{ab}/360 = 0.913$ $u^*_e = b50r$

Daten für jede Farbe:
*lab*tch** und *lab*icu**
Benttontexte:
$\mu^*_e = b50r$ $u^*_d = v68m$
Kontrastreduzierungsfaktor:
$c_R = 1.0$
Dreiecks-Helligkeit i^*

Daten für Maximalfarbe (Ma):
$LAB^*LAB^*_{Ma}$: 33 69 −42
$LAB^*LCH^*_{Ma}$: 33 81 328
$lab^*rgb^*_{Ma}$: 1.0 0.0 1.0
$lab^*olv^*_{Ma}$: 0.69 0.0 1.0
Dreiecks-Helligkeit i^*

%Umfang $u^*_{uni} = 109$
%Regularität $g^*_{H,rel} = 31$
$g^*_{C,rel} = 40$

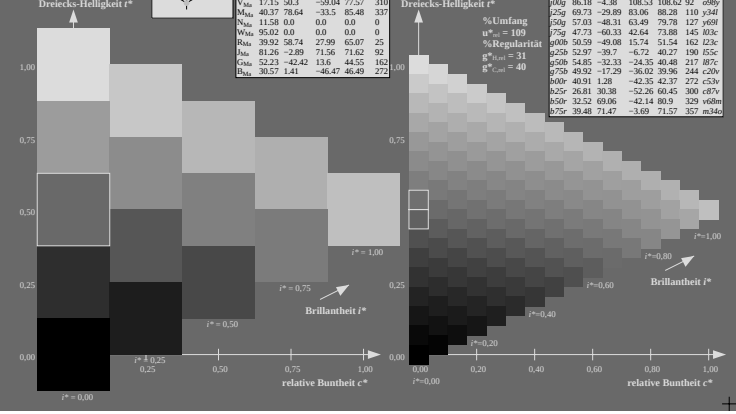

Ein und Ausgabe: Farbmetrisches Drucker-Reflektiv-System FRS12_95a für relativen CIELAB-Buntton $h^* = lab^*h^* = h_{ab}/360 = 0.992$ $u^*_e = b75r$

Daten für jede Farbe:
*lab*tch** und *lab*icu**
Benttontexte:
$\mu^*_e = b75r$ $u^*_d = m34o$
Kontrastreduzierungsfaktor:
$c_R = 1.0$
Dreiecks-Helligkeit i^*

Daten für Maximalfarbe (Ma):
$LAB^*LAB^*_{Ma}$: 39 71 −4
$LAB^*LCH^*_{Ma}$: 39 72 357
$lab^*rgb^*_{Ma}$: 1.0 0.0 0.5
$lab^*olv^*_{Ma}$: 1.0 0.0 0.66
Dreiecks-Helligkeit i^*

%Umfang $u^*_{uni} = 109$
%Regularität $g^*_{H,rel} = 31$
$g^*_{C,rel} = 40$

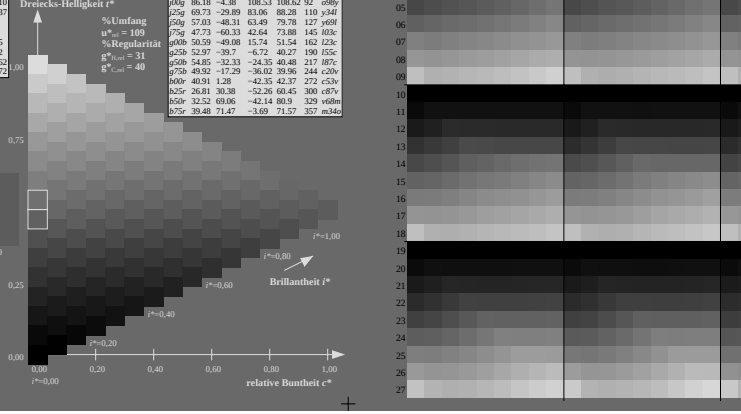

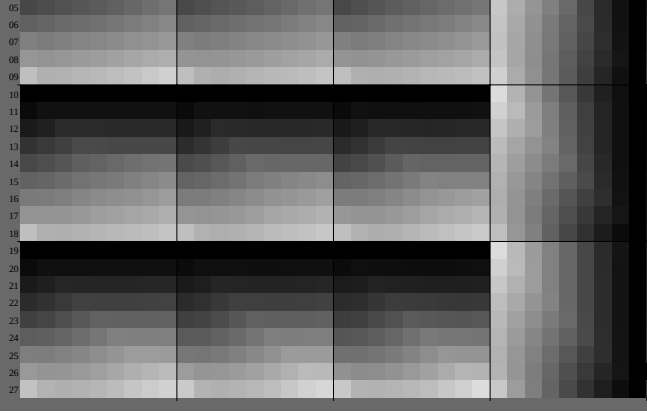

Schwarz–Separation leer

Ein und Ausgabe: Farbmetrisches Drucker-Reflektiv-System FRS12_95a für relativen CIELAB-Button $h^* = lab^*h^* = h_{ab}/360 = 0.451$

Daten für jede Farbe:
*lab*tch** und *lab*icu**
Benutztexte:
$u^*_g = g00b$ $u^*_d = I23c$
Kontrastreduzierungsfaktor:
$c_R = 1.0$
Dreiecks-Helligkeit t^*

Daten für Maximalfarbe (Ma):
$LAB^*LAB^*_{Ma}$: 51 −49 16
$LAB^*LCH^*_{Ma}$: 51 52 162
$lab^*rgb^*_{Ma}$: 0.0 1.0 0.0
$lab^*olv^*_{Ma}$: 0.0 1.0 0.23
Dreiecks-Helligkeit t^*

%Umfang $u^*_{uni} = 109$
%Regularität $g^*_{H,mi} = 31$
$g^*_{C,mi} = 40$

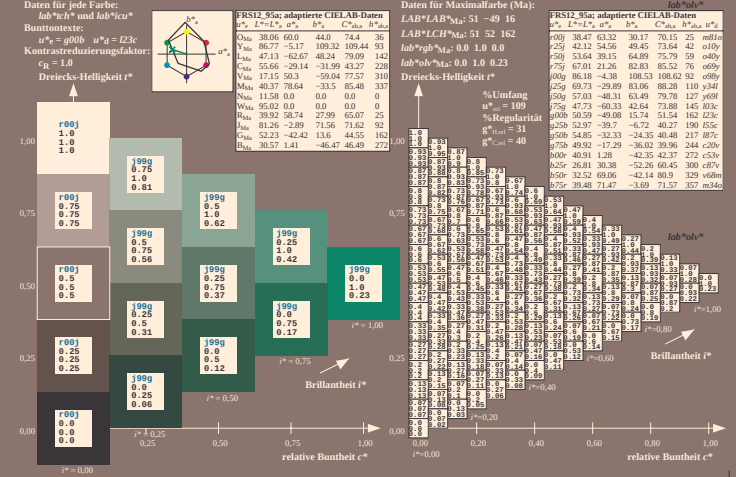

Ein und Ausgabe: Farbmetrisches Drucker-Reflektiv-System FRS12_95a für relativen CIELAB-Button $h^* = lab^*h^* = h_{ab}/360 = 0.527$

Daten für jede Farbe:
*lab*tch** und *lab*icu**
Benutztexte:
$u^*_g = g25b$ $u^*_d = I55c$
Kontrastreduzierungsfaktor:
$c_R = 1.0$
Dreiecks-Helligkeit t^*

Daten für Maximalfarbe (Ma):
$LAB^*LAB^*_{Ma}$: 53 −40 −7
$LAB^*LCH^*_{Ma}$: 53 40 189
$lab^*rgb^*_{Ma}$: 0.0 1.0 0.5
$lab^*olv^*_{Ma}$: 0.0 1.0 0.55
Dreiecks-Helligkeit t^*

%Umfang $u^*_{uni} = 109$
%Regularität $g^*_{H,mi} = 31$
$g^*_{C,mi} = 40$

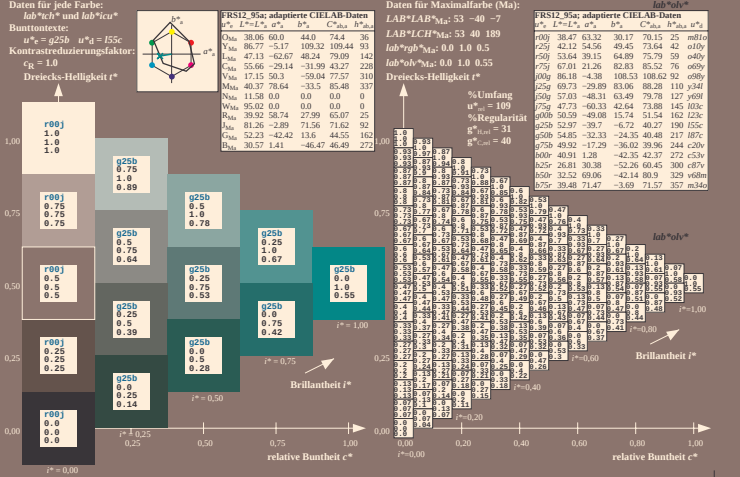

Ein und Ausgabe: Farbmetrisches Drucker-Reflektiv-System FRS12_95a für relativen CIELAB-Button $h^* = lab^*h^* = h_{ab}/360 = 0.603$

Daten für jede Farbe:
*lab*tch** und *lab*icu**
Benutztexte:
$u^*_g = g49b$ $u^*_d = I87c$
Kontrastreduzierungsfaktor:
$c_R = 1.0$
Dreiecks-Helligkeit t^*

Daten für Maximalfarbe (Ma):
$LAB^*LAB^*_{Ma}$: 55 −32 −24
$LAB^*LCH^*_{Ma}$: 55 40 216
$lab^*rgb^*_{Ma}$: 0.0 1.0 1.0
$lab^*olv^*_{Ma}$: 0.0 1.0 0.87
Dreiecks-Helligkeit t^*

%Umfang $u^*_{uni} = 109$
%Regularität $g^*_{H,mi} = 31$
$g^*_{C,mi} = 40$

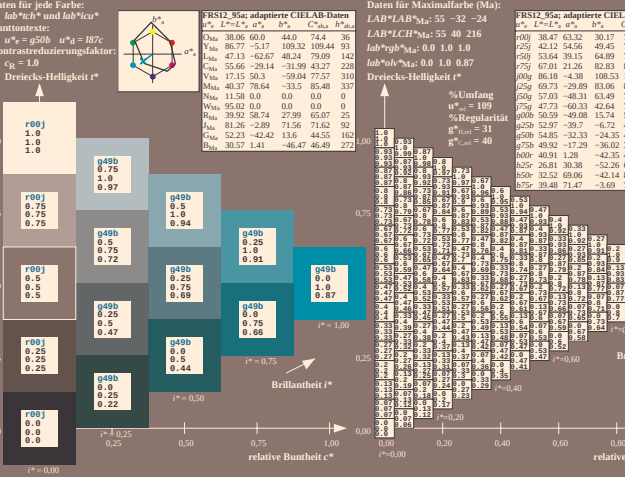

Ein und Ausgabe: Farbmetrisches Drucker-Reflektiv-System FRS12_95a für relativen CIELAB-Button $h^* = lab^*h^* = h_{ab}/360 = 0.679$

Daten für jede Farbe:
*lab*tch** und *lab*icu**
Benutztexte:
$u^*_g = g75b$ $u^*_d = c20v$
Kontrastreduzierungsfaktor:
$c_R = 1.0$
Dreiecks-Helligkeit t^*

Daten für Maximalfarbe (Ma):
$LAB^*LAB^*_{Ma}$: 50 −17 −36
$LAB^*LCH^*_{Ma}$: 50 40 244
$lab^*rgb^*_{Ma}$: 0.0 0.5 1.0
$lab^*olv^*_{Ma}$: 0.0 0.8 1.0
Dreiecks-Helligkeit t^*

%Umfang $u^*_{uni} = 109$
%Regularität $g^*_{H,mi} = 31$
$g^*_{C,mi} = 40$

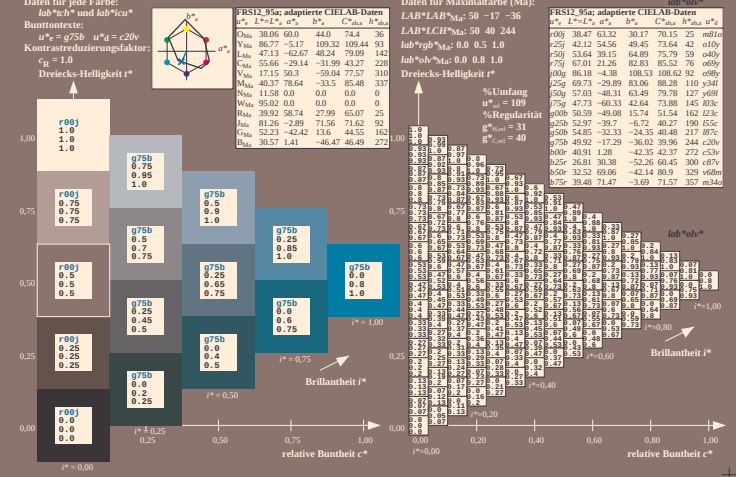

Ein und Ausgabe: Farbmetrisches Drucker-Reflektiv-System FRS12_95a für relativen CIELAB-Button $h^* = lab^*h^* = h_{ab}/360 = 0.755$

Daten für jede Farbe:
*lab*tch** und *lab*icu**
Benutztexte:
$u^*_g = b00r$ $u^*_d = c53v$
Kontrastreduzierungsfaktor:
$c_R = 1.0$
Dreiecks-Helligkeit t^*

Daten für Maximalfarbe (Ma):
$LAB^*LAB^*_{Ma}$: 41 1 −42
$LAB^*LCH^*_{Ma}$: 41 42 271
$lab^*rgb^*_{Ma}$: 0.0 0.0 1.0
$lab^*olv^*_{Ma}$: 0.0 0.47 1.0
Dreiecks-Helligkeit t^*

%Umfang $u^*_{uni} = 109$
%Regularität $g^*_{H,mi} = 31$
$g^*_{C,mi} = 40$

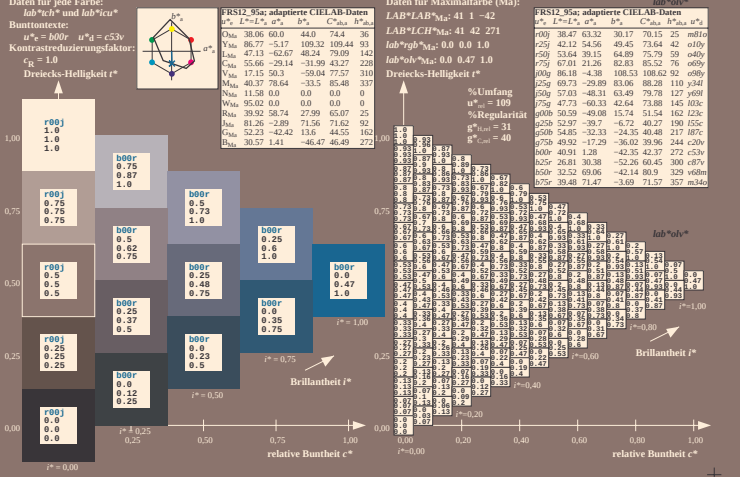

Ein und Ausgabe: Farbmetrisches Drucker-Reflektiv-System FRS12_95a für relativen CIELAB-Button $h^* = lab^*h^* = h_{ab}/360 = 0.834$

Daten für jede Farbe:
*lab*tch** und *lab*icu**
Benutztexte:
$u^*_g = b25r$ $u^*_d = c87v$
Kontrastreduzierungsfaktor:
$c_R = 1.0$
Dreiecks-Helligkeit t^*

Daten für Maximalfarbe (Ma):
$LAB^*LAB^*_{Ma}$: 27 30 −52
$LAB^*LCH^*_{Ma}$: 27 60 300
$lab^*rgb^*_{Ma}$: 0.5 0.0 1.0
$lab^*olv^*_{Ma}$: 0.0 0.12 1.0
Dreiecks-Helligkeit t^*

%Umfang $u^*_{uni} = 109$
%Regularität $g^*_{H,mi} = 31$
$g^*_{C,mi} = 40$

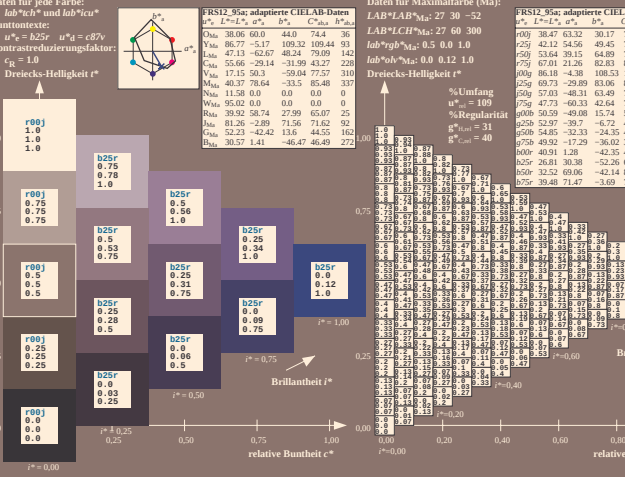

Ein und Ausgabe: Farbmetrisches Drucker-Reflektiv-System FRS12_95a für relativen CIELAB-Button $h^* = lab^*h^* = h_{ab}/360 = 0.913$

Daten für jede Farbe:
*lab*tch** und *lab*icu**
Benutztexte:
$u^*_g = b50r$ $u^*_d = v68m$
Kontrastreduzierungsfaktor:
$c_R = 1.0$
Dreiecks-Helligkeit t^*

Daten für Maximalfarbe (Ma):
$LAB^*LAB^*_{Ma}$: 33 69 −42
$LAB^*LCH^*_{Ma}$: 33 81 328
$lab^*rgb^*_{Ma}$: 1.0 0.0 1.0
$lab^*olv^*_{Ma}$: 0.69 0.0 1.0
Dreiecks-Helligkeit t^*

%Umfang $u^*_{uni} = 109$
%Regularität $g^*_{H,mi} = 31$
$g^*_{C,mi} = 40$

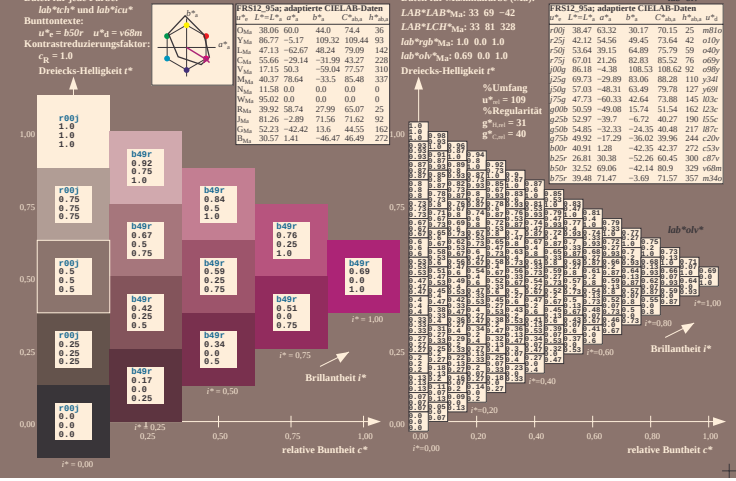

Ein und Ausgabe: Farbmetrisches Drucker-Reflektiv-System FRS12_95a für relativen CIELAB-Button $h^* = lab^*h^* = h_{ab}/360 = 0.992$

Daten für jede Farbe:
*lab*tch** und *lab*icu**
Benutztexte:
$u^*_g = b75r$ $u^*_d = m34o$
Kontrastreduzierungsfaktor:
$c_R = 1.0$
Dreiecks-Helligkeit t^*

Daten für Maximalfarbe (Ma):
$LAB^*LAB^*_{Ma}$: 39 71 −4
$LAB^*LCH^*_{Ma}$: 39 72 357
$lab^*rgb^*_{Ma}$: 1.0 0.0 0.5
$lab^*olv^*_{Ma}$: 1.0 0.0 0.66
Dreiecks-Helligkeit t^*

%Umfang $u^*_{uni} = 109$
%Regularität $g^*_{H,mi} = 31$
$g^*_{C,mi} = 40$

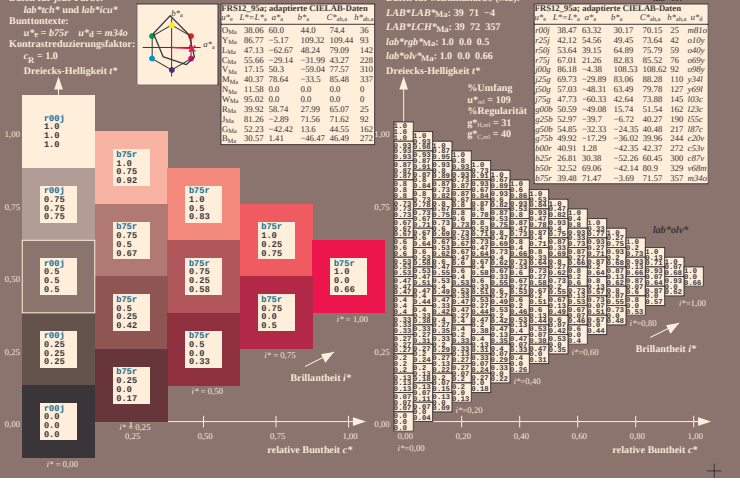

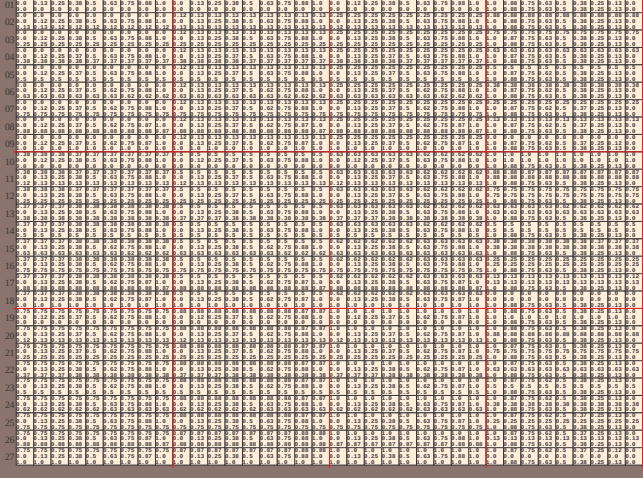

Ein und Ausgabe: Farbmetrisches Drucker-Reflektiv-System FRS12_95a für relativen CIELAB-Buntton $h^* = lab^*h^* = h_{ab}/360 = 0.451$

Daten für jede Farbe:
*lab*tch** und *lab*icu**
Buntton:
$u^*_g = g00b$ $u^*_d = I23c$
Kontrastreduzierungsfaktor:
$c_R = 1.0$
Dreiecks-Helligkeit t^*

Daten für Maximalfarbe (Ma):
$LAB^*LAB^*_{Ma}$: 51 −49 16
$LAB^*LCH^*_{Ma}$: 51 52 162
$lab^*rgb^*_{Ma}$: 0.0 1.0 0.0
$lab^*olv^*_{Ma}$: 0.0 1.0 0.23
Dreiecks-Helligkeit t^*

%Umfang $u^*_{uni} = 109$
%Regularität $g^*_{H,uni} = 31$
$g^*_{C,uni} = 40$

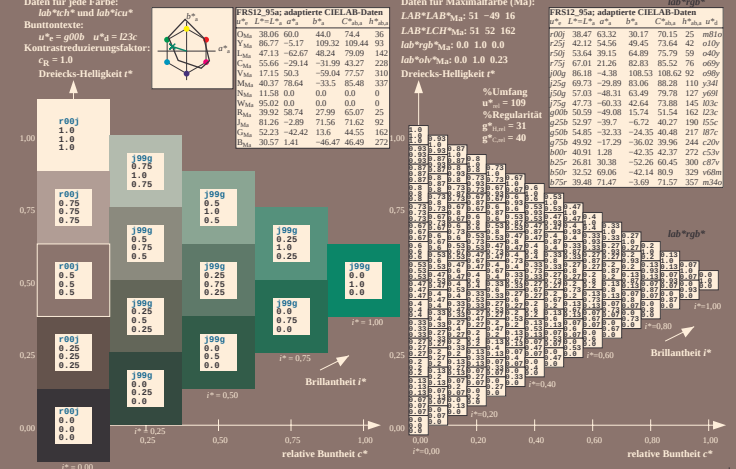

Ein und Ausgabe: Farbmetrisches Drucker-Reflektiv-System FRS12_95a für relativen CIELAB-Buntton $h^* = lab^*h^* = h_{ab}/360 = 0.527$

Daten für jede Farbe:
*lab*tch** und *lab*icu**
Buntton:
$u^*_g = I55c$ $u^*_d = g25b$
Kontrastreduzierungsfaktor:
$c_R = 1.0$
Dreiecks-Helligkeit t^*

Daten für Maximalfarbe (Ma):
$LAB^*LAB^*_{Ma}$: 53 −40 −7
$LAB^*LCH^*_{Ma}$: 53 40 189
$lab^*rgb^*_{Ma}$: 0.0 1.0 0.5
$lab^*olv^*_{Ma}$: 0.0 1.0 0.55
Dreiecks-Helligkeit t^*

%Umfang $u^*_{uni} = 109$
%Regularität $g^*_{H,uni} = 31$
$g^*_{C,uni} = 40$

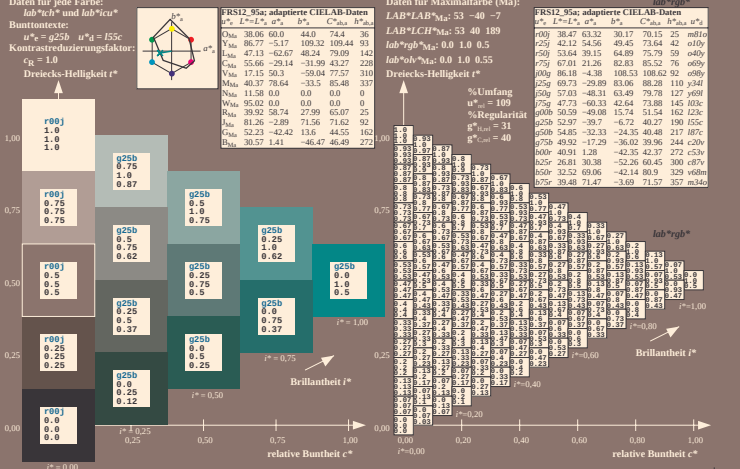

Ein und Ausgabe: Farbmetrisches Drucker-Reflektiv-System FRS12_95a für relativen CIELAB-Buntton $h^* = lab^*h^* = h_{ab}/360 = 0.603$

Daten für jede Farbe:
*lab*tch** und *lab*icu**
Buntton:
$u^*_g = I87c$ $u^*_d = g49b$
Kontrastreduzierungsfaktor:
$c_R = 1.0$
Dreiecks-Helligkeit t^*

Daten für Maximalfarbe (Ma):
$LAB^*LAB^*_{Ma}$: 55 −32 −24
$LAB^*LCH^*_{Ma}$: 55 40 216
$lab^*rgb^*_{Ma}$: 0.0 1.0 1.0
$lab^*olv^*_{Ma}$: 0.0 1.0 0.87
Dreiecks-Helligkeit t^*

%Umfang $u^*_{uni} = 109$
%Regularität $g^*_{H,uni} = 31$
$g^*_{C,uni} = 40$

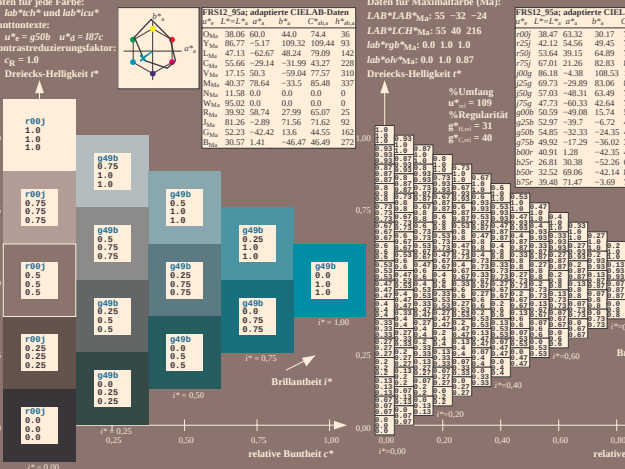

Ein und Ausgabe: Farbmetrisches Drucker-Reflektiv-System FRS12_95a für relativen CIELAB-Buntton $h^* = lab^*h^* = h_{ab}/360 = 0.679$

Daten für jede Farbe:
*lab*tch** und *lab*icu**
Buntton:
$u^*_g = g75b$ $u^*_d = c20v$
Kontrastreduzierungsfaktor:
$c_R = 1.0$
Dreiecks-Helligkeit t^*

Daten für Maximalfarbe (Ma):
$LAB^*LAB^*_{Ma}$: 50 −17 −36
$LAB^*LCH^*_{Ma}$: 50 40 244
$lab^*rgb^*_{Ma}$: 0.0 0.5 1.0
$lab^*olv^*_{Ma}$: 0.0 0.8 1.0
Dreiecks-Helligkeit t^*

%Umfang $u^*_{uni} = 109$
%Regularität $g^*_{H,uni} = 31$
$g^*_{C,uni} = 40$

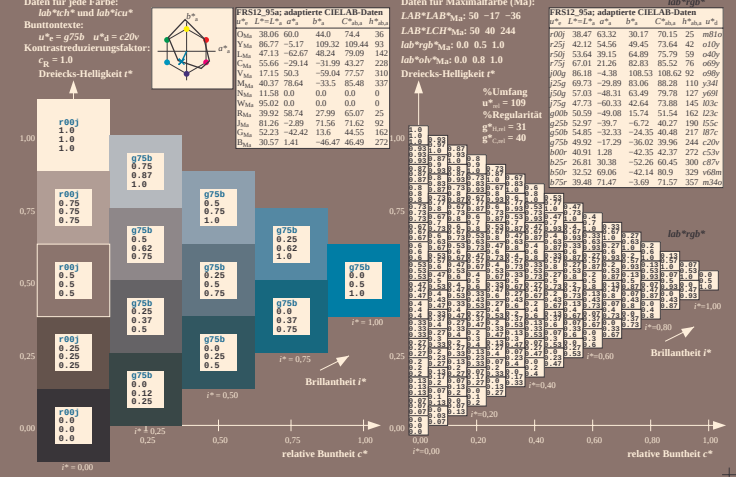

Ein und Ausgabe: Farbmetrisches Drucker-Reflektiv-System FRS12_95a für relativen CIELAB-Buntton $h^* = lab^*h^* = h_{ab}/360 = 0.755$

Daten für jede Farbe:
*lab*tch** und *lab*icu**
Buntton:
$u^*_g = b00r$ $u^*_d = c53v$
Kontrastreduzierungsfaktor:
$c_R = 1.0$
Dreiecks-Helligkeit t^*

Daten für Maximalfarbe (Ma):
$LAB^*LAB^*_{Ma}$: 41 1 −42
$LAB^*LCH^*_{Ma}$: 41 42 271
$lab^*rgb^*_{Ma}$: 0.0 0.0 1.0
$lab^*olv^*_{Ma}$: 0.0 0.47 1.0
Dreiecks-Helligkeit t^*

%Umfang $u^*_{uni} = 109$
%Regularität $g^*_{H,uni} = 31$
$g^*_{C,uni} = 40$

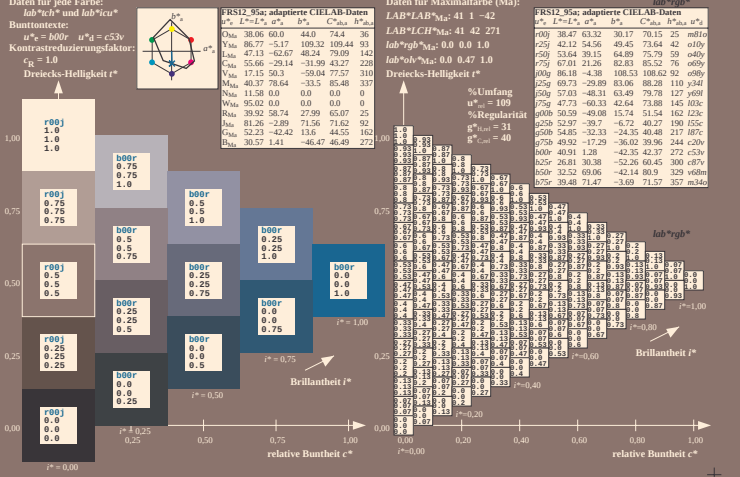

Ein und Ausgabe: Farbmetrisches Drucker-Reflektiv-System FRS12_95a für relativen CIELAB-Buntton $h^* = lab^*h^* = h_{ab}/360 = 0.834$

Daten für jede Farbe:
*lab*tch** und *lab*icu**
Buntton:
$u^*_g = b25r$ $u^*_d = c87v$
Kontrastreduzierungsfaktor:
$c_R = 1.0$
Dreiecks-Helligkeit t^*

Daten für Maximalfarbe (Ma):
$LAB^*LAB^*_{Ma}$: 27 30 −52
$LAB^*LCH^*_{Ma}$: 27 60 300
$lab^*rgb^*_{Ma}$: 0.5 0.0 1.0
$lab^*olv^*_{Ma}$: 0.0 0.12 1.0
Dreiecks-Helligkeit t^*

%Umfang $u^*_{uni} = 109$
%Regularität $g^*_{H,uni} = 31$
$g^*_{C,uni} = 40$

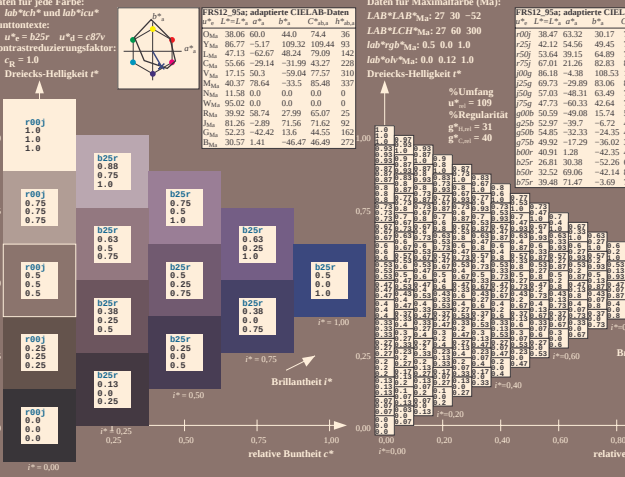

Ein und Ausgabe: Farbmetrisches Drucker-Reflektiv-System FRS12_95a für relativen CIELAB-Buntton $h^* = lab^*h^* = h_{ab}/360 = 0.913$

Daten für jede Farbe:
*lab*tch** und *lab*icu**
Buntton:
$u^*_g = b50r$ $u^*_d = v68m$
Kontrastreduzierungsfaktor:
$c_R = 1.0$
Dreiecks-Helligkeit t^*

Daten für Maximalfarbe (Ma):
$LAB^*LAB^*_{Ma}$: 33 69 −42
$LAB^*LCH^*_{Ma}$: 33 81 328
$lab^*rgb^*_{Ma}$: 1.0 0.0 1.0
$lab^*olv^*_{Ma}$: 0.69 0.0 1.0
Dreiecks-Helligkeit t^*

%Umfang $u^*_{uni} = 109$
%Regularität $g^*_{H,uni} = 31$
$g^*_{C,uni} = 40$

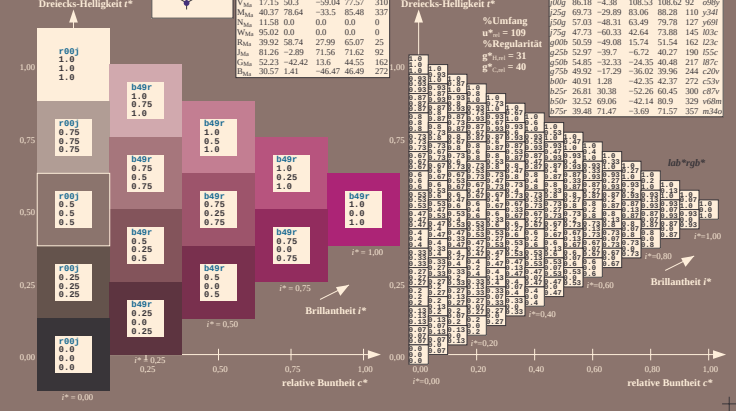

Ein und Ausgabe: Farbmetrisches Drucker-Reflektiv-System FRS12_95a für relativen CIELAB-Buntton $h^* = lab^*h^* = h_{ab}/360 = 0.992$

Daten für jede Farbe:
*lab*tch** und *lab*icu**
Buntton:
$u^*_g = b75r$ $u^*_d = m34o$
Kontrastreduzierungsfaktor:
$c_R = 1.0$
Dreiecks-Helligkeit t^*

Daten für Maximalfarbe (Ma):
$LAB^*LAB^*_{Ma}$: 39 71 −4
$LAB^*LCH^*_{Ma}$: 39 72 357
$lab^*rgb^*_{Ma}$: 1.0 0.0 0.5
$lab^*olv^*_{Ma}$: 1.0 0.0 0.66
Dreiecks-Helligkeit t^*

%Umfang $u^*_{uni} = 109$
%Regularität $g^*_{H,uni} = 31$
$g^*_{C,uni} = 40$

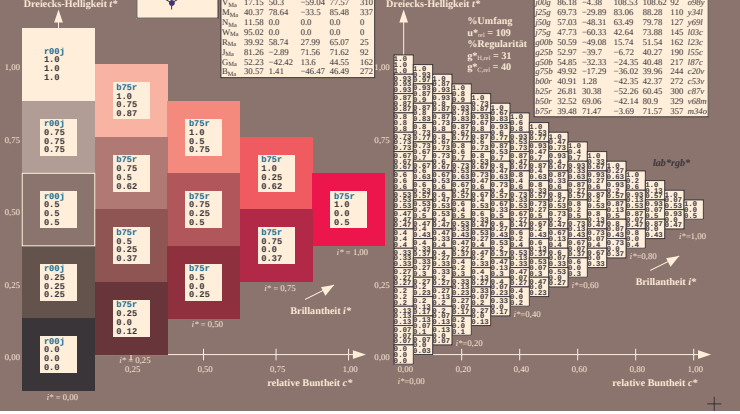

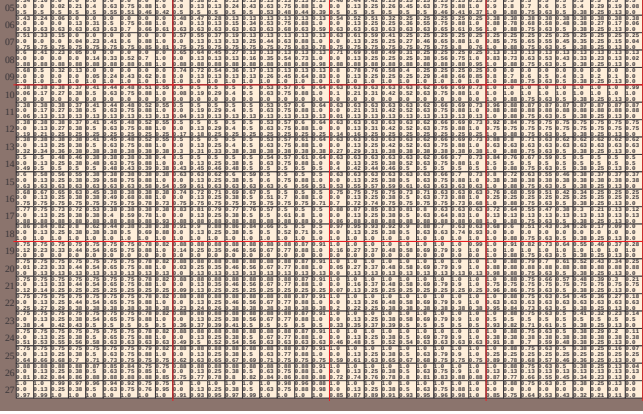

Ein und Ausgabe: Farbmetrisches Drucker-Reflektiv-System FRS12_95a für relativen CIELAB-Buntton $h^* = lab^*h^* = h_{ab}/360 = 0.451$

Daten für jede Farbe:
*lab*ch** und *lab*icu**
Buntton-texte:
$u^*_g = g00b$ $u^*_d = I23c$
Kontrastreduzierungsfaktor:
$c_R = 1.0$
Dreiecks-Helligkeit t^*

Daten für Maximalfarbe (Ma):
$LAB^*LAB^*_{Ma}$: 51 −49 16
$LAB^*LCH^*_{Ma}$: 51 52 162
$lab^*rgb^*_{Ma}$: 0.0 1.0 0.0
$lab^*olv^*_{Ma}$: 0.0 1.0 0.23
Dreiecks-Helligkeit t^*

$u^*_w = g00b$
$LAB^*LAB^*_w$

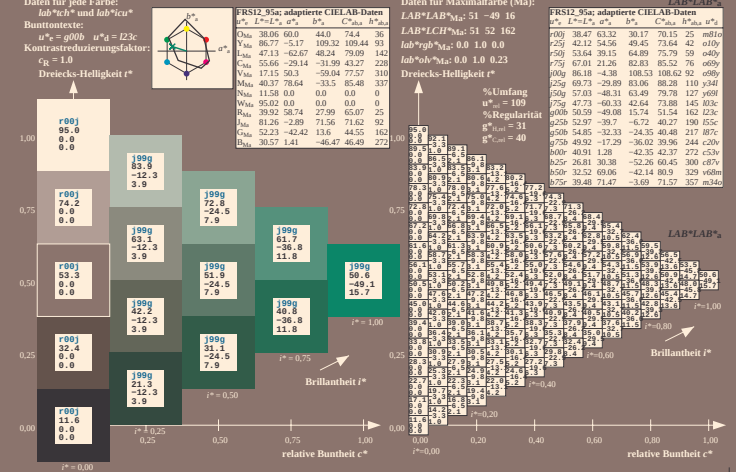

Ein und Ausgabe: Farbmetrisches Drucker-Reflektiv-System FRS12_95a für relativen CIELAB-Buntton $h^* = lab^*h^* = h_{ab}/360 = 0.527$

Daten für jede Farbe:
*lab*ch** und *lab*icu**
Buntton-texte:
$u^*_g = I55c$ $u^*_d = g25b$
Kontrastreduzierungsfaktor:
$c_R = 1.0$
Dreiecks-Helligkeit t^*

Daten für Maximalfarbe (Ma):
$LAB^*LAB^*_{Ma}$: 53 −40 −7
$LAB^*LCH^*_{Ma}$: 53 40 189
$lab^*rgb^*_{Ma}$: 0.0 1.0 0.5
$lab^*olv^*_{Ma}$: 0.0 1.0 0.55
Dreiecks-Helligkeit t^*

$u^*_w = g25b$
$LAB^*LAB^*_w$

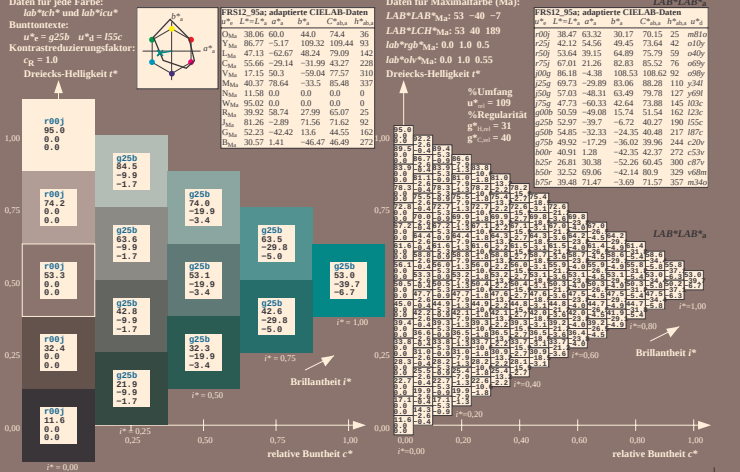

Ein und Ausgabe: Farbmetrisches Drucker-Reflektiv-System FRS12_95a für relativen CIELAB-Buntton $h^* = lab^*h^* = h_{ab}/360 = 0.603$

Daten für jede Farbe:
*lab*ch** und *lab*icu**
Buntton-texte:
$u^*_g = g50b$ $u^*_d = I87c$
Kontrastreduzierungsfaktor:
$c_R = 1.0$
Dreiecks-Helligkeit t^*

Daten für Maximalfarbe (Ma):
$LAB^*LAB^*_{Ma}$: 55 −32 −24
$LAB^*LCH^*_{Ma}$: 55 40 216
$lab^*rgb^*_{Ma}$: 0.0 1.0 1.0
$lab^*olv^*_{Ma}$: 0.0 1.0 0.87
Dreiecks-Helligkeit t^*

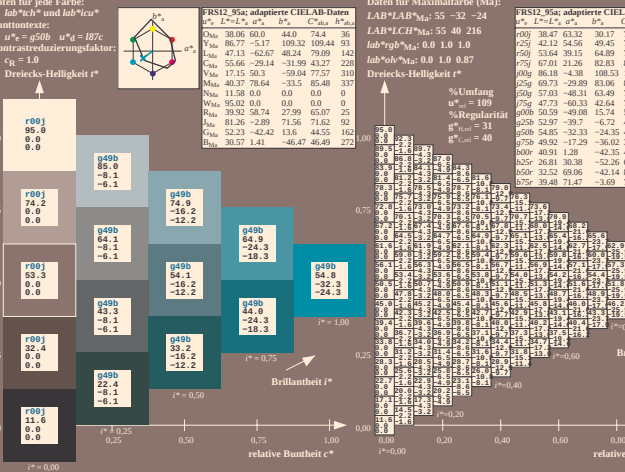

Ein und Ausgabe: Farbmetrisches Drucker-Reflektiv-System FRS12_95a für relativen CIELAB-Buntton $h^* = lab^*h^* = h_{ab}/360 = 0.679$

Daten für jede Farbe:
*lab*ch** und *lab*icu**
Buntton-texte:
$u^*_g = g75b$ $u^*_d = c20v$
Kontrastreduzierungsfaktor:
$c_R = 1.0$
Dreiecks-Helligkeit t^*

Daten für Maximalfarbe (Ma):
$LAB^*LAB^*_{Ma}$: 50 −17 −36
$LAB^*LCH^*_{Ma}$: 50 40 244
$lab^*rgb^*_{Ma}$: 0.0 0.5 1.0
$lab^*olv^*_{Ma}$: 0.0 0.8 1.0
Dreiecks-Helligkeit t^*

$u^*_w = g75b$
$LAB^*LAB^*_w$

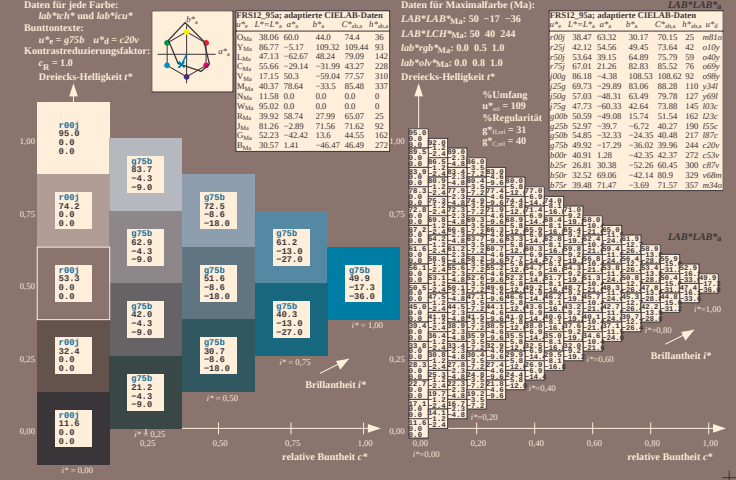

Ein und Ausgabe: Farbmetrisches Drucker-Reflektiv-System FRS12_95a für relativen CIELAB-Buntton $h^* = lab^*h^* = h_{ab}/360 = 0.755$

Daten für jede Farbe:
*lab*ch** und *lab*icu**
Buntton-texte:
$u^*_g = b00r$ $u^*_d = c53v$
Kontrastreduzierungsfaktor:
$c_R = 1.0$
Dreiecks-Helligkeit t^*

Daten für Maximalfarbe (Ma):
$LAB^*LAB^*_{Ma}$: 41 1 −42
$LAB^*LCH^*_{Ma}$: 41 42 271
$lab^*rgb^*_{Ma}$: 0.0 0.0 1.0
$lab^*olv^*_{Ma}$: 0.0 0.47 1.0
Dreiecks-Helligkeit t^*

$u^*_w = b00r$
$LAB^*LAB^*_w$

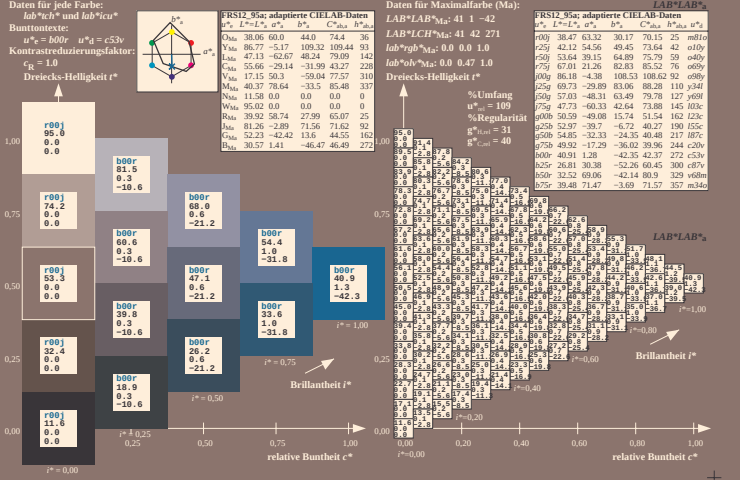

Ein und Ausgabe: Farbmetrisches Drucker-Reflektiv-System FRS12_95a für relativen CIELAB-Buntton $h^* = lab^*h^* = h_{ab}/360 = 0.834$

Daten für jede Farbe:
*lab*ch** und *lab*icu**
Buntton-texte:
$u^*_g = b25r$ $u^*_d = c87v$
Kontrastreduzierungsfaktor:
$c_R = 1.0$
Dreiecks-Helligkeit t^*

Daten für Maximalfarbe (Ma):
$LAB^*LAB^*_{Ma}$: 27 30 −52
$LAB^*LCH^*_{Ma}$: 27 60 300
$lab^*rgb^*_{Ma}$: 0.5 0.0 1.0
$lab^*olv^*_{Ma}$: 0.0 0.12 1.0
Dreiecks-Helligkeit t^*

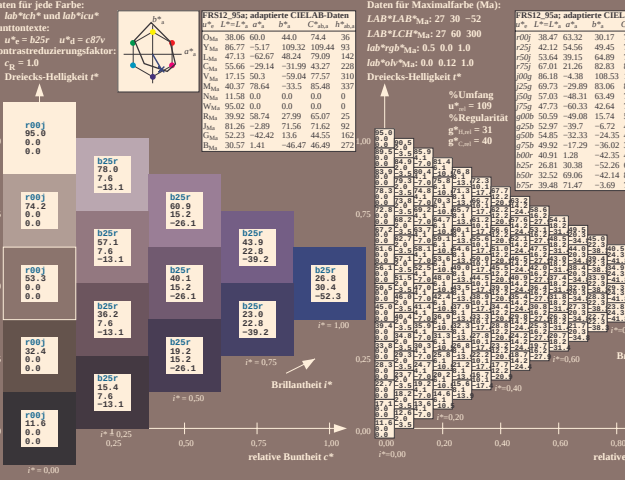

Ein und Ausgabe: Farbmetrisches Drucker-Reflektiv-System FRS12_95a für relativen CIELAB-Buntton $h^* = lab^*h^* = h_{ab}/360 = 0.913$

Daten für jede Farbe:
*lab*ch** und *lab*icu**
Buntton-texte:
$u^*_g = b50r$ $u^*_d = v68m$
Kontrastreduzierungsfaktor:
$c_R = 1.0$
Dreiecks-Helligkeit t^*

Daten für Maximalfarbe (Ma):
$LAB^*LAB^*_{Ma}$: 33 69 −42
$LAB^*LCH^*_{Ma}$: 33 81 328
$lab^*rgb^*_{Ma}$: 1.0 0.0 1.0
$lab^*olv^*_{Ma}$: 0.69 0.0 1.0
Dreiecks-Helligkeit t^*

$u^*_w = b50r$
$LAB^*LAB^*_w$

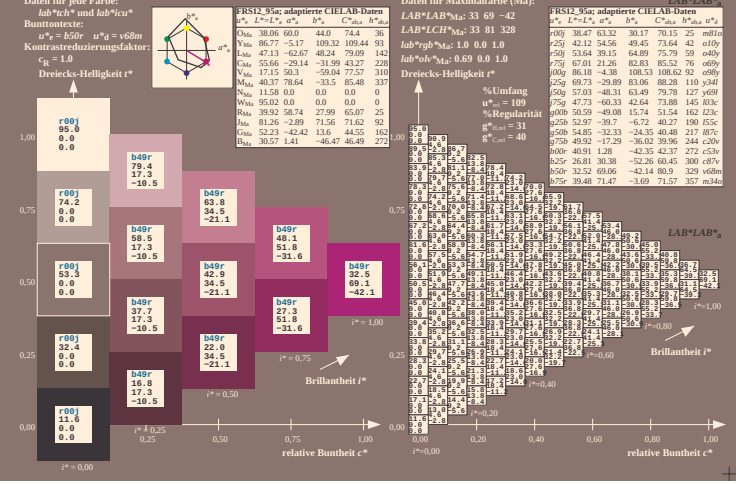

Ein und Ausgabe: Farbmetrisches Drucker-Reflektiv-System FRS12_95a für relativen CIELAB-Buntton $h^* = lab^*h^* = h_{ab}/360 = 0.992$

Daten für jede Farbe:
*lab*ch** und *lab*icu**
Buntton-texte:
$u^*_g = b75r$ $u^*_d = m34o$
Kontrastreduzierungsfaktor:
$c_R = 1.0$
Dreiecks-Helligkeit t^*

Daten für Maximalfarbe (Ma):
$LAB^*LAB^*_{Ma}$: 39 71 −4
$LAB^*LCH^*_{Ma}$: 39 72 357
$lab^*rgb^*_{Ma}$: 1.0 0.0 0.5
$lab^*olv^*_{Ma}$: 1.0 0.0 0.66
Dreiecks-Helligkeit t^*

$u^*_w = b75r$
$LAB^*LAB^*_w$

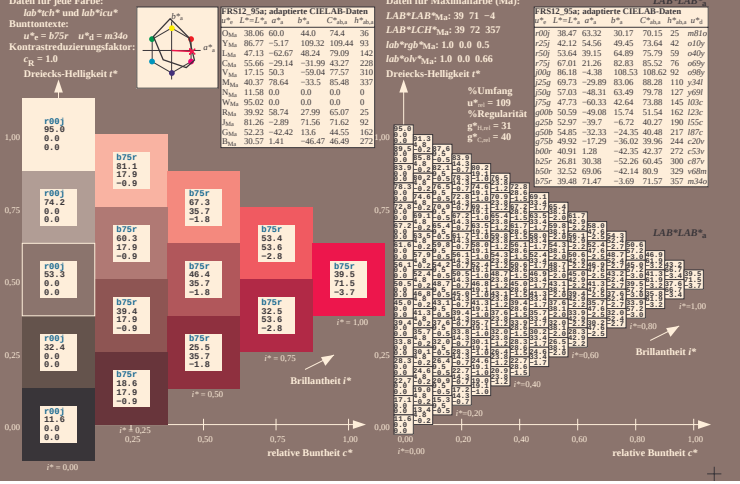

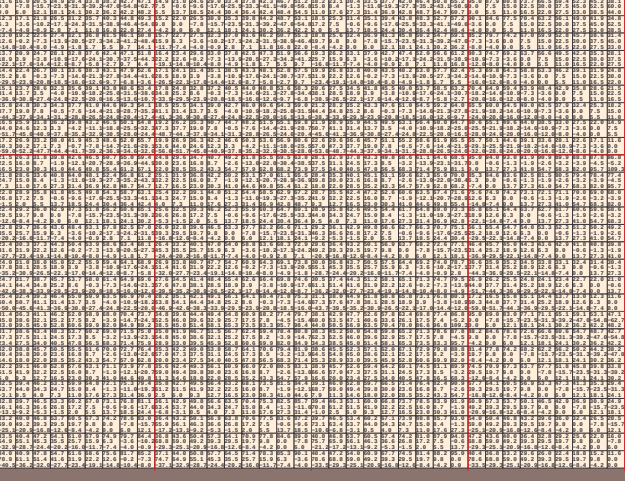

Ein und Ausgabe: Farbmetrisches Drucker-Reflektiv-System FRS12_95a für relativen CIELAB-Button $h^* = lab^*h^* = h_{ab}/360 = 0.451$

Daten für jede Farbe:
*lab*ch** und *lab*icu**
Benutztexte:
$u^*_F = g00b$ $u^*_d = I23c$
Kontrastreduzierungsfaktor:
$c_R = 1.0$
Dreiecks-Helligkeit t^*

Daten für Maximalfarbe (Ma):
$LAB^*LAB^*_{Ma}$: 51 −49 16
$LAB^*LCH^*_{Ma}$: 51 52 162
$lab^*rgb^*_{Ma}$: 0.0 1.0 0.0
$lab^*olv^*_{Ma}$: 0.0 1.0 0.23
Dreiecks-Helligkeit t^*

$u^*_F = g00b$
$LAB^*LCH^*_a$

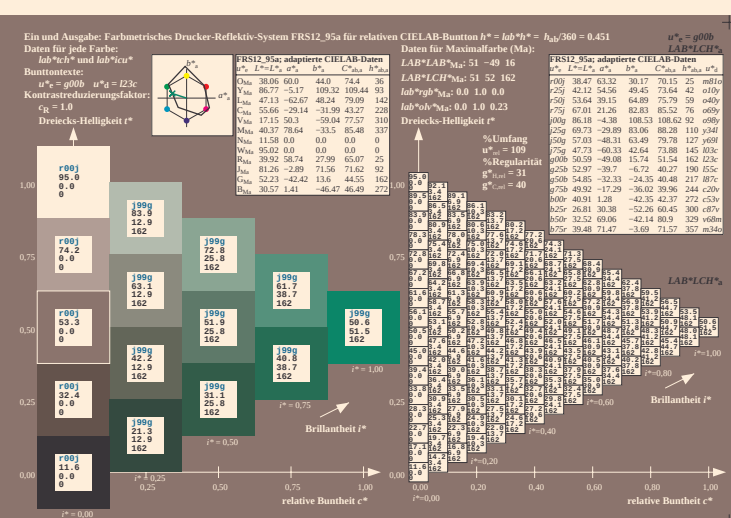

Ein und Ausgabe: Farbmetrisches Drucker-Reflektiv-System FRS12_95a für relativen CIELAB-Button $h^* = lab^*h^* = h_{ab}/360 = 0.527$

Daten für jede Farbe:
*lab*ch** und *lab*icu**
Benutztexte:
$u^*_F = f55c$ $u^*_d = g25b$
Kontrastreduzierungsfaktor:
$c_R = 1.0$
Dreiecks-Helligkeit t^*

Daten für Maximalfarbe (Ma):
$LAB^*LAB^*_{Ma}$: 53 −40 −7
$LAB^*LCH^*_{Ma}$: 53 40 189
$lab^*rgb^*_{Ma}$: 0.0 1.0 0.5
$lab^*olv^*_{Ma}$: 0.0 1.0 0.55
Dreiecks-Helligkeit t^*

$u^*_F = g25b$
$LAB^*LCH^*_a$

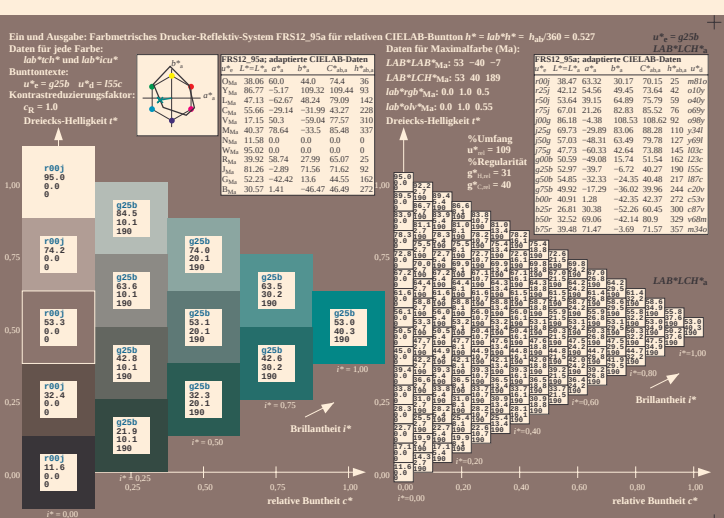

Ein und Ausgabe: Farbmetrisches Drucker-Reflektiv-System FRS12_95a für relativen CIELAB-Button $h^* = lab^*h^* = h_{ab}/360 = 0.603$

Daten für jede Farbe:
*lab*ch** und *lab*icu**
Benutztexte:
$u^*_F = g50b$ $u^*_d = I87c$
Kontrastreduzierungsfaktor:
$c_R = 1.0$
Dreiecks-Helligkeit t^*

Daten für Maximalfarbe (Ma):
$LAB^*LAB^*_{Ma}$: 55 −32 −24
$LAB^*LCH^*_{Ma}$: 55 40 216
$lab^*rgb^*_{Ma}$: 0.0 1.0 1.0
$lab^*olv^*_{Ma}$: 0.0 1.0 0.87
Dreiecks-Helligkeit t^*

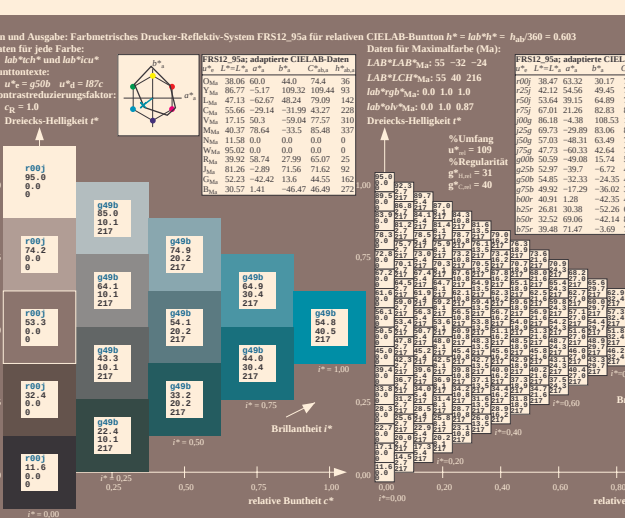

Ein und Ausgabe: Farbmetrisches Drucker-Reflektiv-System FRS12_95a für relativen CIELAB-Button $h^* = lab^*h^* = h_{ab}/360 = 0.679$

Daten für jede Farbe:
*lab*ch** und *lab*icu**
Benutztexte:
$u^*_F = g75b$ $u^*_d = c20v$
Kontrastreduzierungsfaktor:
$c_R = 1.0$
Dreiecks-Helligkeit t^*

Daten für Maximalfarbe (Ma):
$LAB^*LAB^*_{Ma}$: 50 −17 −36
$LAB^*LCH^*_{Ma}$: 50 40 244
$lab^*rgb^*_{Ma}$: 0.0 0.5 1.0
$lab^*olv^*_{Ma}$: 0.0 0.8 1.0
Dreiecks-Helligkeit t^*

$u^*_F = g75b$
$LAB^*LCH^*_a$

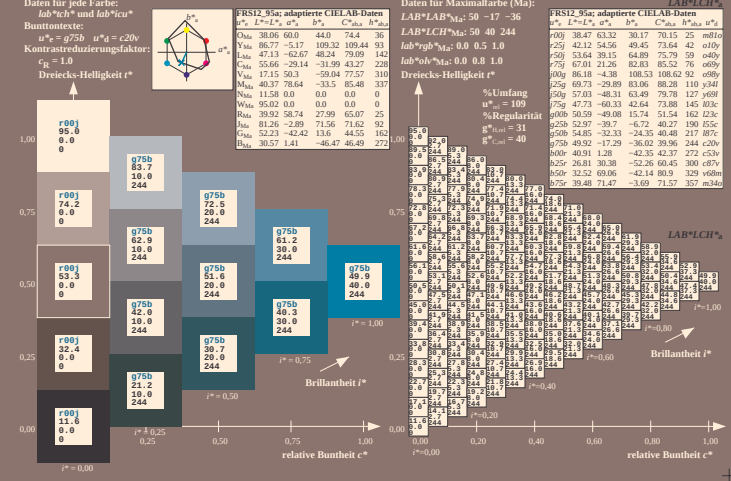

Ein und Ausgabe: Farbmetrisches Drucker-Reflektiv-System FRS12_95a für relativen CIELAB-Button $h^* = lab^*h^* = h_{ab}/360 = 0.755$

Daten für jede Farbe:
*lab*ch** und *lab*icu**
Benutztexte:
$u^*_F = b00r$ $u^*_d = c53v$
Kontrastreduzierungsfaktor:
$c_R = 1.0$
Dreiecks-Helligkeit t^*

Daten für Maximalfarbe (Ma):
$LAB^*LAB^*_{Ma}$: 41 1 −42
$LAB^*LCH^*_{Ma}$: 41 42 271
$lab^*rgb^*_{Ma}$: 0.0 0.0 1.0
$lab^*olv^*_{Ma}$: 0.0 0.47 1.0
Dreiecks-Helligkeit t^*

$u^*_F = b00r$
$LAB^*LCH^*_a$

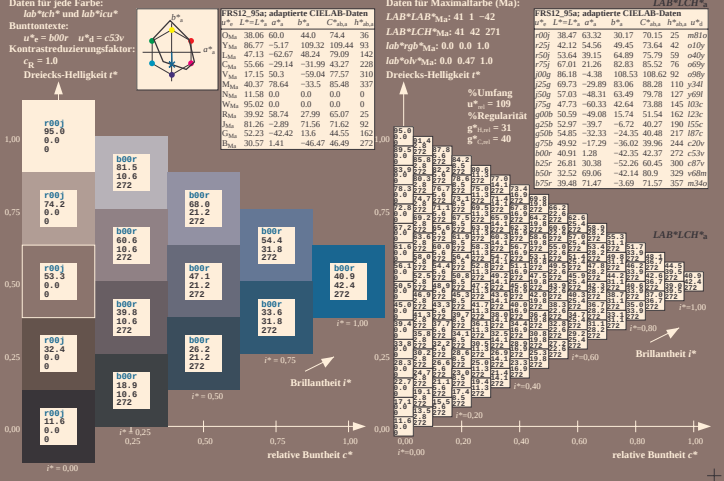

Ein und Ausgabe: Farbmetrisches Drucker-Reflektiv-System FRS12_95a für relativen CIELAB-Button $h^* = lab^*h^* = h_{ab}/360 = 0.834$

Daten für jede Farbe:
*lab*ch** und *lab*icu**
Benutztexte:
$u^*_F = b25r$ $u^*_d = c87v$
Kontrastreduzierungsfaktor:
$c_R = 1.0$
Dreiecks-Helligkeit t^*

Daten für Maximalfarbe (Ma):
$LAB^*LAB^*_{Ma}$: 27 30 −52
$LAB^*LCH^*_{Ma}$: 27 60 300
$lab^*rgb^*_{Ma}$: 0.5 0.0 1.0
$lab^*olv^*_{Ma}$: 0.0 0.12 1.0
Dreiecks-Helligkeit t^*

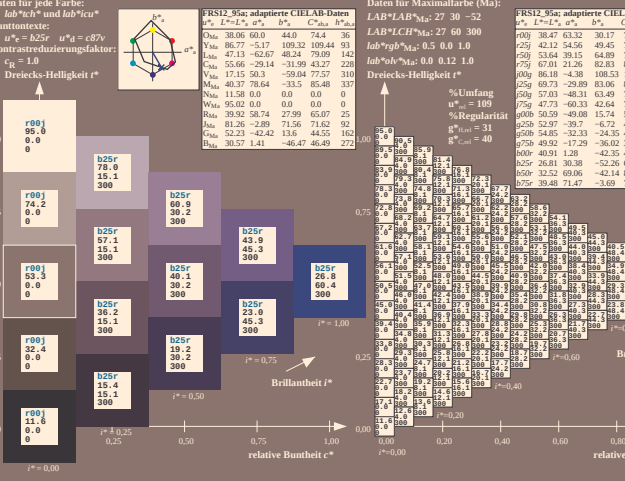

Ein und Ausgabe: Farbmetrisches Drucker-Reflektiv-System FRS12_95a für relativen CIELAB-Button $h^* = lab^*h^* = h_{ab}/360 = 0.913$

Daten für jede Farbe:
*lab*ch** und *lab*icu**
Benutztexte:
$u^*_F = b50r$ $u^*_d = v68m$
Kontrastreduzierungsfaktor:
$c_R = 1.0$
Dreiecks-Helligkeit t^*

Daten für Maximalfarbe (Ma):
$LAB^*LAB^*_{Ma}$: 33 69 −42
$LAB^*LCH^*_{Ma}$: 33 81 328
$lab^*rgb^*_{Ma}$: 1.0 0.0 1.0
$lab^*olv^*_{Ma}$: 0.69 0.0 1.0
Dreiecks-Helligkeit t^*

$u^*_F = b50r$
$LAB^*LCH^*_a$

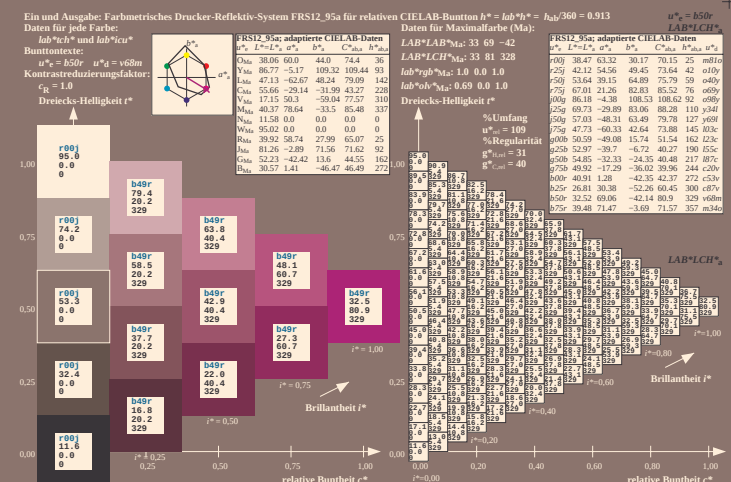

Ein und Ausgabe: Farbmetrisches Drucker-Reflektiv-System FRS12_95a für relativen CIELAB-Button $h^* = lab^*h^* = h_{ab}/360 = 0.992$

Daten für jede Farbe:
*lab*ch** und *lab*icu**
Benutztexte:
$u^*_F = b75r$ $u^*_d = m34o$
Kontrastreduzierungsfaktor:
$c_R = 1.0$
Dreiecks-Helligkeit t^*

Daten für Maximalfarbe (Ma):
$LAB^*LAB^*_{Ma}$: 39 71 −4
$LAB^*LCH^*_{Ma}$: 39 72 357
$lab^*rgb^*_{Ma}$: 1.0 0.0 0.5
$lab^*olv^*_{Ma}$: 1.0 0.0 0.66
Dreiecks-Helligkeit t^*

$u^*_F = b75r$
$LAB^*LCH^*_a$

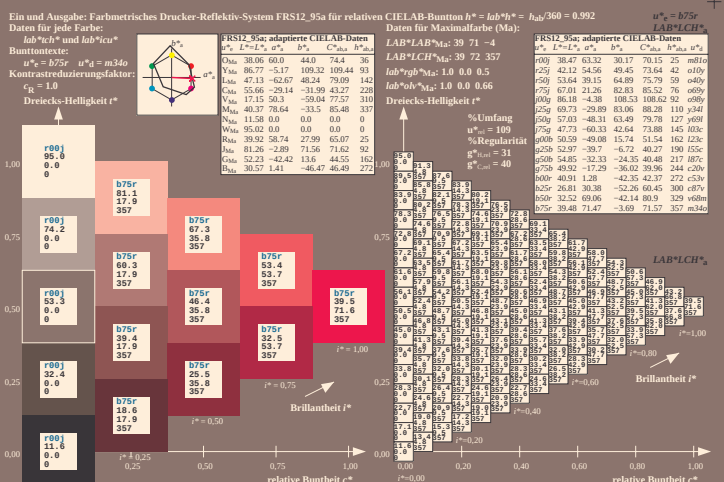

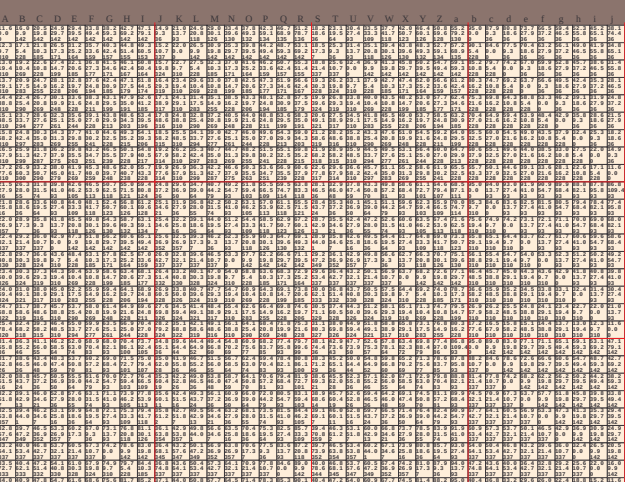

Ein und Ausgabe: Farbmetrisches Drucker-Reflektiv-System FRS12_95a für relativen CIELAB-Button $h^* = lab^*h^* = h_{ab}/360 = 0.451$

Daten für jede Farbe:
*lab*tch** und *lab*icu**
Buntttoxte:
$u^*_{\mathrm{e}} = g00b$ $u^*_{\mathrm{d}} = I23c$
Kontrastreduzierungsfaktor:
$c_{\mathrm{R}} = 1.0$
Dreiecks-Helligkeit t^*

Daten für Maximalfarbe (Ma):
$LAB^*LAB^*_{\mathrm{Ma}}$: 51 −49 16
$LAB^*LCH^*_{\mathrm{Ma}}$: 51 52 162
$lab^*rgb^*_{\mathrm{Ma}}$: 0.0 1.0 0.0
$lab^*olv^*_{\mathrm{Ma}}$: 0.0 1.0 0.23
Dreiecks-Helligkeit t^*

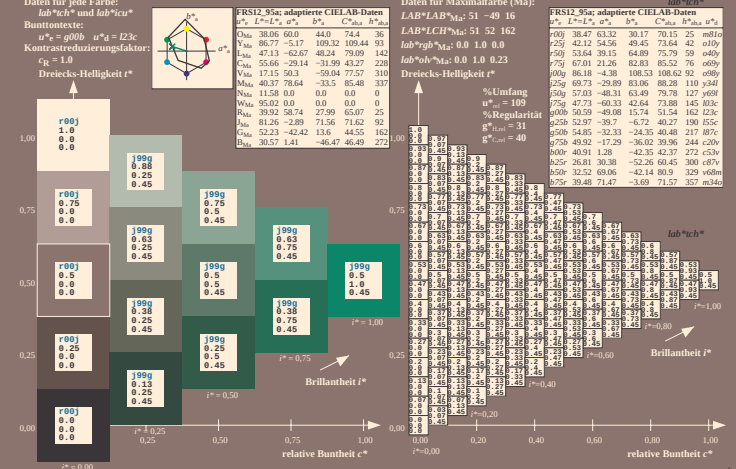

Ein und Ausgabe: Farbmetrisches Drucker-Reflektiv-System FRS12_95a für relativen CIELAB-Button $h^* = lab^*h^* = h_{ab}/360 = 0.527$

Daten für jede Farbe:
*lab*tch** und *lab*icu**
Buntttoxte:
$u^*_{\mathrm{e}} = g25b$ $u^*_{\mathrm{d}} = I55c$
Kontrastreduzierungsfaktor:
$c_{\mathrm{R}} = 1.0$
Dreiecks-Helligkeit t^*

Daten für Maximalfarbe (Ma):
$LAB^*LAB^*_{\mathrm{Ma}}$: 53 −40 −7
$LAB^*LCH^*_{\mathrm{Ma}}$: 53 40 189
$lab^*rgb^*_{\mathrm{Ma}}$: 0.0 1.0 0.5
$lab^*olv^*_{\mathrm{Ma}}$: 0.0 1.0 0.55
Dreiecks-Helligkeit t^*

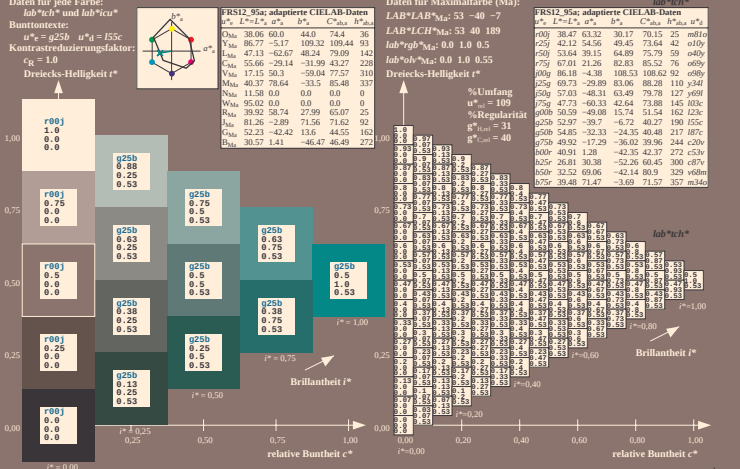

Ein und Ausgabe: Farbmetrisches Drucker-Reflektiv-System FRS12_95a für relativen CIELAB-Button $h^* = lab^*h^* = h_{ab}/360 = 0.603$

Daten für jede Farbe:
*lab*tch** und *lab*icu**
Buntttoxte:
$u^*_{\mathrm{e}} = I87c$
Kontrastreduzierungsfaktor:
$c_{\mathrm{R}} = 1.0$
Dreiecks-Helligkeit t^*

Daten für Maximalfarbe (Ma):
$LAB^*LAB^*_{\mathrm{Ma}}$: 55 −32 −24
$LAB^*LCH^*_{\mathrm{Ma}}$: 55 40 216
$lab^*rgb^*_{\mathrm{Ma}}$: 0.0 1.0 1.0
$lab^*olv^*_{\mathrm{Ma}}$: 0.0 1.0 0.87
Dreiecks-Helligkeit t^*

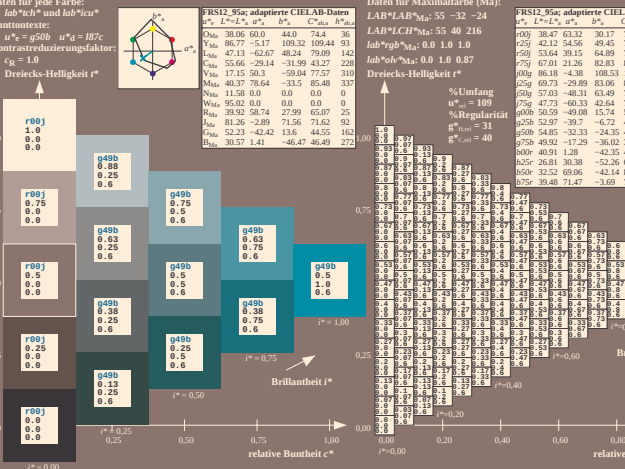

Ein und Ausgabe: Farbmetrisches Drucker-Reflektiv-System FRS12_95a für relativen CIELAB-Button $h^* = lab^*h^* = h_{ab}/360 = 0.679$

Daten für jede Farbe:
*lab*tch** und *lab*icu**
Buntttoxte:
$u^*_{\mathrm{e}} = g75b$ $u^*_{\mathrm{d}} = c20v$
Kontrastreduzierungsfaktor:
$c_{\mathrm{R}} = 1.0$
Dreiecks-Helligkeit t^*

Daten für Maximalfarbe (Ma):
$LAB^*LAB^*_{\mathrm{Ma}}$: 50 −17 −36
$LAB^*LCH^*_{\mathrm{Ma}}$: 50 40 244
$lab^*rgb^*_{\mathrm{Ma}}$: 0.0 0.5 1.0
$lab^*olv^*_{\mathrm{Ma}}$: 0.0 0.8 1.0
Dreiecks-Helligkeit t^*

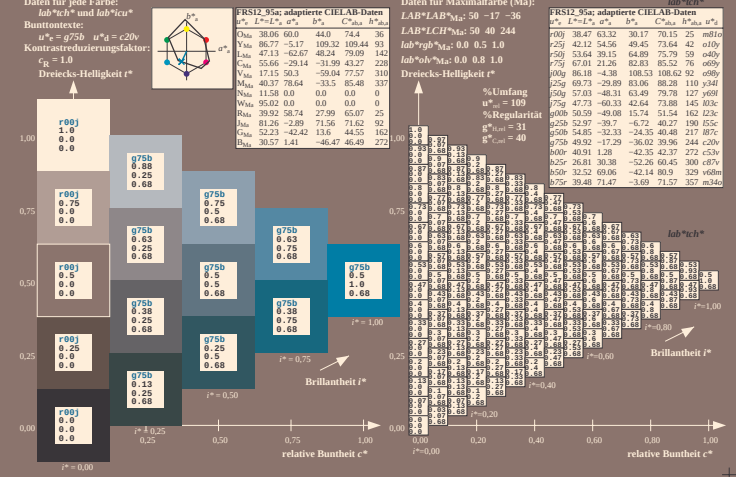

Ein und Ausgabe: Farbmetrisches Drucker-Reflektiv-System FRS12_95a für relativen CIELAB-Button $h^* = lab^*h^* = h_{ab}/360 = 0.755$

Daten für jede Farbe:
*lab*tch** und *lab*icu**
Buntttoxte:
$u^*_{\mathrm{e}} = b00r$ $u^*_{\mathrm{d}} = c53v$
Kontrastreduzierungsfaktor:
$c_{\mathrm{R}} = 1.0$
Dreiecks-Helligkeit t^*

Daten für Maximalfarbe (Ma):
$LAB^*LAB^*_{\mathrm{Ma}}$: 41 1 −42
$LAB^*LCH^*_{\mathrm{Ma}}$: 41 42 271
$lab^*rgb^*_{\mathrm{Ma}}$: 0.0 0.0 1.0
$lab^*olv^*_{\mathrm{Ma}}$: 0.0 0.47 1.0
Dreiecks-Helligkeit t^*

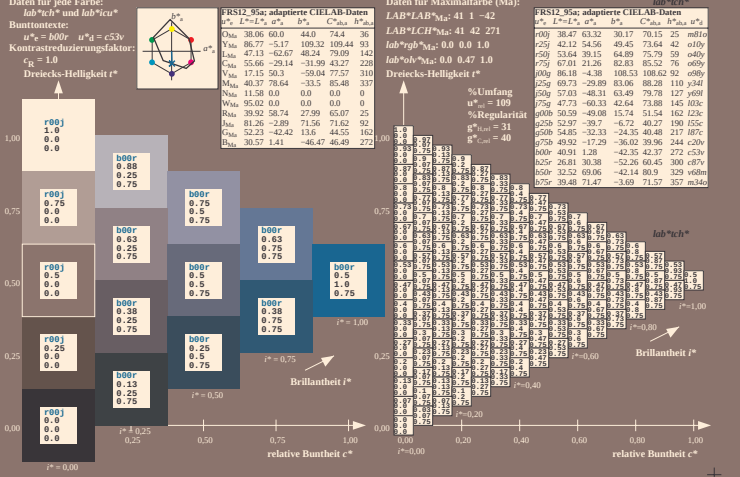

Ein und Ausgabe: Farbmetrisches Drucker-Reflektiv-System FRS12_95a für relativen CIELAB-Button $h^* = lab^*h^* = h_{ab}/360 = 0.834$

Daten für jede Farbe:
*lab*tch** und *lab*icu**
Buntttoxte:
$u^*_{\mathrm{e}} = b25r$ $u^*_{\mathrm{d}} = c87v$
Kontrastreduzierungsfaktor:
$c_{\mathrm{R}} = 1.0$
Dreiecks-Helligkeit t^*

Daten für Maximalfarbe (Ma):
$LAB^*LAB^*_{\mathrm{Ma}}$: 27 30 −52
$LAB^*LCH^*_{\mathrm{Ma}}$: 27 60 300
$lab^*rgb^*_{\mathrm{Ma}}$: 0.5 0.0 1.0
$lab^*olv^*_{\mathrm{Ma}}$: 0.0 0.12 1.0
Dreiecks-Helligkeit t^*

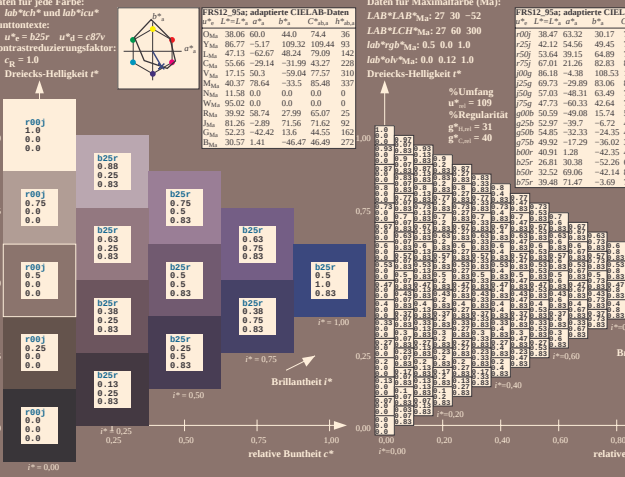

Ein und Ausgabe: Farbmetrisches Drucker-Reflektiv-System FRS12_95a für relativen CIELAB-Button $h^* = lab^*h^* = h_{ab}/360 = 0.913$

Daten für jede Farbe:
*lab*tch** und *lab*icu**
Buntttoxte:
$u^*_{\mathrm{e}} = b50r$ $u^*_{\mathrm{d}} = v68m$
Kontrastreduzierungsfaktor:
$c_{\mathrm{R}} = 1.0$
Dreiecks-Helligkeit t^*

Daten für Maximalfarbe (Ma):
$LAB^*LAB^*_{\mathrm{Ma}}$: 33 69 −42
$LAB^*LCH^*_{\mathrm{Ma}}$: 33 81 328
$lab^*rgb^*_{\mathrm{Ma}}$: 1.0 0.0 1.0
$lab^*olv^*_{\mathrm{Ma}}$: 0.69 0.0 1.0
Dreiecks-Helligkeit t^*

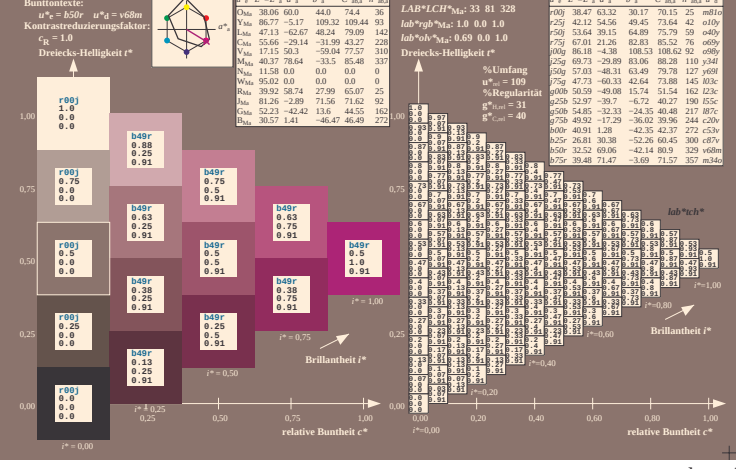

Ein und Ausgabe: Farbmetrisches Drucker-Reflektiv-System FRS12_95a für relativen CIELAB-Button $h^* = lab^*h^* = h_{ab}/360 = 0.992$

Daten für jede Farbe:
*lab*tch** und *lab*icu**
Buntttoxte:
$u^*_{\mathrm{e}} = b75r$ $u^*_{\mathrm{d}} = m34o$
Kontrastreduzierungsfaktor:
$c_{\mathrm{R}} = 1.0$
Dreiecks-Helligkeit t^*

Daten für Maximalfarbe (Ma):
$LAB^*LAB^*_{\mathrm{Ma}}$: 39 71 −4
$LAB^*LCH^*_{\mathrm{Ma}}$: 39 72 357
$lab^*rgb^*_{\mathrm{Ma}}$: 1.0 0.0 0.5
$lab^*olv^*_{\mathrm{Ma}}$: 1.0 0.0 0.66
Dreiecks-Helligkeit t^*

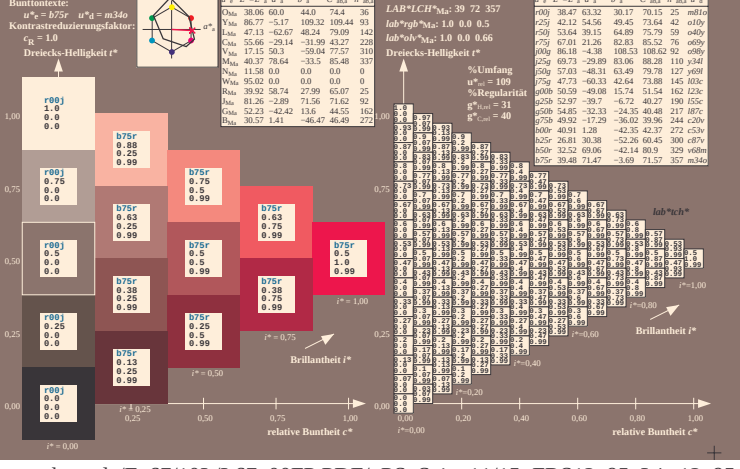

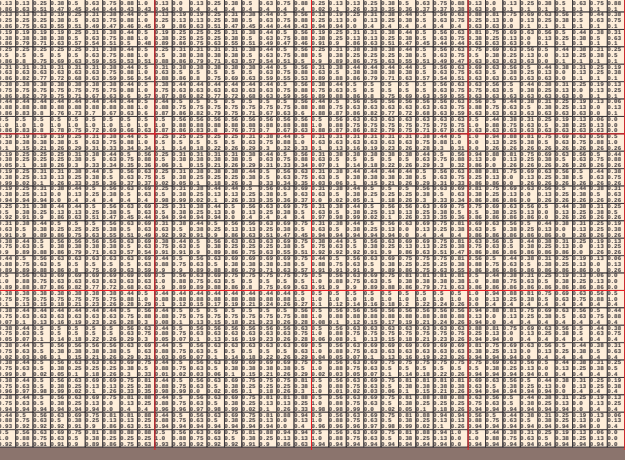

Ein und Ausgabe: Farbmetrisches Drucker-Reflektiv-System FRS12_95a für relativen CIELAB-Button $h^* = lab^*h^* = h_{ab}/360 = 0.451$

Daten für jede Farbe:
*lab*tch** und *lab*icu**
Benutztexte:
$u^*_{\mathrm{e}} = g00b$ $u^*_{\mathrm{d}} = I23c$
Kontrastreduzierungsfaktor:
$c_{\mathrm{R}} = 1.0$
Dreiecks-Helligkeit t^*

Daten für Maximalfarbe (Ma):
$LAB^*LAB^*_{\mathrm{Ma}}$: 51 −49 16
$LAB^*LCH^*_{\mathrm{Ma}}$: 51 52 162
$lab^*rgb^*_{\mathrm{Ma}}$: 0.0 1.0 0.0
$lab^*oIv^*_{\mathrm{Ma}}$: 0.0 1.0 0.23
Dreiecks-Helligkeit t^*

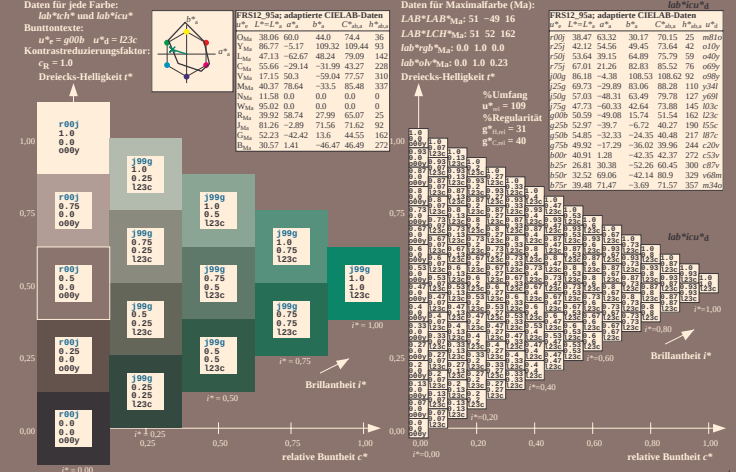

Ein und Ausgabe: Farbmetrisches Drucker-Reflektiv-System FRS12_95a für relativen CIELAB-Button $h^* = lab^*h^* = h_{ab}/360 = 0.527$

Daten für jede Farbe:
*lab*tch** und *lab*icu**
Benutztexte:
$u^*_{\mathrm{e}} = g25b$ $u^*_{\mathrm{d}} = l55c$
Kontrastreduzierungsfaktor:
$c_{\mathrm{R}} = 1.0$
Dreiecks-Helligkeit t^*

Daten für Maximalfarbe (Ma):
$LAB^*LAB^*_{\mathrm{Ma}}$: 53 −40 −7
$LAB^*LCH^*_{\mathrm{Ma}}$: 53 40 189
$lab^*rgb^*_{\mathrm{Ma}}$: 0.0 1.0 0.5
$lab^*oIv^*_{\mathrm{Ma}}$: 0.0 1.0 0.55
Dreiecks-Helligkeit t^*

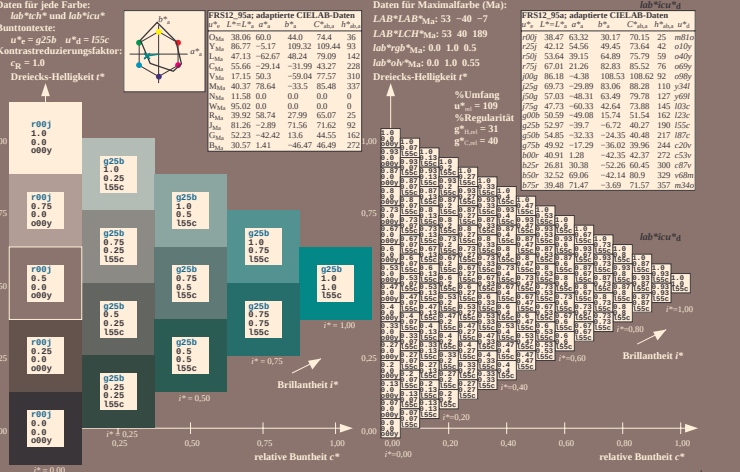

Ein und Ausgabe: Farbmetrisches Drucker-Reflektiv-System FRS12_95a für relativen CIELAB-Button $h^* = lab^*h^* = h_{ab}/360 = 0.603$

Daten für jede Farbe:
*lab*tch** und *lab*icu**
Benutztexte:
$u^*_{\mathrm{e}} = I87c$
Kontrastreduzierungsfaktor:
$c_{\mathrm{R}} = 1.0$
Dreiecks-Helligkeit t^*

Daten für Maximalfarbe (Ma):
$LAB^*LAB^*_{\mathrm{Ma}}$: 55 −32 −24
$LAB^*LCH^*_{\mathrm{Ma}}$: 55 40 216
$lab^*rgb^*_{\mathrm{Ma}}$: 0.0 1.0 1.0
$lab^*oIv^*_{\mathrm{Ma}}$: 0.0 1.0 0.87
Dreiecks-Helligkeit t^*

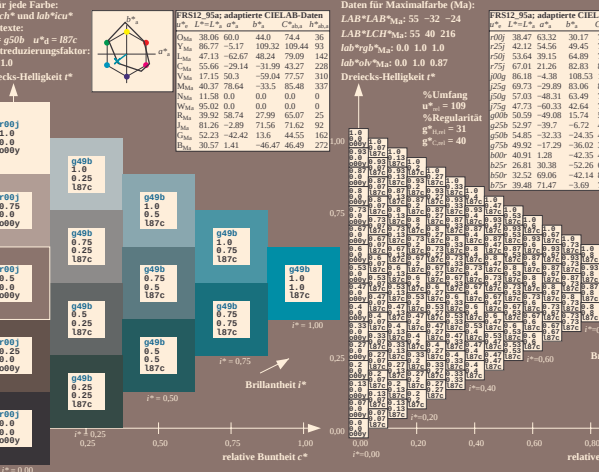

Ein und Ausgabe: Farbmetrisches Drucker-Reflektiv-System FRS12_95a für relativen CIELAB-Button $h^* = lab^*h^* = h_{ab}/360 = 0.679$

Daten für jede Farbe:
*lab*tch** und *lab*icu**
Benutztexte:
$u^*_{\mathrm{e}} = g75b$ $u^*_{\mathrm{d}} = c20v$
Kontrastreduzierungsfaktor:
$c_{\mathrm{R}} = 1.0$
Dreiecks-Helligkeit t^*

Daten für Maximalfarbe (Ma):
$LAB^*LAB^*_{\mathrm{Ma}}$: 50 −17 −36
$LAB^*LCH^*_{\mathrm{Ma}}$: 50 40 244
$lab^*rgb^*_{\mathrm{Ma}}$: 0.0 0.5 1.0
$lab^*oIv^*_{\mathrm{Ma}}$: 0.0 0.8 1.0
Dreiecks-Helligkeit t^*

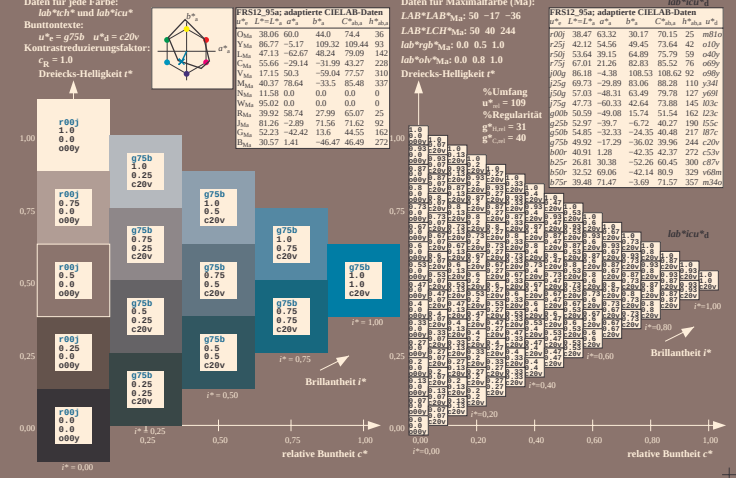

Ein und Ausgabe: Farbmetrisches Drucker-Reflektiv-System FRS12_95a für relativen CIELAB-Button $h^* = lab^*h^* = h_{ab}/360 = 0.755$

Daten für jede Farbe:
*lab*tch** und *lab*icu**
Benutztexte:
$u^*_{\mathrm{e}} = b00r$ $u^*_{\mathrm{d}} = c53v$
Kontrastreduzierungsfaktor:
$c_{\mathrm{R}} = 1.0$
Dreiecks-Helligkeit t^*

Daten für Maximalfarbe (Ma):
$LAB^*LAB^*_{\mathrm{Ma}}$: 41 1 −42
$LAB^*LCH^*_{\mathrm{Ma}}$: 41 42 271
$lab^*rgb^*_{\mathrm{Ma}}$: 0.0 0.0 1.0
$lab^*oIv^*_{\mathrm{Ma}}$: 0.0 0.47 1.0
Dreiecks-Helligkeit t^*

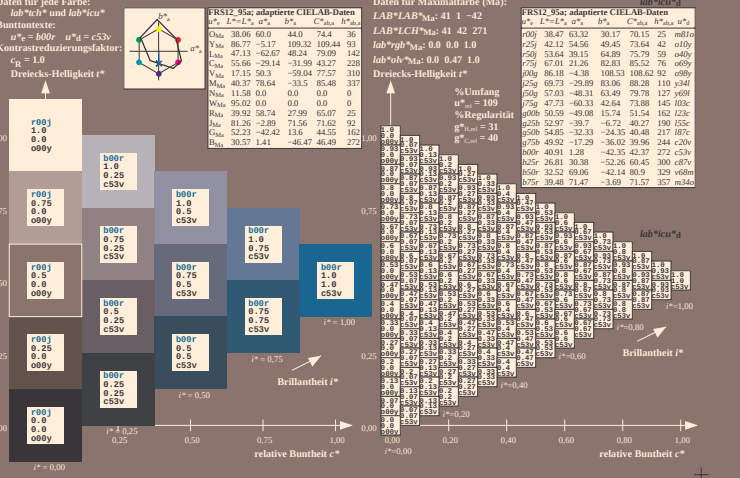

Ein und Ausgabe: Farbmetrisches Drucker-Reflektiv-System FRS12_95a für relativen CIELAB-Button $h^* = lab^*h^* = h_{ab}/360 = 0.834$

Daten für jede Farbe:
*lab*tch** und *lab*icu**
Benutztexte:
$u^*_{\mathrm{e}} = b25r$ $u^*_{\mathrm{d}} = c87v$
Kontrastreduzierungsfaktor:
$c_{\mathrm{R}} = 1.0$
Dreiecks-Helligkeit t^*

Daten für Maximalfarbe (Ma):
$LAB^*LAB^*_{\mathrm{Ma}}$: 27 30 −52
$LAB^*LCH^*_{\mathrm{Ma}}$: 27 60 300
$lab^*rgb^*_{\mathrm{Ma}}$: 0.5 0.0 1.0
$lab^*oIv^*_{\mathrm{Ma}}$: 0.0 0.12 1.0
Dreiecks-Helligkeit t^*

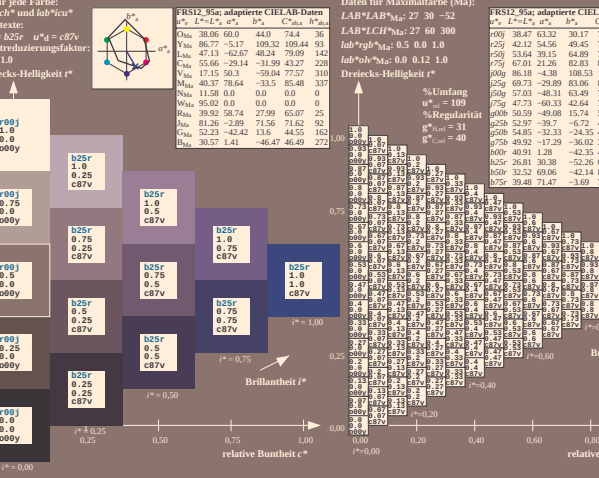

Ein und Ausgabe: Farbmetrisches Drucker-Reflektiv-System FRS12_95a für relativen CIELAB-Button $h^* = lab^*h^* = h_{ab}/360 = 0.913$

Daten für jede Farbe:
*lab*tch** und *lab*icu**
Benutztexte:
$u^*_{\mathrm{e}} = b50r$ $u^*_{\mathrm{d}} = v68m$
Kontrastreduzierungsfaktor:
$c_{\mathrm{R}} = 1.0$
Dreiecks-Helligkeit t^*

Daten für Maximalfarbe (Ma):
$LAB^*LAB^*_{\mathrm{Ma}}$: 33 69 −42
$LAB^*LCH^*_{\mathrm{Ma}}$: 33 81 328
$lab^*rgb^*_{\mathrm{Ma}}$: 1.0 0.0 1.0
$lab^*oIv^*_{\mathrm{Ma}}$: 0.69 0.0 1.0
Dreiecks-Helligkeit t^*

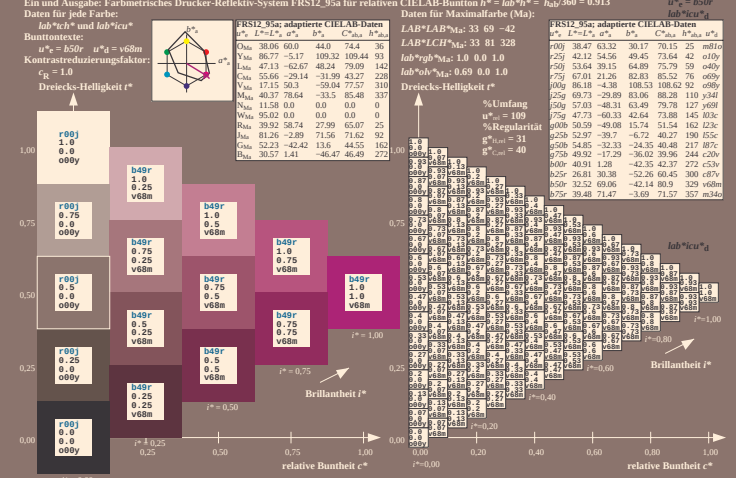

Ein und Ausgabe: Farbmetrisches Drucker-Reflektiv-System FRS12_95a für relativen CIELAB-Button $h^* = lab^*h^* = h_{ab}/360 = 0.992$

Daten für jede Farbe:
*lab*tch** und *lab*icu**
Benutztexte:
$u^*_{\mathrm{e}} = b75r$ $u^*_{\mathrm{d}} = m34o$
Kontrastreduzierungsfaktor:
$c_{\mathrm{R}} = 1.0$
Dreiecks-Helligkeit t^*

Daten für Maximalfarbe (Ma):
$LAB^*LAB^*_{\mathrm{Ma}}$: 39 71 −4
$LAB^*LCH^*_{\mathrm{Ma}}$: 39 72 357
$lab^*rgb^*_{\mathrm{Ma}}$: 1.0 0.0 0.5
$lab^*oIv^*_{\mathrm{Ma}}$: 1.0 0.0 0.66
Dreiecks-Helligkeit t^*

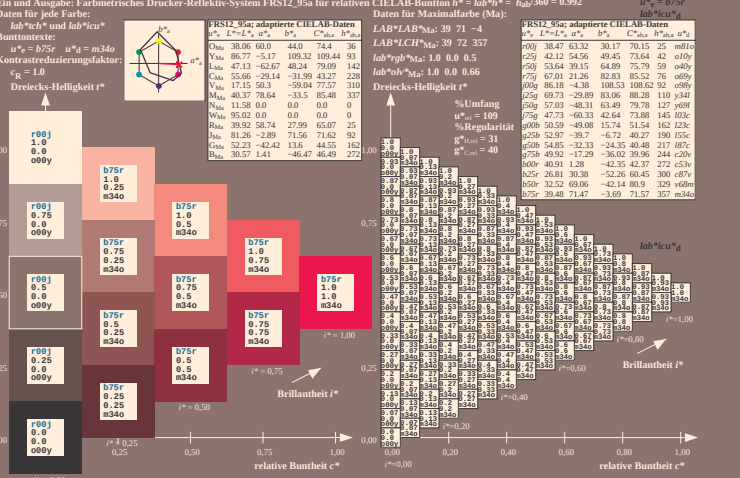

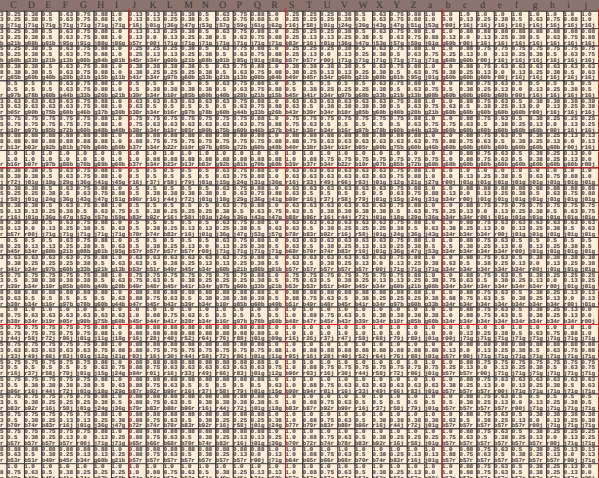

Ein und Ausgabe: Farbmetrisches Drucker-Reflektiv-System FRS12_95a für relativen CIELAB-Button $h^* = lab^*h^* = h_{rab}/360 = 0.451$

Daten für jede Farbe: *lab*ch** und *lab*icu**

Buntontexte: $u^*_{\mathrm{e}} = g00b$ $u^*_{\mathrm{d}} = I23c$

Kontrastreduzierungsfaktor: $c_{\mathrm{R}} = 1.0$

Dreiecks-Helligkeit t^*

Daten für Maximalfarbe (Ma):

$LAB^*LAB^*_{\mathrm{Ma}}$: 51 −49 16

$LAB^*LCH^*_{\mathrm{Ma}}$: 51 52 162

$lab^*rgb^*_{\mathrm{Ma}}$: 0.0 1.0 0.0

$lab^*olv^*_{\mathrm{Ma}}$: 0.0 1.0 0.23

Dreiecks-Helligkeit t^*

$u^*_{\mathrm{e}} = g00b$ LAB^*LAB^*

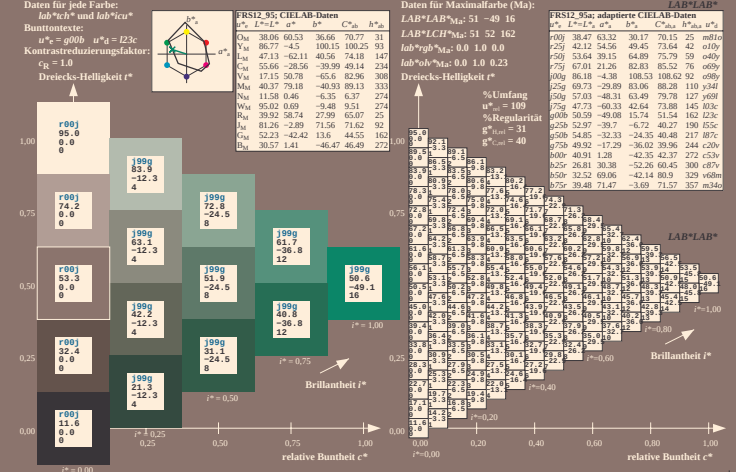

Ein und Ausgabe: Farbmetrisches Drucker-Reflektiv-System FRS12_95a für relativen CIELAB-Button $h^* = lab^*h^* = h_{rab}/360 = 0.527$

Daten für jede Farbe: *lab*ch** und *lab*icu**

Buntontexte: $u^*_{\mathrm{e}} = g25b$ $u^*_{\mathrm{d}} = I55c$

Kontrastreduzierungsfaktor: $c_{\mathrm{R}} = 1.0$

Dreiecks-Helligkeit t^*

Daten für Maximalfarbe (Ma):

$LAB^*LAB^*_{\mathrm{Ma}}$: 53 −40 −7

$LAB^*LCH^*_{\mathrm{Ma}}$: 53 40 189

$lab^*rgb^*_{\mathrm{Ma}}$: 0.0 1.0 0.5

$lab^*olv^*_{\mathrm{Ma}}$: 0.0 1.0 0.55

Dreiecks-Helligkeit t^*

$u^*_{\mathrm{e}} = g25b$ LAB^*LAB^*

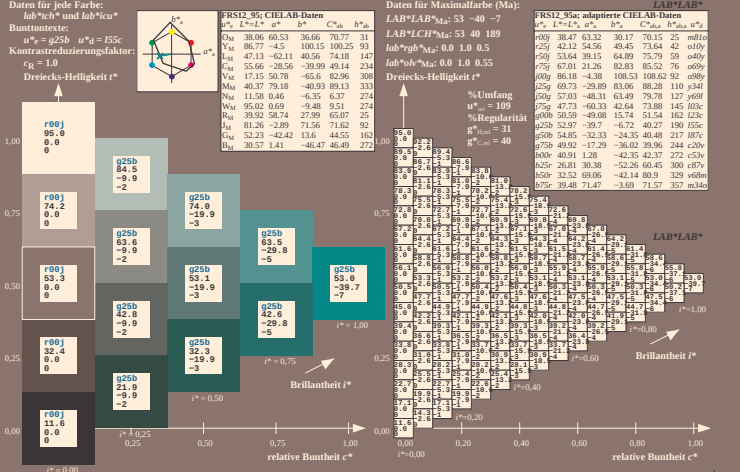

Ein und Ausgabe: Farbmetrisches Drucker-Reflektiv-System FRS12_95a für relativen CIELAB-Button $h^* = lab^*h^* = h_{rab}/360 = 0.603$

Daten für jede Farbe: *lab*ch** und *lab*icu**

Buntontexte: $u^*_{\mathrm{e}} = g49b$ $u^*_{\mathrm{d}} = I87c$

Kontrastreduzierungsfaktor: $c_{\mathrm{R}} = 1.0$

Dreiecks-Helligkeit t^*

Daten für Maximalfarbe (Ma):

$LAB^*LAB^*_{\mathrm{Ma}}$: 55 −32 −24

$LAB^*LCH^*_{\mathrm{Ma}}$: 55 40 216

$lab^*rgb^*_{\mathrm{Ma}}$: 0.0 1.0 1.0

$lab^*olv^*_{\mathrm{Ma}}$: 0.0 1.0 0.87

Dreiecks-Helligkeit t^*

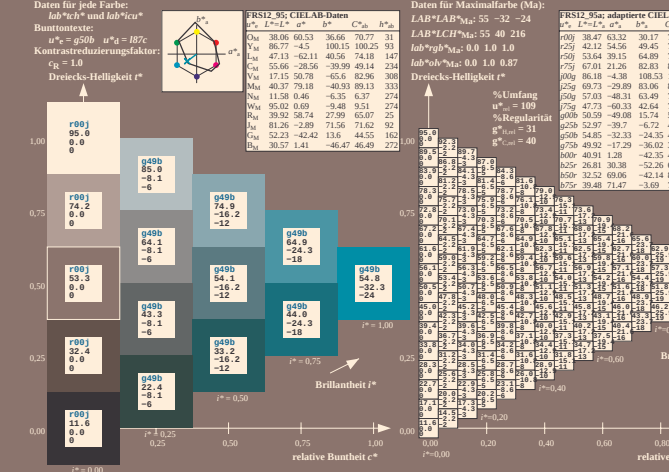

Ein und Ausgabe: Farbmetrisches Drucker-Reflektiv-System FRS12_95a für relativen CIELAB-Button $h^* = lab^*h^* = h_{rab}/360 = 0.679$

Daten für jede Farbe: *lab*ch** und *lab*icu**

Buntontexte: $u^*_{\mathrm{e}} = g75b$ $u^*_{\mathrm{d}} = c20v$

Kontrastreduzierungsfaktor: $c_{\mathrm{R}} = 1.0$

Dreiecks-Helligkeit t^*

Daten für Maximalfarbe (Ma):

$LAB^*LAB^*_{\mathrm{Ma}}$: 50 −17 −36

$LAB^*LCH^*_{\mathrm{Ma}}$: 50 40 244

$lab^*rgb^*_{\mathrm{Ma}}$: 0.0 0.5 1.0

$lab^*olv^*_{\mathrm{Ma}}$: 0.0 0.8 1.0

Dreiecks-Helligkeit t^*

$u^*_{\mathrm{e}} = g75b$ LAB^*LAB^*

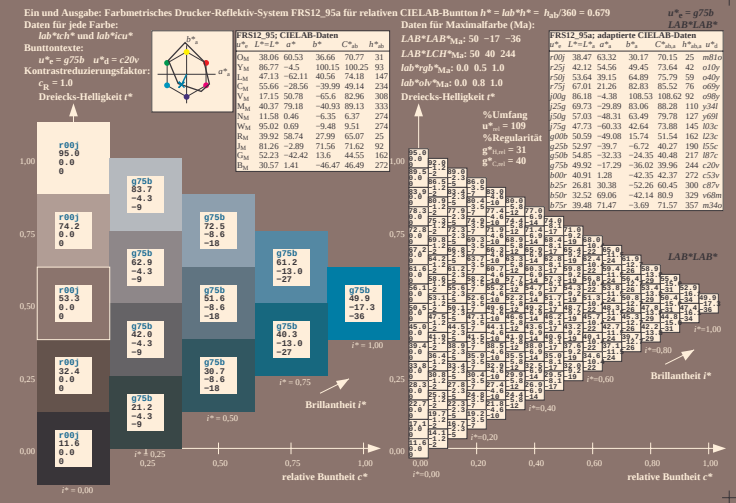

Ein und Ausgabe: Farbmetrisches Drucker-Reflektiv-System FRS12_95a für relativen CIELAB-Button $h^* = lab^*h^* = h_{rab}/360 = 0.755$

Daten für jede Farbe: *lab*ch** und *lab*icu**

Buntontexte: $u^*_{\mathrm{e}} = b00r$ $u^*_{\mathrm{d}} = c53v$

Kontrastreduzierungsfaktor: $c_{\mathrm{R}} = 1.0$

Dreiecks-Helligkeit t^*

Daten für Maximalfarbe (Ma):

$LAB^*LAB^*_{\mathrm{Ma}}$: 41 1 −42

$LAB^*LCH^*_{\mathrm{Ma}}$: 41 42 271

$lab^*rgb^*_{\mathrm{Ma}}$: 0.0 0.0 1.0

$lab^*olv^*_{\mathrm{Ma}}$: 0.0 0.47 1.0

Dreiecks-Helligkeit t^*

$u^*_{\mathrm{e}} = b00r$ LAB^*LAB^*

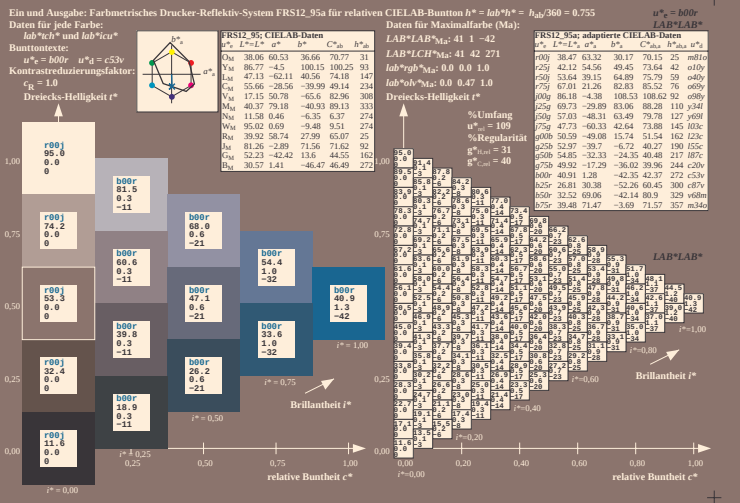

Ein und Ausgabe: Farbmetrisches Drucker-Reflektiv-System FRS12_95a für relativen CIELAB-Button $h^* = lab^*h^* = h_{rab}/360 = 0.834$

Daten für jede Farbe: *lab*ch** und *lab*icu**

Buntontexte: $u^*_{\mathrm{e}} = b25r$ $u^*_{\mathrm{d}} = c87v$

Kontrastreduzierungsfaktor: $c_{\mathrm{R}} = 1.0$

Dreiecks-Helligkeit t^*

Daten für Maximalfarbe (Ma):

$LAB^*LAB^*_{\mathrm{Ma}}$: 27 30 −52

$LAB^*LCH^*_{\mathrm{Ma}}$: 27 60 300

$lab^*rgb^*_{\mathrm{Ma}}$: 0.5 0.0 1.0

$lab^*olv^*_{\mathrm{Ma}}$: 0.0 0.12 1.0

Dreiecks-Helligkeit t^*

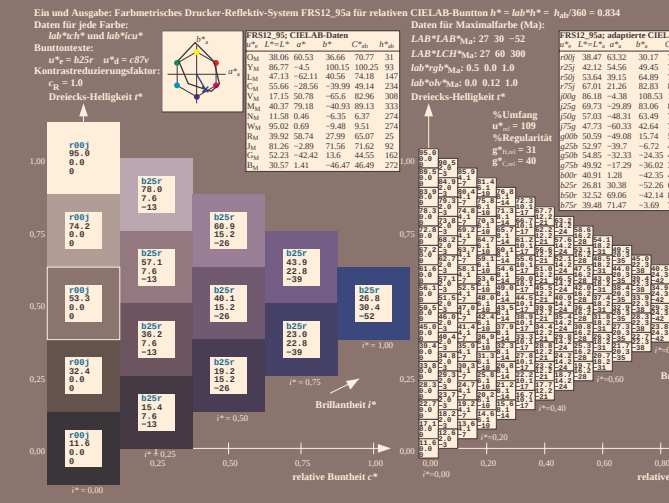

Ein und Ausgabe: Farbmetrisches Drucker-Reflektiv-System FRS12_95a für relativen CIELAB-Button $h^* = lab^*h^* = h_{rab}/360 = 0.913$

Daten für jede Farbe: *lab*ch** und *lab*icu**

Buntontexte: $u^*_{\mathrm{e}} = b50r$ $u^*_{\mathrm{d}} = v68m$

Kontrastreduzierungsfaktor: $c_{\mathrm{R}} = 1.0$

Dreiecks-Helligkeit t^*

Daten für Maximalfarbe (Ma):

$LAB^*LAB^*_{\mathrm{Ma}}$: 33 69 −42

$LAB^*LCH^*_{\mathrm{Ma}}$: 33 81 328

$lab^*rgb^*_{\mathrm{Ma}}$: 1.0 0.0 1.0

$lab^*olv^*_{\mathrm{Ma}}$: 0.69 0.0 1.0

Dreiecks-Helligkeit t^*

$u^*_{\mathrm{e}} = b50r$ LAB^*LAB^*

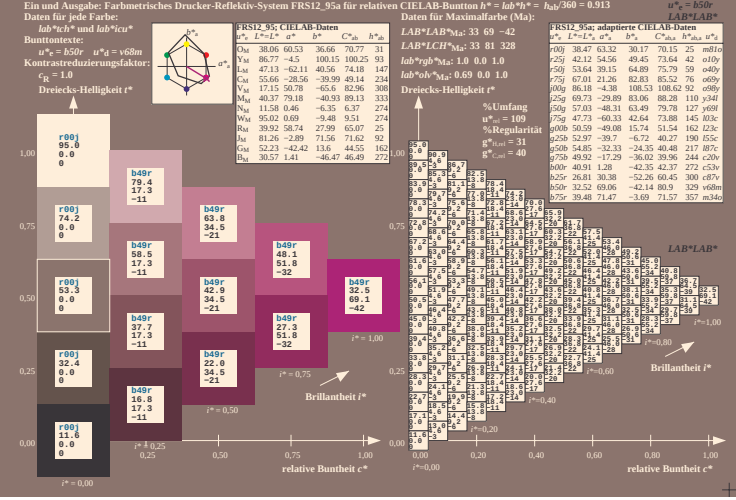

Ein und Ausgabe: Farbmetrisches Drucker-Reflektiv-System FRS12_95a für relativen CIELAB-Button $h^* = lab^*h^* = h_{rab}/360 = 0.992$

Daten für jede Farbe: *lab*ch** und *lab*icu**

Buntontexte: $u^*_{\mathrm{e}} = b75r$ $u^*_{\mathrm{d}} = m34o$

Kontrastreduzierungsfaktor: $c_{\mathrm{R}} = 1.0$

Dreiecks-Helligkeit t^*

Daten für Maximalfarbe (Ma):

$LAB^*LAB^*_{\mathrm{Ma}}$: 39 71 −4

$LAB^*LCH^*_{\mathrm{Ma}}$: 39 72 357

$lab^*rgb^*_{\mathrm{Ma}}$: 1.0 0.0 0.5

$lab^*olv^*_{\mathrm{Ma}}$: 1.0 0.0 0.66

Dreiecks-Helligkeit t^*

$u^*_{\mathrm{e}} = b75r$ LAB^*LAB^*

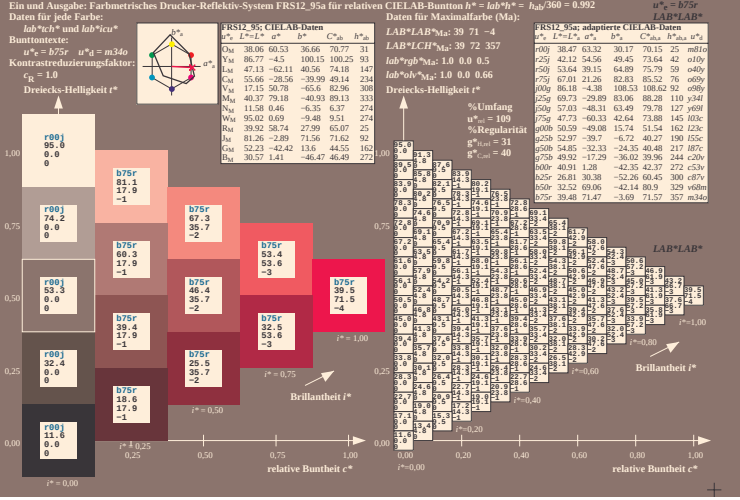

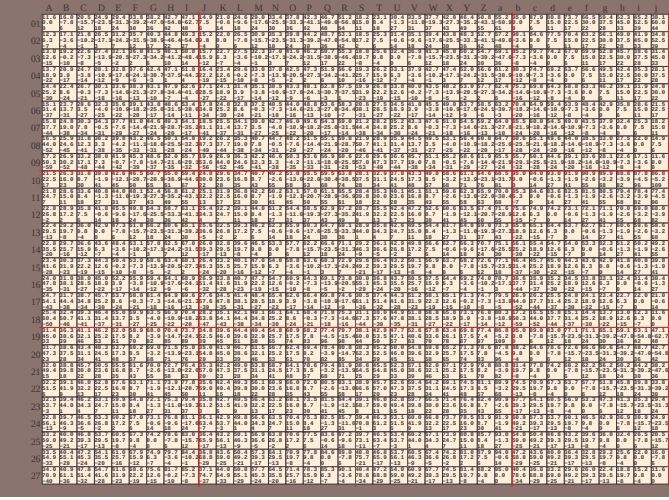

Ein und Ausgabe: Farbmetrisches Drucker-Reflektiv-System FRS12_95a für relativen CIELAB-Button $h^* = lab^*h^* = h_{ab}/360 = 0.451$

Daten für jede Farbe: *lab*ch** und *lab*icu**

Buntontexte: $u^*_g = g00b$ $u^*_d = I23c$

Kontrastreduzierungsfaktor: $c_R = 1.0$

Daten für Maximalfarbe (Ma): $LAB^*LAB^*_{Ma}$: 51 −49 16; $LAB^*LCH^*_{Ma}$: 51 52 162; $lab^*rgb^*_{Ma}$: 0.0 1.0 0.0; $lab^*olv^*_{Ma}$: 0.0 1.0 0.23

$u^*_g = g00b$ lab^*olv^*

Dreiecks-Helligkeit t^*

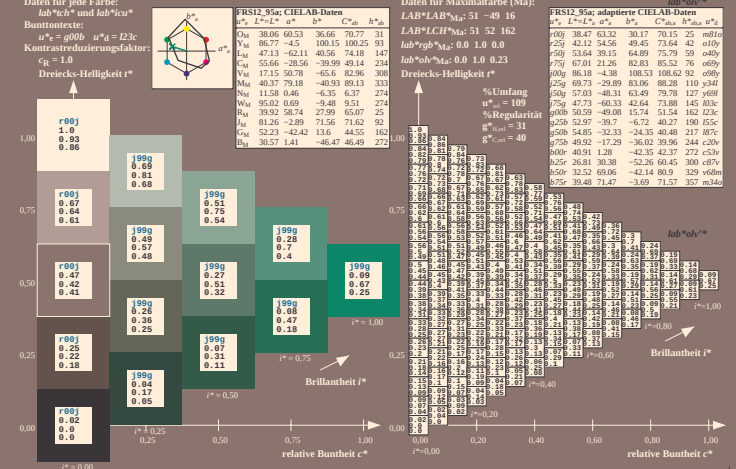

Dreiecks-Helligkeit t^*

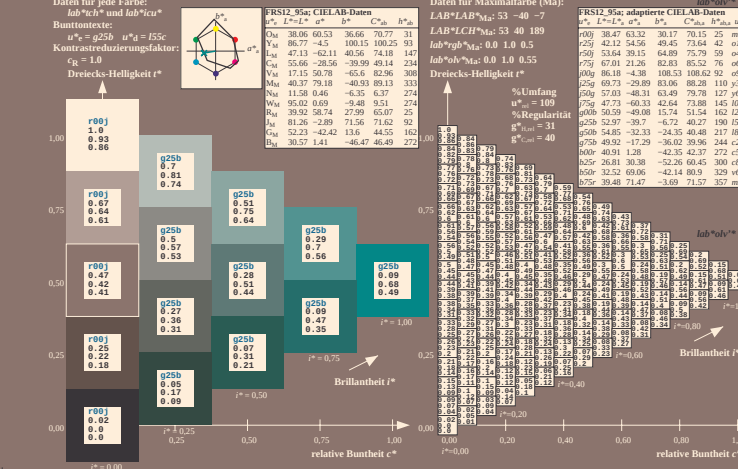

Ein und Ausgabe: Farbmetrisches Drucker-Reflektiv-System FRS12_95a für relativen CIELAB-Button $h^* = lab^*h^* = h_{ab}/360 = 0.527$

Daten für Maximalfarbe (Ma): $LAB^*LAB^*_{Ma}$: 53 −40 −7; $LAB^*LCH^*_{Ma}$: 53 40 189; $lab^*rgb^*_{Ma}$: 0.0 1.0 0.5; $lab^*olv^*_{Ma}$: 0.0 1.0 0.55

$u^*_g = g25b$ lab^*olv^*

Dreiecks-Helligkeit t^*

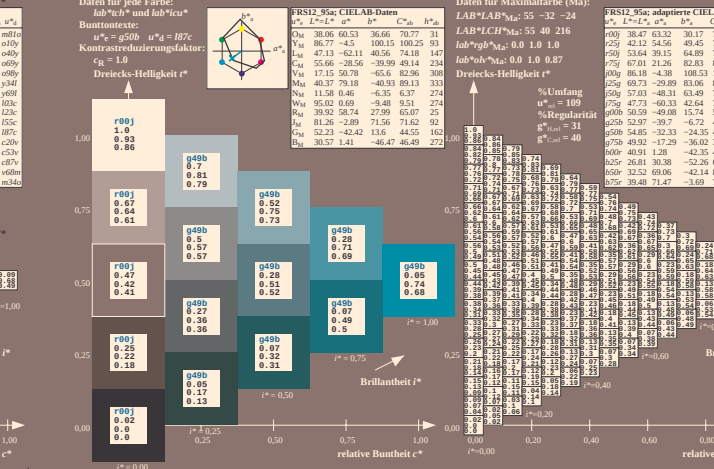

Ein und Ausgabe: Farbmetrisches Drucker-Reflektiv-System FRS12_95a für relativen CIELAB-Button $h^* = lab^*h^* = h_{ab}/360 = 0.603$

Daten für Maximalfarbe (Ma): $LAB^*LAB^*_{Ma}$: 55 −32 −24; $LAB^*LCH^*_{Ma}$: 55 40 216; $lab^*rgb^*_{Ma}$: 0.0 1.0 1.0; $lab^*olv^*_{Ma}$: 0.0 1.0 0.87

$u^*_g = g50b$ lab^*olv^*

Dreiecks-Helligkeit t^*

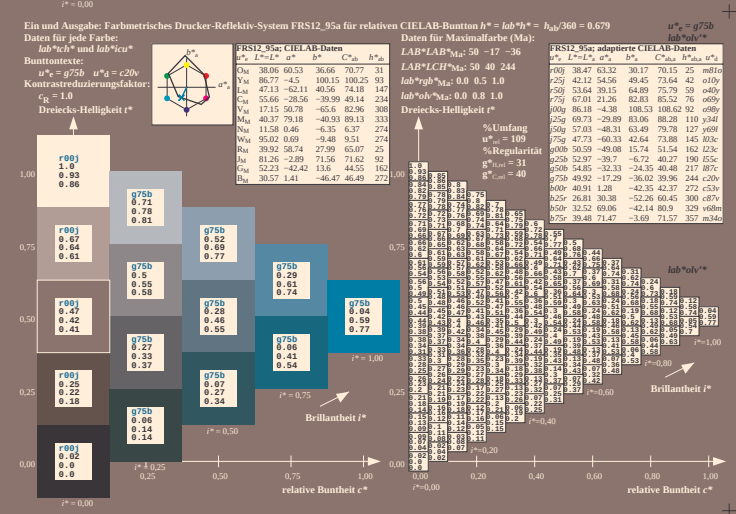

Ein und Ausgabe: Farbmetrisches Drucker-Reflektiv-System FRS12_95a für relativen CIELAB-Button $h^* = lab^*h^* = h_{ab}/360 = 0.679$

Daten für Maximalfarbe (Ma): $LAB^*LAB^*_{Ma}$: 50 −17 −36; $LAB^*LCH^*_{Ma}$: 50 40 244; $lab^*rgb^*_{Ma}$: 0.0 0.5 1.0; $lab^*olv^*_{Ma}$: 0.0 0.8 1.0

$u^*_g = g75b$ lab^*olv^*

Dreiecks-Helligkeit t^*

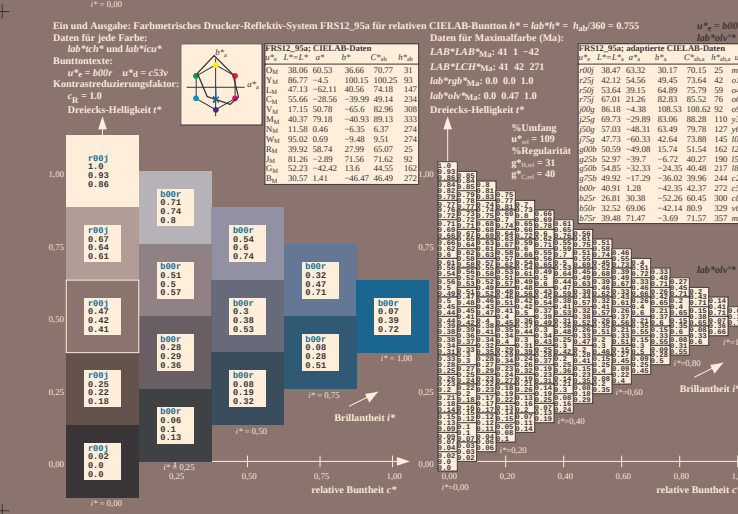

Ein und Ausgabe: Farbmetrisches Drucker-Reflektiv-System FRS12_95a für relativen CIELAB-Button $h^* = lab^*h^* = h_{ab}/360 = 0.755$

Daten für Maximalfarbe (Ma): $LAB^*LAB^*_{Ma}$: 41 1 −42; $LAB^*LCH^*_{Ma}$: 41 42 271; $lab^*rgb^*_{Ma}$: 0.0 0.0 1.0; $lab^*olv^*_{Ma}$: 0.0 0.47 1.0

$u^*_g = b00r$ lab^*olv^*

Dreiecks-Helligkeit t^*

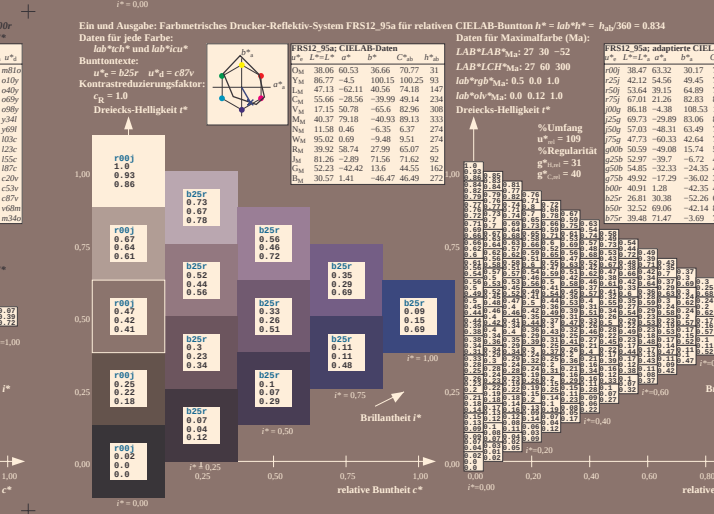

Ein und Ausgabe: Farbmetrisches Drucker-Reflektiv-System FRS12_95a für relativen CIELAB-Button $h^* = lab^*h^* = h_{ab}/360 = 0.834$

Daten für Maximalfarbe (Ma): $LAB^*LAB^*_{Ma}$: 27 30 −52; $LAB^*LCH^*_{Ma}$: 27 60 300; $lab^*rgb^*_{Ma}$: 0.5 0.0 1.0; $lab^*olv^*_{Ma}$: 0.0 0.12 1.0

$u^*_g = b25r$ lab^*olv^*

Dreiecks-Helligkeit t^*

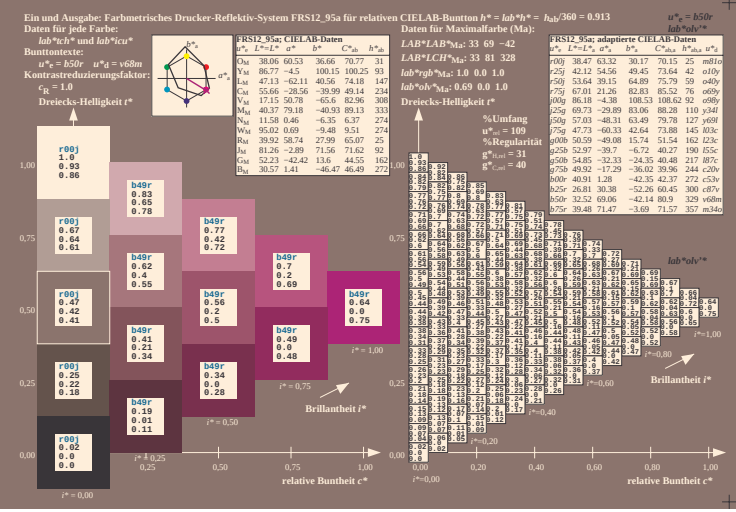

Ein und Ausgabe: Farbmetrisches Drucker-Reflektiv-System FRS12_95a für relativen CIELAB-Button $h^* = lab^*h^* = h_{ab}/360 = 0.913$

Daten für Maximalfarbe (Ma): $LAB^*LAB^*_{Ma}$: 33 69 −42; $LAB^*LCH^*_{Ma}$: 33 81 328; $lab^*rgb^*_{Ma}$: 1.0 0.0 1.0; $lab^*olv^*_{Ma}$: 0.69 0.0 1.0

$u^*_g = b50r$ lab^*olv^*

Dreiecks-Helligkeit t^*

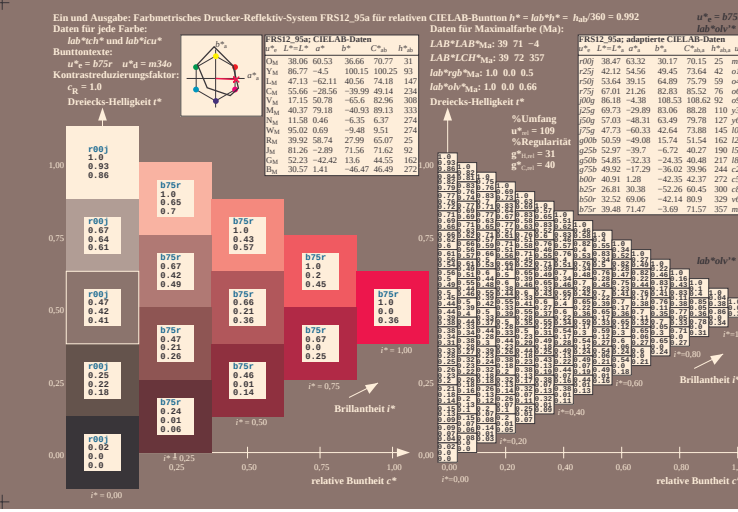

Ein und Ausgabe: Farbmetrisches Drucker-Reflektiv-System FRS12_95a für relativen CIELAB-Button $h^* = lab^*h^* = h_{ab}/360 = 0.992$

Daten für Maximalfarbe (Ma): $LAB^*LAB^*_{Ma}$: 39 71 −4; $LAB^*LCH^*_{Ma}$: 39 72 357; $lab^*rgb^*_{Ma}$: 1.0 0.0 0.5; $lab^*olv^*_{Ma}$: 1.0 0.0 0.66

$u^*_g = b75r$ lab^*olv^*

Dreiecks-Helligkeit t^*

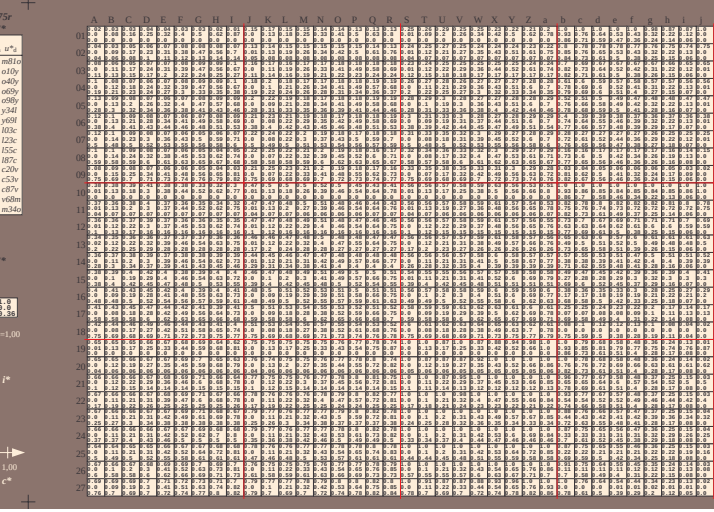

Ein und Ausgabe: Farbmetrisches Drucker-Reflektiv-System FRS12_95a für relativen CIELAB-Button $h^* = lab^*h^* = h_{ab}/360 = 0.451$

Daten für jede Farbe:
*lab*tch** und *lab*icu**
Benttontexte:
$u^*_e = g00b$ $u^*_d = I23c$
Kontrastreduzierungsfaktor:
$c_R = 1.0$
Dreiecks-Helligkeit t^*

Daten für Maximalfarbe (Ma):
$LAB^*LAB^*_{Ma}$: 51 −49 16
$LAB^*LCH^*_{Ma}$: 51 52 162
$lab^*rgb^*_{Ma}$: 0.0 1.0 0.0
$lab^*olv^*_{Ma}$: 0.0 1.0 0.23
Dreiecks-Helligkeit t^*

$u^*_e = g00b$
LAB^*cmyn^*

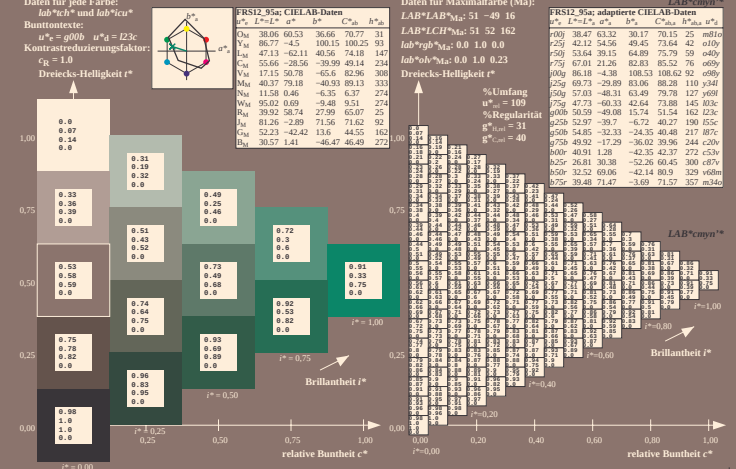

Ein und Ausgabe: Farbmetrisches Drucker-Reflektiv-System FRS12_95a für relativen CIELAB-Button $h^* = lab^*h^* = h_{ab}/360 = 0.527$

Daten für jede Farbe:
*lab*tch** und *lab*icu**
Benttontexte:
$u^*_e = I55c$ $u^*_d = g25b$
Kontrastreduzierungsfaktor:
$c_R = 1.0$
Dreiecks-Helligkeit t^*

Daten für Maximalfarbe (Ma):
$LAB^*LAB^*_{Ma}$: 53 −40 −7
$LAB^*LCH^*_{Ma}$: 53 40 189
$lab^*rgb^*_{Ma}$: 0.0 1.0 0.5
$lab^*olv^*_{Ma}$: 0.0 1.0 0.55
Dreiecks-Helligkeit t^*

$u^*_e = g25b$
LAB^*cmyn^*

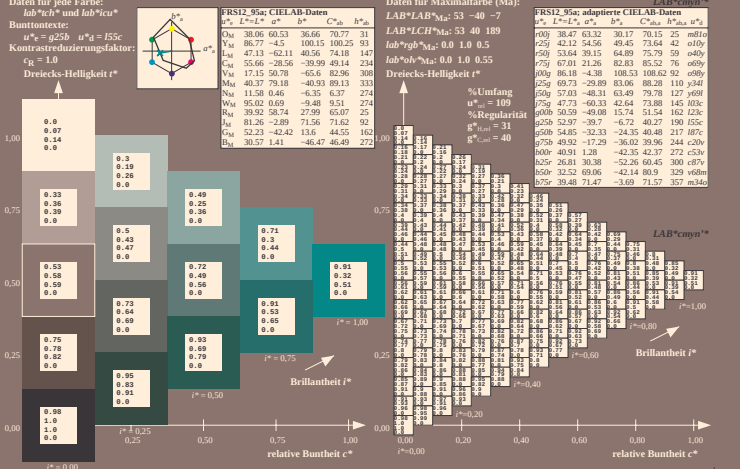

Ein und Ausgabe: Farbmetrisches Drucker-Reflektiv-System FRS12_95a für relativen CIELAB-Button $h^* = lab^*h^* = h_{ab}/360 = 0.603$

Daten für jede Farbe:
*lab*tch** und *lab*icu**
Benttontexte:
$u^*_e = g50b$ $u^*_d = I87c$
Kontrastreduzierungsfaktor:
$c_R = 1.0$
Dreiecks-Helligkeit t^*

Daten für Maximalfarbe (Ma):
$LAB^*LAB^*_{Ma}$: 55 −32 −24
$LAB^*LCH^*_{Ma}$: 55 40 216
$lab^*rgb^*_{Ma}$: 0.0 1.0 1.0
$lab^*olv^*_{Ma}$: 0.0 1.0 0.87
Dreiecks-Helligkeit t^*

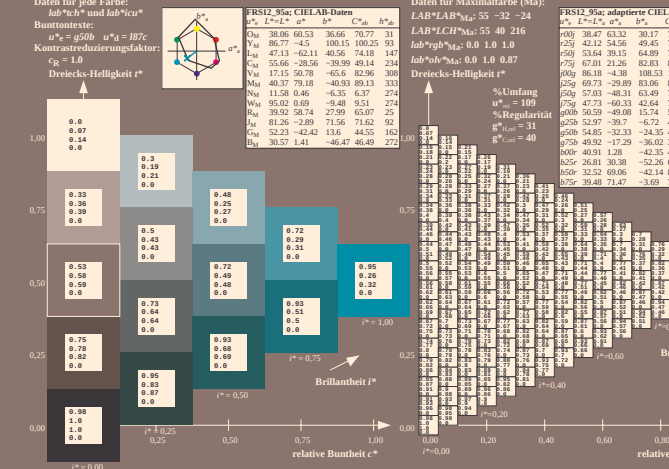

Ein und Ausgabe: Farbmetrisches Drucker-Reflektiv-System FRS12_95a für relativen CIELAB-Button $h^* = lab^*h^* = h_{ab}/360 = 0.679$

Daten für jede Farbe:
*lab*tch** und *lab*icu**
Benttontexte:
$u^*_e = g75b$ $u^*_d = c20v$
Kontrastreduzierungsfaktor:
$c_R = 1.0$
Dreiecks-Helligkeit t^*

Daten für Maximalfarbe (Ma):
$LAB^*LAB^*_{Ma}$: 50 −17 −36
$LAB^*LCH^*_{Ma}$: 50 40 244
$lab^*rgb^*_{Ma}$: 0.0 0.5 1.0
$lab^*olv^*_{Ma}$: 0.0 0.8 1.0
Dreiecks-Helligkeit t^*

$u^*_e = g75b$
LAB^*cmyn^*

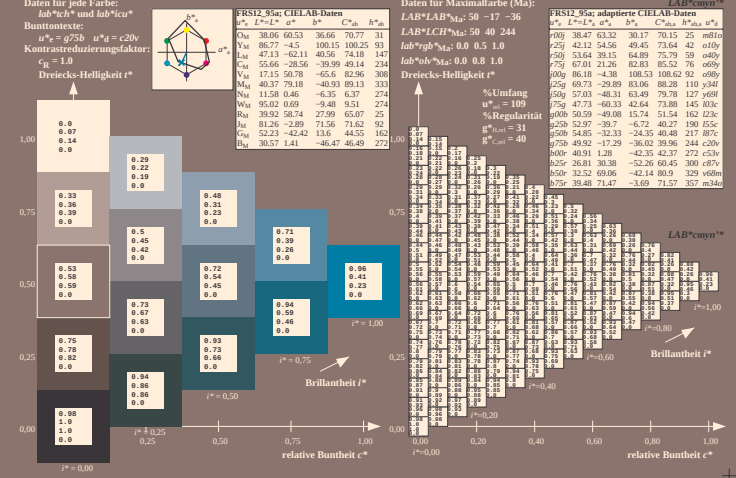

Ein und Ausgabe: Farbmetrisches Drucker-Reflektiv-System FRS12_95a für relativen CIELAB-Button $h^* = lab^*h^* = h_{ab}/360 = 0.755$

Daten für jede Farbe:
*lab*tch** und *lab*icu**
Benttontexte:
$u^*_e = b00r$ $u^*_d = c53v$
Kontrastreduzierungsfaktor:
$c_R = 1.0$
Dreiecks-Helligkeit t^*

Daten für Maximalfarbe (Ma):
$LAB^*LAB^*_{Ma}$: 41 1 −42
$LAB^*LCH^*_{Ma}$: 41 42 271
$lab^*rgb^*_{Ma}$: 0.0 0.0 1.0
$lab^*olv^*_{Ma}$: 0.0 0.47 1.0
Dreiecks-Helligkeit t^*

$u^*_e = b00r$
LAB^*cmyn^*

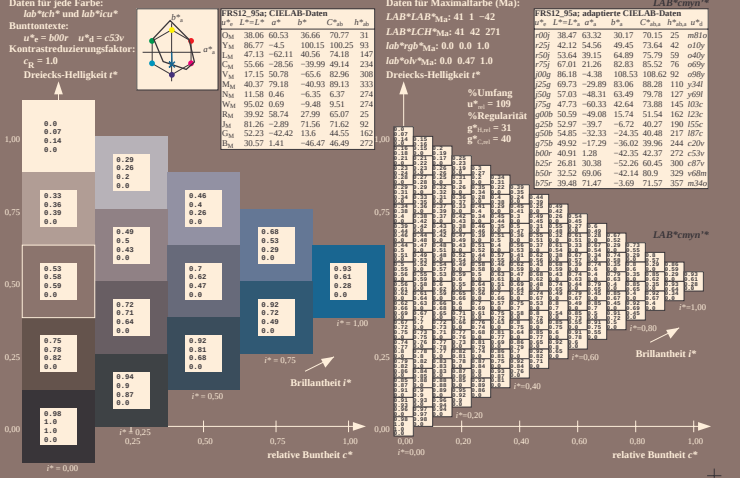

Ein und Ausgabe: Farbmetrisches Drucker-Reflektiv-System FRS12_95a für relativen CIELAB-Button $h^* = lab^*h^* = h_{ab}/360 = 0.834$

Daten für jede Farbe:
*lab*tch** und *lab*icu**
Benttontexte:
$u^*_e = b25r$ $u^*_d = c87v$
Kontrastreduzierungsfaktor:
$c_R = 1.0$
Dreiecks-Helligkeit t^*

Daten für Maximalfarbe (Ma):
$LAB^*LAB^*_{Ma}$: 27 30 −52
$LAB^*LCH^*_{Ma}$: 27 60 300
$lab^*rgb^*_{Ma}$: 0.5 0.0 1.0
$lab^*olv^*_{Ma}$: 0.0 0.12 1.0
Dreiecks-Helligkeit t^*

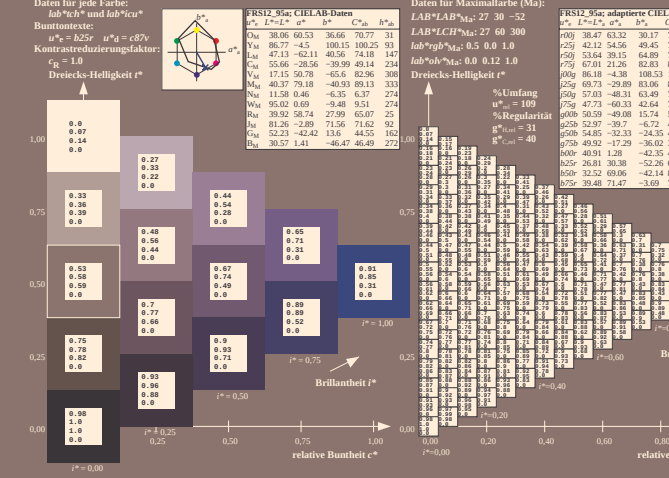

Ein und Ausgabe: Farbmetrisches Drucker-Reflektiv-System FRS12_95a für relativen CIELAB-Button $h^* = lab^*h^* = h_{ab}/360 = 0.913$

Daten für jede Farbe:
*lab*tch** und *lab*icu**
Benttontexte:
$u^*_e = b50r$ $u^*_d = v68m$
Kontrastreduzierungsfaktor:
$c_R = 1.0$
Dreiecks-Helligkeit t^*

Daten für Maximalfarbe (Ma):
$LAB^*LAB^*_{Ma}$: 33 69 −42
$LAB^*LCH^*_{Ma}$: 33 81 328
$lab^*rgb^*_{Ma}$: 1.0 0.0 1.0
$lab^*olv^*_{Ma}$: 0.69 0.0 1.0
Dreiecks-Helligkeit t^*

$u^*_e = b50r$
LAB^*cmyn^*

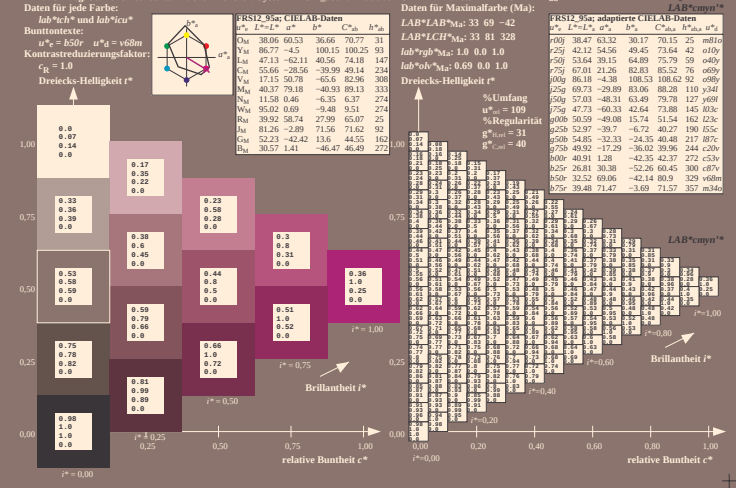

Ein und Ausgabe: Farbmetrisches Drucker-Reflektiv-System FRS12_95a für relativen CIELAB-Button $h^* = lab^*h^* = h_{ab}/360 = 0.992$

Daten für jede Farbe:
*lab*tch** und *lab*icu**
Benttontexte:
$u^*_e = b75r$ $u^*_d = m34o$
Kontrastreduzierungsfaktor:
$c_R = 1.0$
Dreiecks-Helligkeit t^*

Daten für Maximalfarbe (Ma):
$LAB^*LAB^*_{Ma}$: 39 71 −4
$LAB^*LCH^*_{Ma}$: 39 72 357
$lab^*rgb^*_{Ma}$: 1.0 0.0 0.5
$lab^*olv^*_{Ma}$: 1.0 0.0 0.66
Dreiecks-Helligkeit t^*
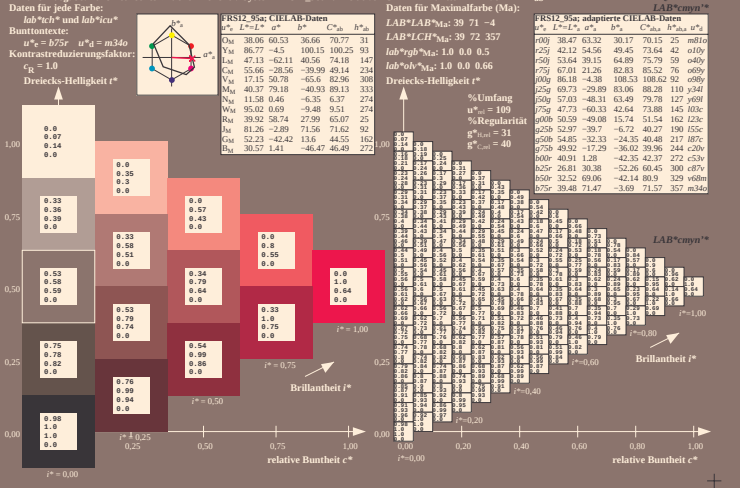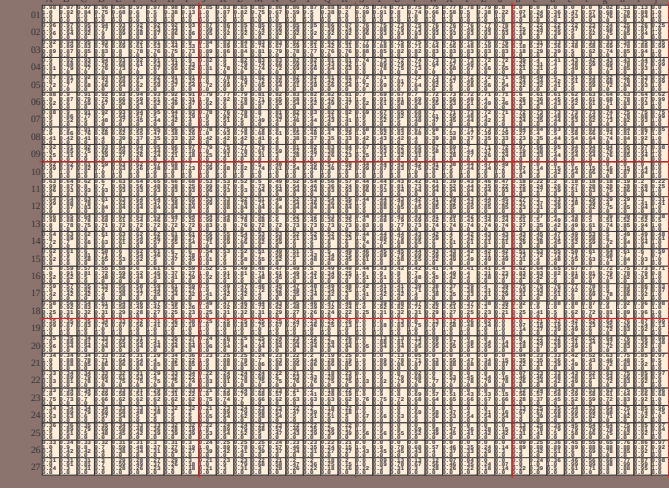
$u^*_e = b75r$
LAB^*cmyn^*